## РАЗДЕЛ 3. ОБСЛЕДОВАНИЕ ОГРАЖДАЮЩИХ КОНСТРУКЦИЙ

## 3.1. ПРАКТИЧЕСКОЕ ЗАНЯТИЕ № 1: Изучение конструктивнопланировочных решений эксплуатируемых зданий. Оценка энергоэффективности планировочных и конструктивных решений.

Методические указания к решению задач

При выполнении практической работы необходимо выполнить следующие расчеты:

- определить тип оконных и дверных проемов;
- определить тип несущей конструкции;
- определить тип кровли;
- рассчитать тепловые потери через несущую стену, окна, двери и кровлю;
- построить график и сделать вывод.

Данные для расчета потерь тепловой энергии через ограждающие конструкции можно определить по СП 131.13330.2012 и СП 50.13330.2012: наружная температура воздуха  $t_5^{0.92}$ , °C (далее  $t_{\rm H}$ ), внутреннюю температуру воздуха, тепловое сопротивление ограждающих конструкций.

Сведите данные в самостоятельно составленную таблицу и постройте графическое изображение (график, диаграмма и тд.). Сделайте вывод.

Тип оконных проемов выбирается с учетом индивидуального задания, а сопротивление теплопередаче и воздухопроницанию принять по таблице 3.1, с учетом коэффициента износа конструкции  $k_{\rm изн}$  (ориентировочно принять  $k_{\rm изн}$  = 3,1), также в СП 50.13330.2012.

Теплопотери через ограждающие конструкции определяются по формуле 3.1:

$$Q=S^{\circ} \cdot \Delta t / R_n, \qquad (3.1)$$

 $S^{o}$ -площадь окна в помещении,  $M^{2}$ ;

 $\Delta$ t- разность температуры между внутренним и наружным воздухом, °C;  $R_n$ -тепловое сопротивление материала ограждающей конструкции, °C/Bт.

### Приведенное сопротивление окон и балконных дверей

	Приведенное с	опротив-
Заполнение светового проема (в деревянных или	ление теплопер	едаче R <sub>0</sub> ,
ПВХ переплетах)	(м <sup>2</sup> · <sup>0</sup> С)/	Вт
Двойное остекление в спаренных переплетах	0,4	(Bap. 1)
Двойное остекление в раздельных переплетах	0,44	(Bap. 2)
Тройное остекление в раздельно-спаренных пере-	0,55	(Bap. 3)
плетах		
Однокамерный стеклопакет:		
из обычного стекла	0,38	(Bap. 4)
из стекла с твердым селективным покрытием	0,51	(Bap. 5)
из стекла с мягким селективным покрытием	0,56	(Bap. 6)
Двухкамерный стеклопакет:		
из обычного стекла (с межстекольным расстояни-		<i>(</i> )
ем 6 мм)	0,51	(Bap. 7)
из обычного стекла (с межстекольным расстояни-		(T) (A)
ем 12 мм)	0,54	(Bap. 8)
из стекла с твердым селективным покрытием	0,58	(Bap. 9)
из стекла с мягким селективным покрытием	0,68	(Bap. 10)
Обычное стекло и однокамерный стеклопакет в раз-		
дельных переплетах:		
из обычного стекла	0,56	(Bap. 11)
из стекла с твердым селективным покрытием	0,65	(Bap. 12)
из стекла с мягким селективным покрытием	0,72	(Bap. 13)
Обычное стекло и двухкамерный стеклопакет в раз-		
дельных переплетах:		
из обычного стекла	0,68	(Bap. 14)
Два однокамерных стеклопакета в спаренных пере-	0,7	(Bap. 15)
плетах		
Два однокамерных стеклопакета в раздельных пе-	0,74	(Bap. 16)
реплетах		

*Примечание*. К мягким селективным покрытиям относят покрытия с коэффициентом излучения менее 0,15, к твердым – более 0,25.

#### Условие задачи

Определить и сравнить потери тепловой энергии через окна и двери. Определить потери тепловой энергии через ограждающую конструкцию. Определить потери тепловой энергии через пол. Определить потери тепловой энергии через кровлю. Объекта: высота здания 5 м, ширина – 20 м, длинна – 40м, и тридцать окон размеров 1,5 х 1,4 метра. Кровля под 45°, дополнительная площадь к площади стены 20 м². Кровля скатная Температура в помещении 20 °C, внешняя температура -20 °C. Пол: бетонная стяжка 10 см, минеральная вата

плотностью 150 кг/м³, толщиной 10 см,  $R_0^{\text{бетон}}=1,75$  Вт,  $R_0^{\text{минвата}}=0,037$ Вт;  $R_0^{\text{окно}}=5,25$  Вт; кровля: кровельные сэндвич панели из минеральной ваты толщиной 15 см,  $R_0^{\text{(кровля)}}=0,037$  Вт; стены: стеновые сэндвич панели из минеральной ваты толщиной 15 см,  $R_0^{\text{(стены)}}=0,037$ Вт.

### Варианты ответов

Варианты ответов даны в следующей последовательности: тепловые потери через пол, кровлю, окна, стены, общие теплопотери.

- (!) A) 5,8;8,0;6,3;5,5; 25,6.
- Б) 5,4;8,0;6,0;5,1.
- (!) B) 5797;7980;6300;5500; 25600.
- $\Gamma$ ) 0,58;0,80;0,63;0,55;25.
- Д) 5,7;8,5;6,2;5,3;256.

Указание (подсказка)

Площадь стен (фасада) не включает окна. Величина теплопотерь округляется в большую сторону.

Полное решение задачи

## Считаем площади ограждающих конструкций:

-пол:  $20 \cdot 40 = 800 \text{ м}^2$ 

-кровля:  $20,2 \cdot 40 = 808 \text{ M}^2$ 

-окна:  $1,5 \cdot 1,4 \cdot 30$  шт =  $63 \text{ м}^2$ 

-стены:  $(20 + 40 + 20 + 40) \cdot 5 = 600 \text{ м}^2 + 20 \text{ м}^2$  (учет скатной кровли) =  $620 \text{ м}^2 - 63 \text{ м}^2$  (окна) =  $557 \text{ м}^2$ 

**-пол:** бетонная стяжка 10 см и минеральная вата плотностью 150 кг/м3.

толщиной 10 см:

R (бетон) = 
$$0.1 / 1.75 = 0.057 (\text{м}^2 \cdot \text{K})/\text{BT}$$

R (минвата) = 
$$0.1 / 0.037 = 2.7 \text{ (м}^2 \cdot \text{K})/\text{BT}$$

$$R$$
 (пола) =  $R$  (бетон) +  $R$  (минвата) = 0,057 + 2,7 = 2,76 (м<sup>2</sup>·К)/Вт

-кровля: кровельные сэндвич панели из минеральной ваты толщиной 15 см::

$$R (кровля) = 0.15 / 0.037 = 4.05 (м2·K)/Вт$$

**-окна:** R (окна) = 0,40 (м<sup>2</sup>·К)/Вт (для однокамерного стекловакета)

-стены: стеновые сэндвич панели из минеральной ваты толщиной 15 см:

R (стены) = 
$$0.15 / 0.037 = 4.05 (м^2 \cdot K)/B_T$$

### Посчитаем тепловые потери:

$$Q (\pi \circ \pi) = 800.20 \, \circ C / 2,76 \, (\text{м}^2 \cdot \text{K}) / \text{BT} = 5797 \, \text{BT} = 5,8 \, \text{кBT}$$

Q (кровля) = 
$$808.40 \, ^{\circ}\text{C} / 4,05 \, (\text{м}^2 \cdot \text{K}) / \text{BT} = 7980 \, \text{BT} = 8,0 \, \text{кBT}$$

Q (окна) = 
$$63.40 \, ^{\circ}\text{C} / 0.40 \, (\text{m}^2 \cdot \text{K}) / \text{BT} = 6300 \, \text{BT} = 6.3 \, \text{kBT}$$

Q (стены) = 
$$557.40$$
 °C /  $4.05$  (м<sup>2</sup>·К)/B<sub>T</sub> =  $5500$  B<sub>T</sub> =  $5.5$  кВ<sub>Т</sub>

Получаем (см. рис. 3.1.), что суммарные теплопотери через ограждающие конструкции составят: Q (общая) = 5.8 + 8.0 + 6.3 + 5.5 = 25.6 кВт / ч

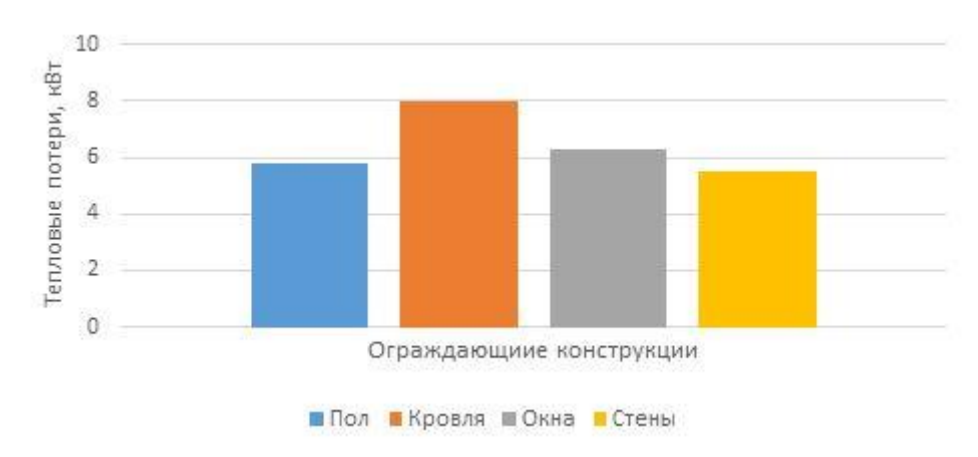


Рис. 3.1. Теплопотери через ограждающие конструкции

### Вывод

По диаграмме видно, что больше всего потерь тепла тереться через кровлю. Следует провести мероприятия по устранению тепловых потерь через кровлю.

## Задание для самостоятельного решения

Вариант для таблицы 1.2 и Приложения 1 определяются по таблице 3.2 и 3.3: I- предпоследняя цифра, II- последняя цифра номера зачетки.

Таблица 3.2

/II	1	2	3	4	5	6	7	8	9	0
I										
1	1	2	3	4	5	6	7	8	9	10
2	11	12	13	14	15	16	17	18	19	20
3	21	22	23	24	25	26	27	28	29	30
4	1	2	3	4	5	6	7	8	9	10
5	11	12	13	14	15	16	17	18	19	20
6	21	22	23	24	25	26	27	28	29	30
7	1	2	3	4	5	6	7	8	9	10
8	11	12	13	14	15	16	17	18	19	20
9	21	22	23	24	25	26	27	28	29	30
0	1	2	3	4	5	6	7	8	9	10

Таблица 3.3

## Исходные данные

		Вариант конструкции	Проемы		
Вариант	Населенный пункт	заполнение световых	ОК	ДВ	
		проемов (табл. 1.1)			
Вариант 1	Архангельск	1	1,2x2,0	0,9x2,1	
Вариант 2	Астрахань	2	1,4x1,8	0,8x2,1	
Вариант 3	Барнаул	3	1,25x1,8	1,0x2,1	
Вариант 4	Брянск	4	1,2x2,0	0,9x2,1	
Вариант 5	Белгород	5	1,4x1,8	0,8x2,1	
Вариант 6	Владимир	67	1,25x1,8	1,0x2,1	
Вариант 7	Владивосток	8	1,2x2,0	0,9x2,1	
Вариант 8	Волгоград	9	1,4x1,8	0,8x2,1	
Вариант 9	Воркута (Усть-Воркута)	10	1,25x1,8	1,0x2,1	

Вариант 10	Грозный	11	1,2x2,0	0,9x2,1
Вариант 11	Екатеринбург (Свердловск)	12	1,4x1,8	0,8x2,1
Вариант 12	Иваново	13	1,25x1,8	1,0x2,1
Вариант 13	Иркутск	14	1,2x2,0	0,9x2,1
Вариант 14	Казань	15	1,4x1,8	0,8x2,1
Вариант 15	Кемерово	16	1,25x1,8	1,0x2,1
Вариант 16	Магадан (по бухте Нагаева)	1	1,2x2,0	0,9x2,1
Вариант 17	Москва	2	1,4x1,8	0,8x2,1
Вариант 18	Мурманск	3	1,25x1,8	1,0x2,1
Вариант 19	Н. Новгород (Горький)	4	1,2x2,0	0,9x2,1
Вариант 20	Новосибирск	5	1,4x1,8	0,8x2,1
Вариант 21	Омск	67	1,25x1,8	1,0x2,1
Вариант 22	Орел	8	1,2x2,0	0,9x2,1
Вариант 23	Пермь	9	1,4x1,8	0,8x2,1
Вариант 24	Петрозаводск	10	1,25x1,8	1,0x2,1
Вариант 25	Рязань	11	1,2x2,0	0,9x2,1
Вариант 26	СПетербург(Ленинград)	12	1,4x1,8	0,8x2,1
Вариант 27	Саратов	13	1,25x1,8	1,0x2,1
Вариант 28	Смоленск	14	1,2x2,0	0,9x2,1
Вариант 29	Сочи	15	1,4x1,8	0,8x2,1
Вариант 30	Сургут	16	1,25x1,8	1,0x2,1

Смотри дополнительные данные в Приложении 1 к Разделу 3 «Обследование ограждающих конструкций».

# 3.2. ПРАКТИЧЕСКОЕ ЗАНЯТИЕ № 2: Задание на проектирование ремонта ограждающих конструкций здания. Пример составления задания на разработку проекта ремонта ограждающей конструкции по результатам диагностики технического состояния.

Методические указания к выполнению задания.

При составлении задания на разработку проекта ремонта ограждающей конструкции по результатам диагностики технического состояния необходимо учитывать ряд факторов:

- основание для проведения работы;
- цель и задачи работы;
- основное содержание работы;
- технические характеристики объектов экспертизы;
- форма и сроки выполнения работ;

Условие задания.

Вариант исходных данных определяется по таблице 3.4. Используя исходные данные, предоставленные в таблице 3.5, а также теоретический (лекционный) материал, составить техническое задание на ремонт ограждающих конструкций: Основание для проведения работы, цель и задачи работы, источники проведения работы, основное содержание работы, технические характеристики объектов экспертизы, форма и сроки выполнения работ, особые условия проведения работ, дополнительные требования.

Указания к выполнению.

При составлении технического задания необходимо руководствоваться нормативными документами, лекционными материалами, а также интернет источниками.

При выполнении практической работы необходимо выполнить следующие работы

- определить вид дефекта по исходным данным;
- определить уровень физического износа;

Задание на проектирование ремонта ограждающих конструкций здания.

Пример составления задания на разработку проекта ремонта ограждающей конструкции по результатам диагностики технического состояния.

Решение задания.

Исходные данные:

ТЕХНИЧЕСКОЕ ЗАДАНИЕ.

Обследование зданий и сооружений, разработка проекта ремонта ограждающех конструкций.

Основание для проведения работы:

Цель и задачи работы:

Оценка фактического состояния объектов обследования. Пригодность и работоспособность объектов обследования, возможность их дальнейшей эксплуатации или необходимость восстановления. При необходимости ремонта разработать проект ремонта.

Источники проведения работы:

- СП 13-102-2003. «Правила обследования несущих строительных конструкций зданий и сооружений».
- СП 112.13330.2011 «Пожарная безопасность зданий и сооружений»;
- СП 131.13330.2012 «Строительная климатология».
- СП 20.13330.2016 «Нагрузки и воздействия».
- СП 15.13330.2012 «Каменные и армокаменные конструкции».
- СП 28.13330.2012 «Защита строительных конструкций от коррозии».
- СП 17.13330.2011 «Кровли».
- СП 70.13330.2012 «Несущие и ограждающие конструкции».

Основное содержание работы:

- Ознакомление с проектной документацией, исполнительной документацией, результатами ранее проведенных обследований;
- Ознакомление с эксплуатационной и ремонтной документацией;

- Сбор исходных данных по условиям эксплуатации (температурновлажностной режим, агрессивность среды, динамические воздействия и т.д.);
- Уточнение схемы расположения элементов и узлов их крепления, обеспечивающих устойчивость здания.
- Проведение выборочно обследования строительных конструкций:
- Проверка соответствия габаритных размеров, сечений основных элементов строительных конструкций проектным параметрам;
- Выявление дефектов, повреждений и участков разрушений, уточнение их параметров и мест расположений;
- Анализ динамики развития дефектов в сравнении с результатами ранее проведенных обследований;
- Проверка на соответствие нормами правилам фактически выполненных объемно- планировочных решений;
- Разработка рекомендаций, технических решений по устранению выявленных дефектов и повышению эксплуатационной надежности конструкций;
- Составления заключения по результатам проведенной экспертизы с выводами пригодности зданий к дальнейшей эксплуатации.

Форма и сроки выполнения работ:

Выполняется в виде заключения и передается Заказчику в двух экземплярах. Сроки выполнения работ апрель - октябрь 2022г.

Особые условия проведения работ:

- Заказчик обеспечивает при необходимости средствами подмащивания и освещения для обеспечения доступа и осмотра основных конструкций и их узлов.
- Заказчик, при необходимости, под контролем экспертов проводит контрольные геодезические измерения прогибов и вертикальности строительных конструкций.

• Заказчик представляет имеющуюся проектную, исполнительную и эксплуатационную документацию.

Дополнительные требования.

При необходимости разработки проекта ремонта, разработать проект с использованием композитных материалов.

Задания для самостоятельного решения.

II \I	1	2	3	4	5	6	7	8	9	0
1	5	7	3	2	7	5	6	5	4	2
2	8	5	8	5	6	8	1	3	2	5
3	7	3	7	7	1	7	4	10	10	7
4	6	10	6	10	4	9	2	2	9	10
5	7	8	1	3	1	6	10	1	3	3
6	5	7	4	8	4	3	1	5	2	10
7	3	6	2	7	3	2	4	8	10	8
8	10	1	10	6	9	1	2	7	1	7
9	2	4	9	1	10	4	10	9	4	6
0	1	2	3	4	3	10	9	6	2	10

 Таблица 3.5

 Исходные данные для выполнения работы

Вариант	Типы здания	Проект на разработку	Дефекты	Высота здания,
1	Администрат ивное здание	Усиление	Отслоение и разрушение штукатурного слоя на участках до12 м <sup>2</sup> , Трещины в стенах шириной до 0,5	7

			мм, частичное разрушение		
			балконных плит до 15%.		
			Разрушение слоя покраски		
			фасада до15%		
			Отслоение и разрушение		
			штукатурного слоя на		
			участках до15 м <sup>2</sup> , Трещины		
2	Жилое	Ремонт	в стенах шириной до 0,4	10	
	здание	1 CMOIII	мм, частичное разрушение	10	
			балконных плит до 18%.		
			Разрушение слоя покраски		
			фасада до20%		
	Промышленн ое здание		Отслоение и разрушение		
		Ремонт	штукатурного слоя на	0	
			участках до12 м <sup>2</sup> , Трещины		
3			в стенах шириной до 0,5		
3			мм, частичное разрушение	8	
			балконных плит до 20%.		
			Разрушение слоя покраски		
			фасада до23%		
			Отслоение и разрушение		
			штукатурного слоя на		
			участках доб м <sup>2</sup> , Трещины		
	Жилое		в стенах шириной до 0,5		
4	здание	Усиление	мм, частичное разрушение	5	
			балконных плит до 5%.		
			Разрушение слоя покраски		
			фасада до1510%		
			фасада дотото		

			Отслоение и разрушение		
			штукатурного слоя на		
			участках до12 м <sup>2</sup> , Трещины		
	Администрат		в стенах шириной до 0,5		
5	ивное здание	Ремонт	мм, частичное разрушение	7	
			балконных плит до 15%.		
			Разрушение слоя покраски		
			фасада до15%		
			Отслоение и разрушение		
			штукатурного слоя на		
			участках до25 м <sup>2</sup> , Трещины		
	Промышленн		в стенах шириной до 0,5		
6	ое здание	Ремонт	мм, частичное разрушение	15	
	о о здинио		балконных плит до 19%.		
			Разрушение слоя покраски		
			фасада до26%		
			Отслоение и разрушение		
			штукатурного слоя на		
			участках до35 м <sup>2</sup> , Трещины		
	Жилое		в стенах шириной до 0,5		
7	здание	Усиление	мм, частичное разрушение	30	
	эдинно		балконных плит до 24%.		
			Разрушение слоя покраски		
			фасада до36%		
			Отслоение и разрушение		
			штукатурного слоя на		
8	Промышленн	Усиление	участках до30м <sup>2</sup> , Трещины	20	
O	ое здание	у силение	в стенах шириной до 0,5	20	
			_		
			мм, частичное разрушение		

			балконных плит до 27%.	
			Разрушение слоя покраски	
			фасада до29%	
			Отслоение и разрушение	
			штукатурного слоя на	
			участках до12 м <sup>2</sup> , Трещины	
9	Администрат	Усиление	в стенах шириной до 0,5	6
9	ивное здание	усиление	мм, частичное разрушение	0
			балконных плит до 15%.	
			Разрушение слоя покраски	
			фасада до15%	
			Отслоение и разрушение	
			штукатурного слоя на	
			участках до22 м <sup>2</sup> , Трещины	
10	Жилое	Ремонт	в стенах шириной до 0,5	10
10	здание	Ремонт	мм, частичное разрушение	10
			балконных плит до 31%.	
			Разрушение слоя покраски	
			фасада до 45%	

## 3.3. ПРАКТИЧЕСКОЕ ЗАНЯТИЕ № 3: Виды и характеристики современной теплоизоляции. Примеры конструктивных решений ограждающих конструкций с применением утеплителя.

При составлении задания на разработку проекта ремонта ограждающей конструкции по результатам диагностики технического состояния необходимо учитывать ряд факторов: системы наружного утепления стен зданий, применяемые в настоящее время, подразделяют на:

- сплошные слоистые системы утепления с оштукатуриванием фасадов или облицовкой кирпичом, другими мелкоштучными материалами;
- слоистые системы утепления с воздушным зазором и защитнодекоративным экраном, получившие название «вентилируемый фасад».

Условие задания.

Вариант исходных данных определяется по таблице 3.6. Используя исходные данные, предоставленные в таблице 3.7, а также теоретический (лекционный) материал, составить техническое задание на конструктивное решение утепления ограждающей конструкции.

К ограждающим конструкциям при реконструкции зданий и сооружений предъявляются дополнительно теплотехнические требования, обусловленные их функциональным назначением в качестве конструкций, изолирующих помещение от внешних климатических воздействий.

Теплотехнические требования, предъявляемые к ограждающим конструкциям зданий, зависят от вида ограждения (стена, покрытие, полы и др.), нормируемых параметров воздушной среды помещения, климатических условий района и функционального назначения здания.

Теплотехнические требования, предъявляемые к ограждающим конструкциям, в последнее время существенно изменились в связи с проблемой

экономии и рационального использования энергетических ресурсов, а также обеспечением долговечности ограждающих конструкций.

Технические средства повышения изоляционных свойств, долговечности и декоративности ограждающих конструкций здания. Говоря о повышении долговечности ограждающих конструкций здания, следует иметь в виду, что способы решения этой проблемы не отделимы от способов усиления несущей способности этих конструкций. То есть усиление ограждающих конструкций, как правило, одновременно приводит и к повышению долговечности.

Утепление стен может выполняться либо по наружной ее поверхности, либо – по внутренней.

По наружной поверхности стена утепляется:

- плитами пенополистирольными, пенополиуретановыми или минераловатными;
- механизированным напылением (набрызгом) различных пенопластов слоями 6-7 мм;
- комплексными плитами, состоящими из несущей плиты, утеплителя и декоративной облицовки.

По внутренней поверхности стены утепляются:

- гипсовыми плитами с пенополиуретановой теплоизоляцией (толщина «сэндвича» от 43 до 113 мм) «Тиги-Кнауф»;
- пенопластовыми, минераловатными, древесно-волокнистыми или цементнофибролитовыми плитами с последующим устройством оштукатуренной защитной кирпичной стенки или облицовкой гипсокартонными плитами, антисептированными древесностружечными или древесноволокнистыми плитами с влажностью менее 12%, штукатуркой цементно-песчаным раствором с влажностью до 4%;

• устройством многослойной армированной («теплой», т. е. имеющей объемный вес не более 1400 кг/куб. м) штукатурки.

Кроме утепления глухой поверхности стен утепление здания в целом требует утепления откосов, углов, замены окон и балконных дверей.

При значительных масштабах или сплошном утеплении предпочтительно расположение теплоизоляции по наружной поверхности стены. Такое решение (теплоизоляция снаружи) более трудоемко и менее технологично, но обеспечивает лучший теплотехнический режим ограждающей конструкции.

При утеплении внутренних поверхностей стеновых ограждающих конструкций необходимо временное отселение проживающих. Такое утепление может уменьшить площадь утепляемого помещения на 3-5%. Кроме того, большинство клеевых составов в процессе работы и некоторое время после применения выделяет во внутреннюю среду летучие сильно пахнущие вещества. Поэтому размещение теплоизоляционных материалов по внутренней поверхности ограждающей конструкции следует рекомендовать главным образом для локальных утеплений.

Утепление глухой поверхности стены плитными материалами может осуществляться либо приклеиванием плит различными мастиками, либо в сборном варианте. Сборный вариант утепления требует применения деревянного или легкого металлического каркаса, прикрепленного к стене и служащего для навески на относе облицовочных плит. Зазор между облицовкой и стеной заполняется утеплителем. Плитный утеплитель крепят к стене анкерами (рис.3.2). Теплозащиту примыкания стен к покрытиям и перекрытиям улучшают устройством утепляющих падуг — карнизов из теплоизоляционных материалов (рис.3.3). Ширину утепляющего карниза определяют по расчету, но она должна быть не менее 200 мм. Для утепляющего карниза можно применять плитные теплоизоляционные материалы, антисептированные древесностружечные или древесноволокнистые плиты толщиной 25 мм, пенопласты и др.

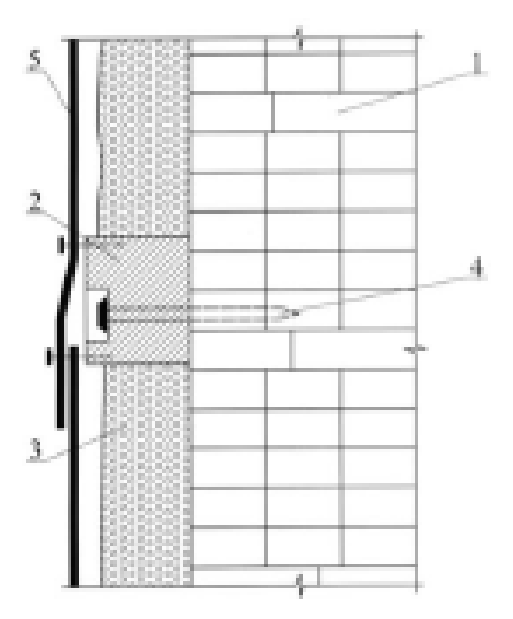


Рисунок 3.2. Утепление фасада плитным утеплителем по деревянному каркасу: 1 — утепляемая стена; 2 — брусок каркаса; 3 — утеплитель; 4 — анодированный или оцинкованный анкер; 5 — лист облицовки

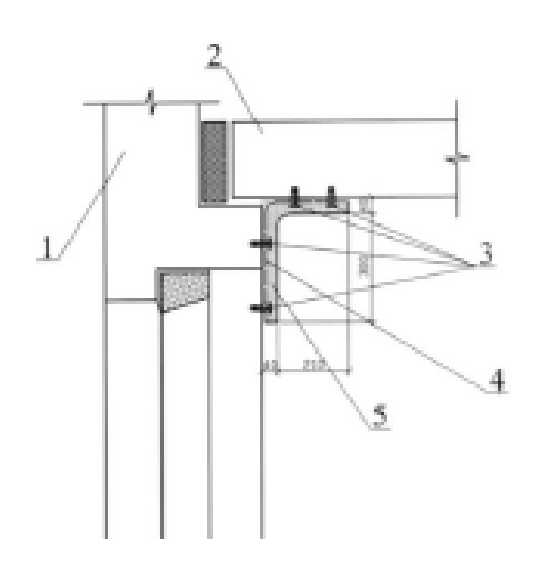


Рисунок 3.3. Утепление карнизного узла: 1 – наружная стеновая панель; 2 – плита перекрытия; 3 – дюбеля в деревянных пробках; 4 – штукатурная сетка; 5 – теплая штукатурка

После завершения работ по заделке трещин и герметизации стыков крупнопанельных зданий возможна облицовка всего фасада кирпичом, штукатуркой по сетке «на относе» (рис. 3.4), плиткой или листовыми материалами.

Кирпичная облицовка в полкирпича устанавливается на специальную балку, опертую на фундамент, и крепится гибкими связями к панелям. Для этого в горизонтальные швы облицовки (через каждые 7-8 рядов по высоте) укладывают плоский каркас из двух стержней диаметром 6 мм, который через 0,5-1 м соединяют со связями, прикрепленными к панелям.

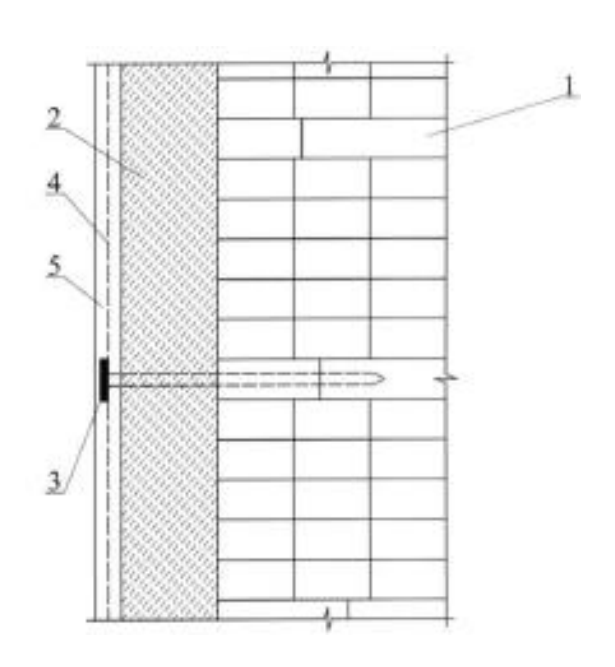


Рисунок 3.4. Вариант отделки фасада мокрой штукатуркой по пластмассовой сетке при утеплении стены снаружи: 1 – стена; 2 – утеплитель; 3 – тарельчатый дюбель; 4 - пластмассовая сетка; 5 - штукатурка

При облицовке штукатуркой «на относе» в панели заделывают анкеры, по которым на относе до 20 мм натягивают металлическую или пластмассовую сетку. По этой сетке торкретированием или вручную наносят 30-40 мм штукатурного намета без выявления панельных стыков. Облицовка листовыми материалами (стеклопластик, анодированный алюминий, плакированная и эмалированная сталь и пр.): по стеновым панелям устанавливается вспомогательный каркас (дерево или алюминиевые сплавы), а к нему крепятся листы облицовки.

В значительной части современных жилых домов не выполняются требования звукоизоляции. По данным многочисленных опросов, звукоизолирующая способность межквартирных конструкций (внутренних стен

и перекрытий) удовлетворяет лишь 70-80% проживающих. То же касается и наружных ограждающих конструкций.

При комплексном утеплении наружных ограждающих конструкций (утепление глухих участков стен, герметизация стыков, утепление откосов, углов, замена окон и балконных дверей) звукоизоляции улучшается автоматически. Если требуется снизить шумовой дискомфорт без утепления, то в последнее время используют следующие мероприятия. Устройство шумозащитных экранов, замену заполнений оконных и дверных проемов на более современные (оконные и балконные блоки с двойными и тройными стеклопакетами).

Применяемые на практике теплоизоляционные материалы отличаются большим разнообразием по физико-механическим, эксплуатационным и теплофизическим характеристикам. Поэтому технические решения, заимствованные из сертификатов, проектов, каталогов и т.п., должны корректироваться с учетом того, что в этих документах, как правило, значения коэффициентов теплопроводности наиболее распространенных видов и марок эффективных утеплителей условно приняты равными  $0,04;\,0,05$  и 0,08 Вт/(м·°C).

Промежуточные значения приведенного сопротивления теплопередаче утепляемых наружных ограждений следует определять точным расчетом или методом интерполяции.

В качестве основных видов эффективного утеплителя рекомендуется использовать полужесткие минераловатные плиты на синтетическом связующем типа Rockwooll или Paroc с коэффициентом теплопроводности 0,04 Вт/(м·°C), а также полужесткие минераловатные плиты на синтетическом связующем с расчетным коэффициентом теплопроводности, не превышающим 0,08 Вт/(м·°C).

Защитный слой из негорючих материалов толщиной на 40 - 50 % большей, чем толщина защитного слоя на фасаде (за исключением случая облицовки

фасада кирпичом), следует предусматривать в обрамлении оконных и дверных проемов наружных стен.

Такая же защита требуется в местах прохождения инженерных коммуникаций сквозь наружную стену.

В расчетах не следует определять общее приведенное сопротивление теплопередаче наружного ограждения как сумму приведенных сопротивлений теплопередаче существующей стены и дополнительно устраиваемого утепления. Это обусловлено тем, что влияние существующих теплопроводных включений после утепления существенно изменяется по сравнению с первоначально вычисленным. Помимо этого, устройство наружного утепления сопряжено с введением новых, ранее не учитываемых теплопроводных включений в виде обрамлений окон и балконных дверей, крепежных металлических деталей (дюбелей, гибких связей) и т.п.

Утепление наружных ограждений, как правило, следует располагать снаружи здания, поскольку оно: защищает стену от переменного замерзания и оттаивания и других атмосферных воздействий; выравнивает температурные колебания основного массива стены, благодаря чему исключается появление в нем трещин вследствие неравномерных температурных деформаций, что особенно важно для крупнопанельных наружных стен. Важным преимуществом наружной теплоизоляции является возрастание теплоаккумулирующей способности массивной части стены. Изолированные с наружной стороны кирпичные стены при отключении источника теплоты остывают в 6 раз медленнее стен с внутренней теплоизоляцией при одной и той же толщине слоя утеплителя.

Эту особенность наружной теплоизоляции рекомендуется использовать для экономии энергии в системах с регулируемой подачей теплоты, в том числе за счет ее периодического отключения.

Внутреннюю теплоизоляцию следует применять только при невозможности использования наружной, например при повышении тепловой

эффективности здания с исторически или художественно ценным фасадом. В этом случае обязательно следует выполнить расчет годового баланса влагонакопления в конструкции.

Для принятия конструктивных и технологических решений по дополнительному утеплению ограждений необходимо провести их теплотехнические обследования с одновременной оценкой состояния фасадных поверхностей, их прочности, ровности, наличия трещин и т.п.

Для системы утепления с оштукатуриванием фасадов рекомендуется клеевое крепление утеплителя на существующей стене или механическое - анкерами, дюбелями, каркасами (рис.3.5). При использовании клеев и различных штукатурных растворов необходимо таким образом подбирать их рецептуру, чтобы паропроницаемость наружного ограждения не снижалась после устройства дополнительного утепления.



Рисунок 3.5. Штукатурка фасада по утеплителю

В зависимости от толщины фасадных штукатурных слоев должна применяться одна из двух разновидностей системы - с жесткими или гибкими

(подвижными или шарнирными) крепежными элементами (кронштейнами, анкерами).

Первую рекомендуется использовать при малой толщине штукатурного слоя - порядка 8 - 12 мм. В этом случае температурно-влажностные деформации тонких слоев штукатурки не вызывают образования в ней трещин, а нагрузка от веса может восприниматься жесткими крепежными элементами, работающими на поперечный изгиб, и растяжение от ветрового отсоса.

При значительной толщине штукатурного слоя (20 - 30 мм) следует применять гибкие крепежные элементы, которые не препятствуют температурно-влажностным деформациям штукатурных слоев и воспринимают только растягивающие напряжения, обеспечивая передачу нагрузок от веса штукатурных слоев через плиты утеплителя на существующую стену здания.

Одним из наиболее эффективных способов решения задачи сокращения энергетических затрат на отопление зданий в соответствии с требованиями энергосбережения является многослойная конструкция утепления и отделки наружных стен с вентилируемым воздушным зазором между слоем наружной отделки фасада (экраном) и слоем утеплителя, расположенных с внешней стороны несущих конструкций наружной стены (рис.3.5)

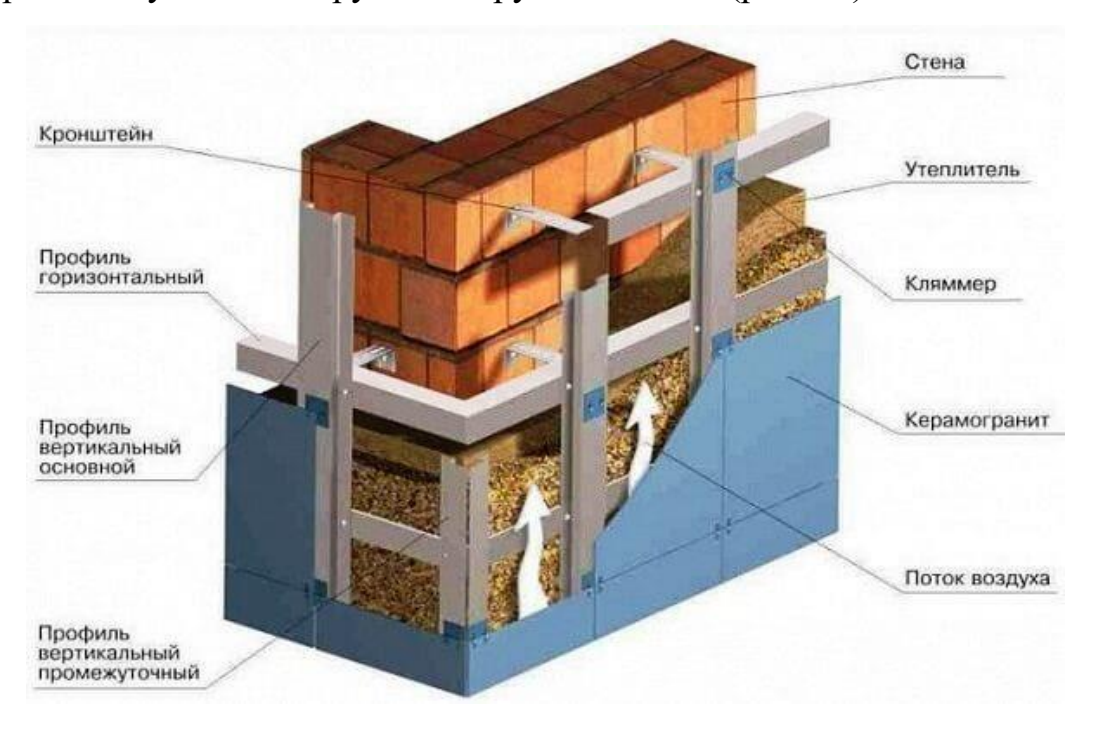


Рисунок 3.5. Конструкция вентилируемого фасада.

Такие системы утепления и отделки наружных стен и зимой и летом позволяют поддерживать режим теплообмена таким, что это создает достаточно комфортные условия проживания, а во время отопительного сезона позволяет не превышать нормативный расход энергоресурсов на отопление помещений.

Задания для самостоятельного решения.

Таблица 3.5
 Таблица соответствия выбора варианта:
 I – предпоследняя цифра, II – последняя цифра номера зачетки

I	1	2	3	4	5	6	7	8	9	0
1	5	7	3	2	7	5	6	5	4	2
2	8	5	8	5	6	8	1	3	2	5
3	7	3	7	7	1	7	4	10	10	7
4	6	10	6	10	4	9	2	2	9	10
5	7	8	1	3	1	6	10	1	3	3
6	5	7	4	8	4	3	1	5	2	10
7	3	6	2	7	3	2	4	8	10	8
8	10	1	10	6	9	1	2	7	1	7
9	2	4	9	1	10	4	10	9	4	6
0	1	2	3	4	3	10	9	6	2	10

Таблица 3.6 Исходные данные для выполнения работы

Вариант	Вид ограждающей конструкции	Типы конструктивного решения
1	Пол подвального помещения	Конструкция с плитным утеплителем
2	Перекрытие над подвалом	Конструкция утепления из минеральной ваты

3	Перекрытие чердачного помещения	Конструкция с плитным утеплителем
4	Наружная стена	Конструкция с вентилируемым фасадом
5	Межэтажное перекрытие	Конструкция плитного утепления
6	Наружная стена	Конструкция утепления из минеральной ваты
7	Перекрытие цокольного этажа	Конструкция утепления
8	Межэтажное перекрытие	Конструкция плитного утепления
9	Кровельное покрытие	Конструкция утепления
10	Наружная стена	Конструкция вентилируемого фасада

## 3.4. ПРАКТИЧЕСКОЕ ЗАНЯТИЕ №4: Методы оценки технического состояния ограждающих конструкций. Определение категории технического состояния конструкции. Составление дефектной ведомости.

Методические указания к решению задач

При выполнении практической работы необходимо выполнить следующие расчеты:

- определить вид дефекта по исходным данным;
- определить уровень физического износа;
- -составить дефектную ведомость.

Для оценки состояния фасадов, окон, дверей, световых фонарей, полов, крыш и кровель используют ВСН 53-86 (р «Правила оценки физического износа жилых зданий». Ниже приведены таблицы оценки.

Определите объем работ в соответствии с ВСН 53-86(р) «Правила оценки физического износа жилых зданий».

Таблица расчета физического износа конструкций зданий и таблица рекомендаций по ремонту оформляются в виде табл..3.7 и 3.8.

 Таблица 3.7

 Расчет физического износа несущих стен деревянных каркасных

	Удельный вес		Для
$N_{\underline{0}}$	участка к общему	Физический износ участков	физического
участка	объему элемента,	элементов ,%	износа
	%		участка, %

Таблица 3.8

## Рекомендации по ремонту

Наименование	Физический	Примериний состав работ
участка	износ	Примерный состав работ

Условие задачи

Определите (выберите одну конструкцию или элемент) по фотографиям (см. рис.3.6- 3.8) следующее:

- вид дефекта;
- уровень физического износа;
- -составить дефектную ведомость.



Рис. 3.6. Передний фасад в осях 6-12.



Рис. 3.7. Плита перекрытия.



Рис. 3.8. Пол в местах общего пользования.

В ходе обследования были составлены следующие таблицы 3.9 и 3.10.

Таблица 3.9

Расчет физического износа несущих стен деревянных каркасных

№ участка	Удельный вес участка к общему объему элемента, %	Физический износ участков элементов,%	Для физического износа участка, %
1	30	35 (наличие частичных признаков приведенных в табл.7 интервала 21 – 30%)	10,5
2	40	45 (наличие частичных признаков приведенных в табл.7 интервала 31 – 40%)	14
3	30	35 (наличие частичных признаков приведенных в табл.7 интервала 21 – 30%)	10,5
			∑=35

Вывод: физического износа несущих стен деревянных каркасных составляет 35%.

Таблица 3.10 Рекомендации по ремонту

Наименование	Физический	Приморун уй осолор робол	
участка	износ	Примерный состав работ	
		Ремонт штукатурки или переборка обшивки с	
Участок №1	35	добавлением нового материала, смена	
		отдельных досок, обшивка углов	
Участок №2	45	То же, Замена обшивки стен и штукатурки	
		Ремонт штукатурки или переборка обшивки с	
Участок №3	35	добавлением нового материала, смена	
		отдельных досок, обшивка углов	

При обследовании полов из керамической плитки выявлено отсутствие отдельных плиток и местами их отставание на площади 43% от всей осмотренной площади пола. По прил. Б. определяем, что значение физического износа пола находится в интервале 21- 40%, с распространением повреждений на площади от 20 до 50 %.

Для оценки физического износа осмотренного участка производим интерполяцию значений по прил. Б. таб.2. Размер интервала значений физического износа 21-40% составляет 20%. Размер интервала 20- 50% площади повреждения, характерной для данного интервала значений физического износа

составляет 30%. Изменение физического износа с увеличением площади повреждения на 1% составит 20/30%.

Физический износ участка, имеющего повреждения на площади 43% определяем путем интерполяции: 21+20/30x23=35,8%.

Согласно ГОСТ 31937-2011, наружные и внутренние стены находятся в работоспособном состоянии. Физический износ стен согласно табл. № 10 ВСН 53-86 (р), составляет 5 %.

С учетом того, что значительных дефектов и повреждений, влияющих на несущую способность плит перекрытия не обнаружено, согласно ГОСТ 31937-2011 состояние перекрытий в целом оценивается как <u>работоспособное</u>. Физический износ перекрытия согласно табл. №30 ВСН 53-86 (р), составляет 20% - <u>работоспособное</u>.

Согласно ВСН 53-86 (р) табл. № 49 усредненный физический износ пола в обследованных частях здания составляет 20% - удовлетворительное.

По результатам обследования технического состояния здания выявленные повреждения сведены в дефектную ведомость, которая представлена в виде табл. 3.11.

Таблица 3.11 **Ведомость дефектов** 

No	Описание дефекта и	Возможные причины	Рекомендации по
п/п	повреждения	возникновения дефектов и	устранению выявленных
11/11	повреждения	повреждения	дефектов и повреждений
		Наружные стены	
		Дефект эксплуатации:	
1	Отдельные трещины	разрушение вследствие	Заделка трещин и
1	и выбоины до 1 мм	циклов	выбоин
		замораживания/оттаивания	
	По	лы (обследуемая конструкци	(кі
	Отсутствие	Дефект эксплуатации:	Частичная замена
2	отдельных плиток,	•	покрытия с добавлением
	местами вздутия и	монтажа плитки	плиток местами
	отставание на	WOIITAMA IIJIITKII	HIMTOR MCCTAMPI

площади от 20 до 50	
%	

 $\Gamma$ )

В ходе обследования были составлены следующие таблицы 3.12 и 3.13.

 Таблица 3.12

 Расчет физического износа несущих стен деревянных каркасных

№ участка	Удельный вес участка к общему объему элемента, %	Физический износ участков элементов,%	Для физического износа участка, %
1	100	35 (наличие частичных признаков приведенных в табл.7 интервала 21 – 30%)	60
2	100	45 (наличие частичных признаков приведенных в табл.7 интервала 31 – 40%)	60
3	100	35 (наличие частичных признаков приведенных в табл.7 интервала 21 – 30%)	60
			∑=180

Вывод: физического износа несущих стен деревянных каркасных составляет 180%.

Таблица3.13

Рекомендации по ремонту

Наименование	Физический	Примерный состав работ	
участка	износ	примерный состав расот	
		Ремонт штукатурки или переборка обшивки с	
Участок №1	60	добавлением нового материала, смена	
		отдельных досок, обшивка углов	
Участок №2	60	То же, Замена обшивки стен и штукатурки	
		Ремонт штукатурки или переборка обшивки с	
Участок №3	60	добавлением нового материала, смена	
		отдельных досок, обшивка углов	

Физический износ перекрытия согласно табл. №30 ВСН 53-86 (р), составляет 50% - работоспособное.

Полное решение задачи

### Задание 1.

№ участка	Удельный вес участка к общему объему элемента, %	Физический износ участков элементов,%	Для физического износа участка, %
1	30	35 (наличие частичных признаков приведенных в табл.7[2] интервала 21 – 30%)	10,5
2	40	45 (наличие частичных признаков приведенных в табл.7[2] интервала 31 – 40%)	14
3	30	35 (наличие частичных признаков приведенных в табл.7[2] интервала 21 – 30%)	10,5
			∑=35

Вывод: физического износа несущих стен деревянных каркасных составляет 35%. Рекомендации по ремонту несущих стен обследуемого здания представлена в Таблице 3.15.

Таблица 3.15

## Рекомендации по ремонту

Наименование	Физический	Пауменунуй од стар асбал	
участка	износ	Примерный состав работ	
		Ремонт штукатурки или переборка обшивки с	
Участок №1	35	добавлением нового материала, смена	
		отдельных досок, обшивка углов	
Участок №2	45	То же, Замена обшивки стен и штукатурки	
		Ремонт штукатурки или переборка обшивки с	
Участок №3	35	добавлением нового материала, смена	
		отдельных досок, обшивка углов	

### Задание 2.

При обследовании полов из керамической плитки выявлено отсутствие отдельных плиток и местами их отставание на площади 43% от всей осмотренной площади пола. По прил. Б. определяем, что значение физического износа пола находится в интервале 21- 40%, с распространением повреждений на площади от 20 до 50 %.

Для оценки физического износа осмотренного участка производим интерполяцию значений по прил.Б.таб.2. Размер интервала значений физического износа 21-40% составляет 20%. Размер интервала 20- 50% площади повреждения, характерной для данного интервала значений физического износа составляет 30%. Изменение физического износа с увеличением площади повреждения на 1% составит 20/30%.

Физический износ участка, имеющего повреждения на площади 43% определяем путем интерполяции:

21+20/30x23 = 35.8%.

Округляя значение, получим физический износ участка пола 36%.

#### Задание 3.

Согласно ГОСТ 31937-2011, наружные и внутренние стены находятся в работоспособном состоянии. Физический износ стен согласно табл. № 10 ВСН 53-86 (р), составляет 5 %.

Пример дополнительной конструкции С учетом того, что значительных дефектов и повреждений, влияющих на несущую способность плит перекрытия не обнаружено, согласно ГОСТ 31937-2011 состояние перекрытий в целом оценивается как работоспособное. Физический износ перекрытия согласно табл. №30 ВСН 53-86 (р), составляет 15% - работоспособное.

Согласно ВСН 53-86 (р) табл. № 49 усредненный физический износ пола в обследованных частях здания составляет 20% - удовлетворительное.

По результатам обследования технического состояния здания выявленные повреждения сведены в дефектную ведомость, которая представлена в виде табл. 3.16.

Таблица 3.16

## Ведомость дефектов

No	Описание дефекта и повреждения	Возможные причины	Рекомендации по			
,		возникновения дефектов и	устранению выявленных			
$\Pi/\Pi$		повреждения	дефектов и повреждений			
	Наружные стены					

		Дефект эксплуатации:	
1	Отдельные трещины	разрушение вследствие	Заделка трещин и
1	и выбоины до 1 мм	циклов	выбоин
		замораживания/оттаивания	
	Перек	рытия (обследуемая констру	укция)
	Незначительное смещение плит	Дефект эксплуатации:	Выравнивание
2	относительно одна другой по высоте	Превышение нагрузки на перекрытия жильцами	поверхности потолка
	вследствие		
	llo	лы (обследуемая конструкц	ия)
3	Отсутствие отдельных плиток, местами вздутия и отставание на площади от 20 до 50 %	Дефект эксплуатации: Несоблюдение требований монтажа плитки	Частичная замена покрытия с добавлением плиток местами

Задание для самостоятельного решения

Вариант для таблицы 3.11 и Приложения 1 определяются по таблице 3.16: I – предпоследняя цифра, II – последняя цифра номера зачетки.

Таблица 3.16

II	1	2	3	4	5	6	7	8	9	0
1	1	2	3	4	5	6	7	8	9	10
2	11	12	13	14	15	16	17	18	19	20
3	21	22	23	24	25	26	27	28	29	30
4	1	2	3	4	5	6	7	8	9	10
5	11	12	13	14	15	16	17	18	19	20
6	21	22	23	24	25	26	27	28	29	30
7	1	2	3	4	5	6	7	8	9	10
8	11	12	13	14	15	16	17	18	19	20
9	21	22	23	24	25	26	27	28	29	30
0	1	2	3	4	5	6	7	8	9	10

При выполнении данной работы воспользуйтесь фото съемкой жилого дома в своем городе или панорамой онлайн карт. Вам требуется найти жилой дом с явными дефектами конструкций, которые даны вам по вариантам. Составьте дефектную ведомость на основе собранных вам данных.

 Таблица 3.17

 Варианты задания

Вариант	Вариант Конструкция с дефектом		Конструкция с дефектом	
Вариант 1	Фасад, отмостка, приямок в подвал, крыльцо,	Вариант 16	Фасад, отмостка, приямок в подвал, крыльцо,	
Вариант 2	Фасад, продухи в подвал, перекрытие, козырек	Вариант 17	Фасад, продухи в подвал, перекрытие, козырек	
Вариант 3	Фасад, кровля, МОП	Вариант 18	Фасад, кровля, МОП	
Вариант 4	Фасад, окна, двери, МОП	Вариант 19	Фасад, окна, двери, МОП	
Вариант 5	Фасад, пол в МОП, лестничную клетку, окна	Вариант 20	Фасад, пол в МОП, лестничную клетку, окна	
Вариант 6	Фасад, цоколь, водосток, балконы	Вариант 21	Фасад, цоколь, водосток, балконы	
Вариант 7	Фасад, кровля, МОП, водосток, балконы	Вариант 22	Фасад, кровля, МОП, водосток, балконы	
Вариант 8	Фасад, отмостка, приямок в подвал, крыльцо,	Вариант 23	Фасад, отмостка, приямок в подвал, крыльцо,	
Вариант 9	Фасад, продухи в подвал, перекрытие, козырек	Вариант 24	Фасад, продухи в подвал, перекрытие, козырек	
Вариант 10	Фасад, кровля, МОП	Вариант 25	Фасад, кровля, МОП	
Вариант 11	Фасад, окна, двери, МОП	Вариант 26	Фасад, окна, двери, МОП	
Вариант 12	Фасад, пол в МОП, лестничную клетку, окна	Вариант 27	Фасад, пол в МОП, лестничную клетку, окна	
Вариант 13	Вариант 13 Фасад, цоколь, водосток, балконы		Фасад, цоколь, водосток, балконы	
Вариант 14	Фасад, кровля, МОП, водосток, балконы	Вариант 29	Фасад, кровля, МОП, водосток, балконы	

Вариант 15	Фасад, отмостка, приямок в подвал, крыльцо, окна	Вариант 30	Фасад, отмостка, приямок в подвал, крыльцо, двери
------------	--	------------	---

3.5. ПРАКТИЧЕСКОЕ ЗАНЯТИЕ № 5: Методы оценки теплотехнических характеристик ограждающих конструкций. Измерение температуры поверхности ограждающих конструкций бесконтактным способом.
Ознакомление с методиками измерения теплотехнических характеристик ограждающих конструкций.

Методические указания к решению задач

При выполнении практической работы необходимо выполнить следующее:

### Задача 1

Выполнение работ проводится в несколько этапов:

- •Анализ представленной проектной и исполнительной документации;
- •Общий осмотр объекта, определение конструктивной схемы зданий;
- •Определение микроклимата внутри помещений;
- •Подготовка к проведению тепловизионного обследования;
- •Проведение тепловизионного обследования;
- •Формирование базы данных термограмм и фотографических снимков;
- •Обработка и расшифровки полученного массива данных в результате обследования;
  - •Проведение теплотехнического расчета;
- •Разработка и составление отчета установленного образца по результатам инженерно-технического обследования.

### Задача 2

- 1. С помощью линейки измерить длину и ширину помещения, окна, двери;
- 2. Построить план и разрез помещения. На разрезе точки размеров трех уровней;
  - 3. Привести в рабочее состояние прибор.
- 4. Произвести последовательно дважды измерения температуры и влажности в каждой точке, занести их в таблицу.
  - 5. Определить среднее значение  $t_{int}$  и  $J_{int}$  по всему объему помещения.

- 6. По среднему значению точки росы определить температуру.
- 7. Составить заключение по пригодности помещения для проведения занятий.

Работа производится с использованием специальных приборов - тепловизоров, которые улавливают утечку тепла и составляют визуальную «карту теплопотерь». Своевременное обследование позволяет осуществлять контроль качества работ на каждом этапе строительства. По его результатам можно определить наличие трещин в конструкциях, пустоты в стыках панелей, недостаточную толщину (а иногда и отсутствие) утеплительных материалов. Такой контроль позволяет выявить некачественную установку дверных и оконных блоков. Полученные данные показывают уровень существующих теплопотерь, который затем можно сравнить с нормативами.

Гигрометр — это прибор, который измеряет влажность воздуха в помещении (см. рис. 4.1). Если процент содержания влаги в воздухе слишком низкий, в организм могут попасть различные вирусы, которые могут значительно ослабить иммунитет. Благодаря гигрометру можно избежать дискомфорта и защитить слизистые и кожу от пересыхания. Принцип работы этого прибора основан на физических характеристиках материалов, из которых он состоит. Материалы в зависимости от уровня влаги в воздухе меняют свойства: вес, плотность, длину и другие. Гигрометр бывает нескольких видов: волосяной, пленочный, весовой, конденсационный, психрометрический, электронный.

Условие задачи

**Задача 1.** Проведите тепловизорное обследование жилого дома согласно исходным данным. Составте протокол измерений и заключение. (в свободной форме).

Задача 2. Определите температуру и влажность воздуха помещения используя ГОСТ 30.494-96 «Здания жилые и общественные. Параметры микроклимата в помещениях».

Варианты ответов и указания в данной работе не учтены, студент выполняет работу после ознакомления раздела «Полное решение задачи».

Полное решение задачи

#### Пример по задаче 1.

- 1) Провели общий осмотр объекта, расположенного по адресу: г. Орехово-Зуево, ул. Ленина, д. 78. Здание прямоугольное 25,4 м на 14 м. Высота здания 8.5 м. Здание деревянное.
  - 2) Определение микроклимата внутри помещений:

**Параметр А:** температура наружного воздуха  $+2,0\,^{\circ}$ С, влажность воздуха  $80\,\%$ , скорость ветра  $3,0\,\text{м/c}$ ,

**Параметр Б:** температура наружного воздуха  $0.0\,^{\circ}$ С, влажность воздуха  $80\,^{\circ}$ С, скорость ветра  $3.0\,\text{m/c}$ , абсолютная минимальная температура воздуха  $-0.5\,^{\circ}$ С.

Средняя температура наружного воздуха отопительного периода -3,4°C, продолжительность отопительного периода 214 сут.

Условия проведения тепловизионного обследования: дата проведения 08.03.2020г, средняя температура внутри здания +17°C.

- 3) Проведение тепловизионного обследования;
- 4) Формирование базы данных термограмм и фотографических снимков:
- 4.1 Сбор данных погодных условий за март 2020г. (на рис.4.1)



Рис. 3.18. Погода в Орехове-Зуеве в апрель 2016г.

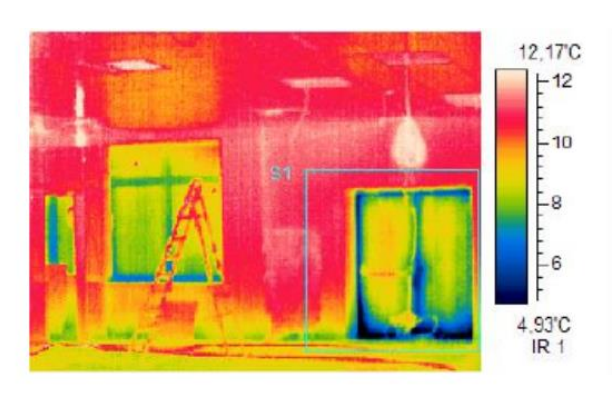
Таким образом, погодные условия частично благоприятствуют проведению тепловизионного обследования в соответствии с МДС 23-1.2007 «Методические рекомендации по комплексному теплотехническому обследованию наружных ограждающих конструкций с применением тепловизионной техники».

5) Результаты обследования:

Визуализация полей тепловых И измерение температуры при тепловизионном обследовании наружных ограждающих конструкций выполнялось с применением тепловизора SATIR S-280, зав. № 37131-08. Перед началом тепловизионной съемки были произведены замеры температуры поверхности на контролируемом объекте контактным методом, на расстоянии около 10 см от поверхности наружных стен. Обследование наружных ограждающих конструкций проводилось в ночное время. Снег, наледь, грязь и другие налеты, в момент проведения тепловизионной съемки, на обследуемых поверхностях отсутствовали. В процессе измерений, обследуемые поверхности не были подвержены воздействиям прямого и отраженного солнечного Термографирование облучения. проводилось последовательно ПО предварительно намеченным участкам с покадровой записью термограмм и одновременной фотосъемкой этих участков.

## 6) Протокол измерений:

Тепловизионного обследования жилого здания, расположенного по адресу: г. Орехово-Зуево, ул. Ленина, д. 78. Поверхность объекта: многослойный сэндвич-панель (трехслойный, из жесткого металла изнутри и снаружи, внутри устройство минерально-ватной теплоизоляции). Состояние атмосферы: переменная облачность, без осадков. Результаты измерений представлены на рисунках 3.18 и на термографических изображениях 3.19, 3.20.





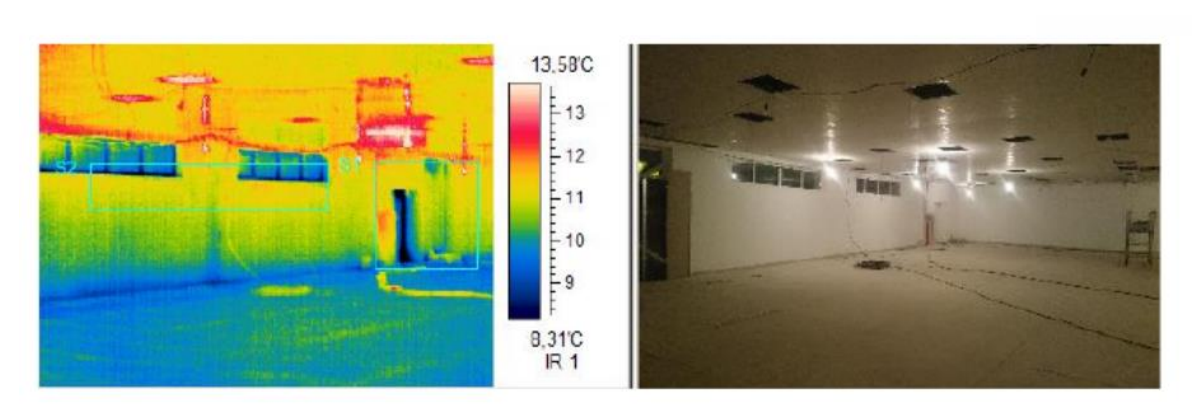
F	Дата:	16.04.16.	Коэффициент излучения:	0,9
Графические данные:	Время:	22:30	Отраж.темп.[°С]:	11,3

#### Выделение изображений:

Измеряемые объекты	Темп.[°С]	Излуч.	Отраж.темп.[°С]	Примечания
Область измерений, S1, S2	3,50	0,9	11,3	Температура поверхности

Рис. 3.19. Фото 1

На термограмме выявлены локальные зоны инфильтраций наружного воздуха через устройство дверного блока, преимущественно по нижней уплотнительной системе по причине возможного перекоса, некачественной регулировке или деформации уплотнителя.



F	Дата:	16.04.16.	Коэффициент излучения:	0,9
Графические данные:	Время:	22:30	Отраж.темп.[°С]:	11,9

#### Выделение изображений:

Измеряемые объекты	Темп.[°С]	Излуч.	Отраж.темп.[°С]	Примечания
Область измерений, S1	5,22	0,9	11,9	Температура поверхности
Область измерений, S2	7,97	0,9	11,9	Температура поверхности

Рис. 3.20. Фото 2

На термограмме выявлены локальные зоны инфильтраций наружного воздуха через устройство дверного блока, преимущественно по уплотнительной системе, а также определен факт нарушения теплового поля по полу по причине промерзания основания конструктива в частности по нижнему угловому сопряжению ограждающих конструкций.

Также были подсчитаны потери через ограждающие конструкции, окна и двери.

#### 7) Заключение

Целью выполненной тепловизионной съемки объекта обследования являлось наглядное выявление возможных скрытых конструктивных, технологических, теплоизоляционных и строительно-монтажных дефектов в процессе эксплуатации. Последующая фиксация выявленных температурных и тепловых аномалий, при определенных условиях, для последующего анализа полученной базы данных термограмм. Разработку и составление технического отчета установленного образца и передачи технического отчета Заказчику.

По термограммам, полученным в результате проведения термографической съемки, можно сделать следующие выводы:

1 Температурное поле на поверхности диагностируемых поверхностей (ограждающих конструкций) внутри обследуемых помещений достаточно равномерное. Средний температурный показатель по глади несущих ограждающих конструкций, составил порядка 11,5 С°, с учетом температуры внутри помещений 17,0 С°, с учетом специфики обогрева объекта обследования на момент проведения контроля. Согласно данных значений, температурные показатели имеют допустимые значения по (СНиП 23-02-2003 п.5.8) с учетом натурных погодных условий на момент проведения обследования.

Однако были определены и зарегистрированы конструктивные тепловые аномалии в виде локальных участков промерзаний основания конструктива, в частности по угловым сопряжениям строительных ограждений в местах примыканий несущих ограждений к полу. Так же были определены локальные

инфильтрации наружного воздуха через устройства дверных и оконных блоков, преимущественно по уплотнительной системе, перекосу полотен и некачественной регулировки фурнитуры. Так же были определены точечные мостики холода в местах примыканий навесных металлических ферм к скатам кровли.

#### 8) Рекомендации по устранению:

По возможности, провести операции по обустройству теплоизоляцией цокольной части объекта обследования, с заходом теплоизоляции в грунт для устранения возможного мостика холода и локализации наиболее уязвимого места (углового сопряжению строительных ограждений), которые сейчас промерзают, по периметру на 50-70см для создания утепленной отмостки, с последующей финишной гидроизоляцией.

Рекомендуем применение закрыто-ячеистого двухкомпонентного пенополиуретана плотностью 35-40 кг/м3 толщиной не менее 25мм и не более 50мм, с последующим грунтованием праймером и нанесением поверх гидроизолирующей полимочевинной мембраны, толщиной не менее 2мм. Нанесение материалов рекомендуется проводить установками высокого давления.

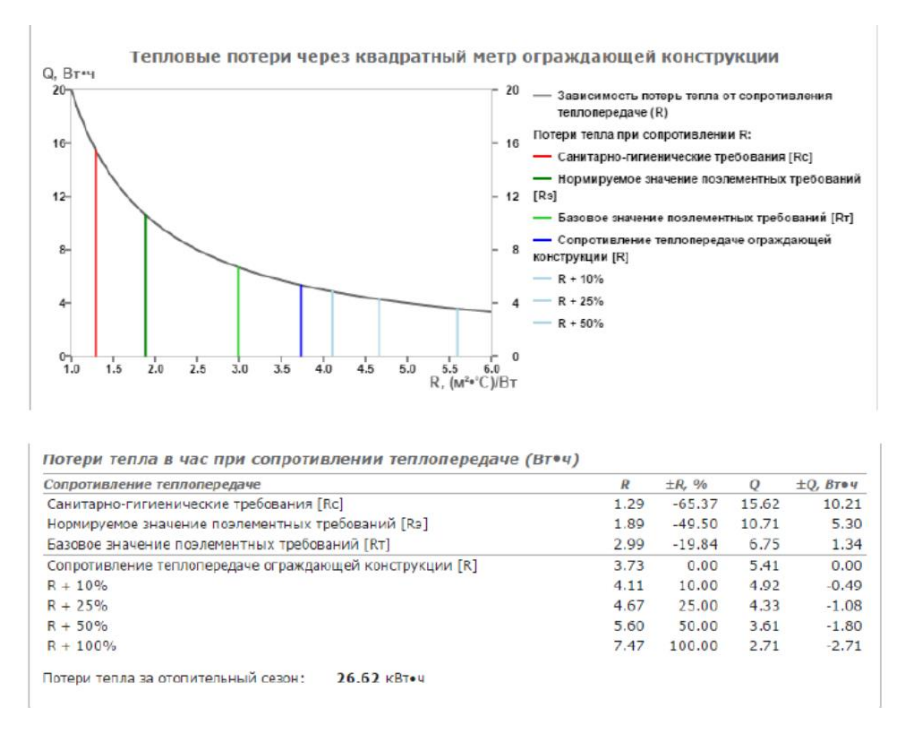


Рис. 3.21. Результаты обследования (вариант оформления).

# Пример по задаче 2.

- 1. Длина помещения 3,4 м и ширина помещения 4,5 м, два окна размерами 1,6мх2,0м, одна дверь 1,0мх2,1м.
- 2. Построить план и разрез помещения. На разрезе точки размеров трех уровней.
- 3. Результаты измерений: Точка 1: t=18  $^{0}$ C, точка 2: t=18  $^{0}$ C, точка 3: t=19  $^{0}$ C, Точка 1:  $\varphi$ = 55 %, точка 1:  $\varphi$ = 54,8 %, точка 1:  $\varphi$ = 54.9 %.
- 4. Среднее значение  $t_{int}$  и влажность  $\varphi$  по всему объему помещения равно:  $t_{int} = 18.33^{0}$ С и  $\varphi = 54.9$  %.
- 5. По среднему значению точки росы определить температуру по таблице 4.1: t=+8,3  $^{0}C.$ 
  - 6. Заключение по пригодности помещения:

Составлена схема помещения (см. рис. 3.22).

#### План помещения

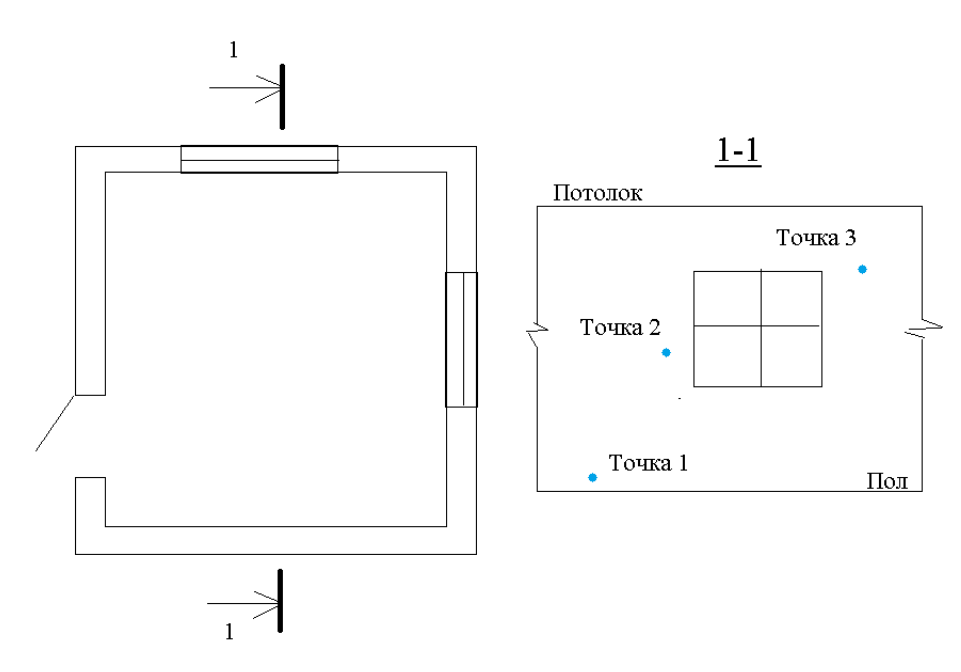


Рис. 3.22. Графическая часть (пример оформления).

Температура воздуха благоприятна для помещения. Конденсат не образуется на поверхности ограждающей конструкции.

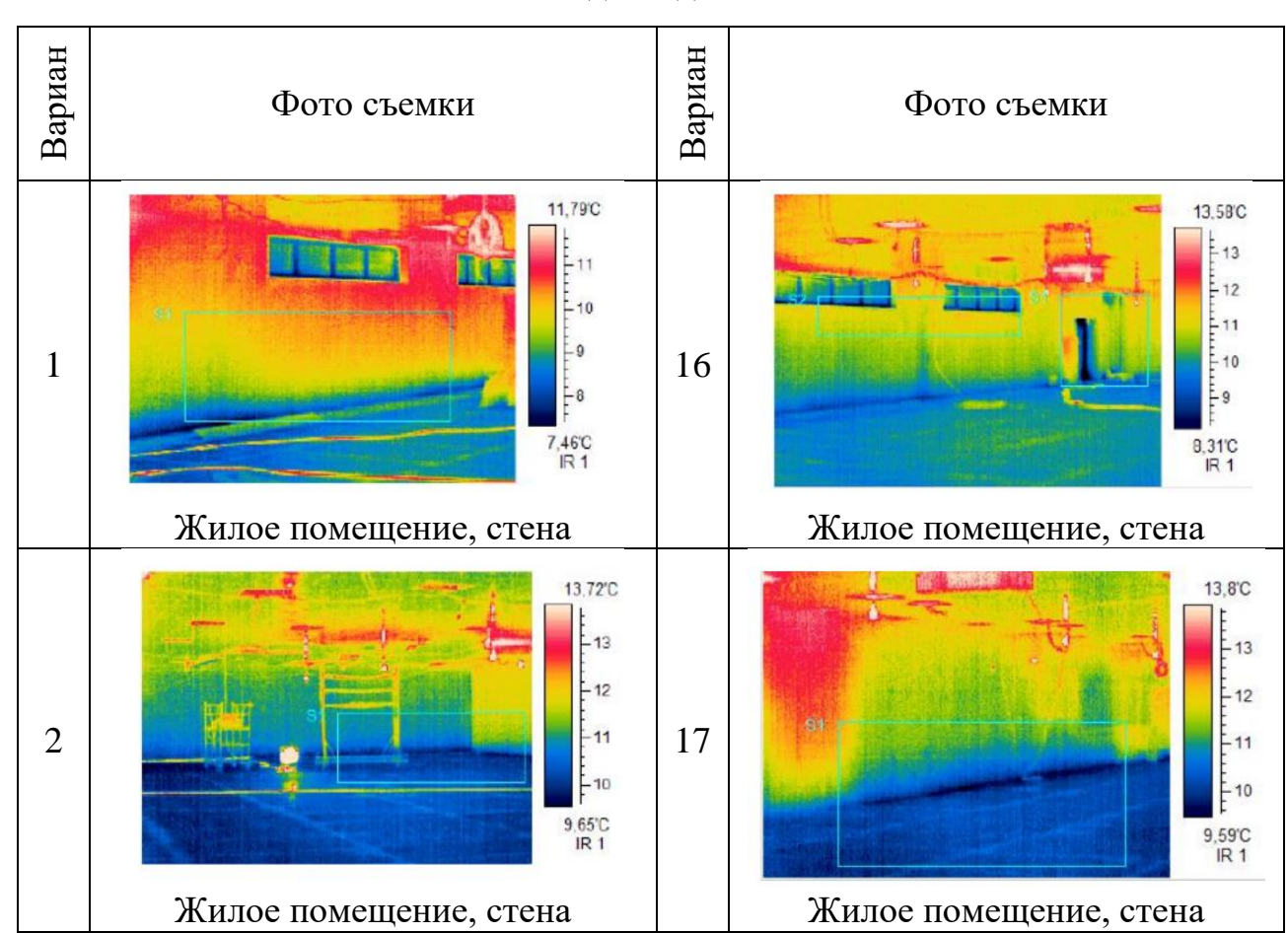
Задание для самостоятельного решения

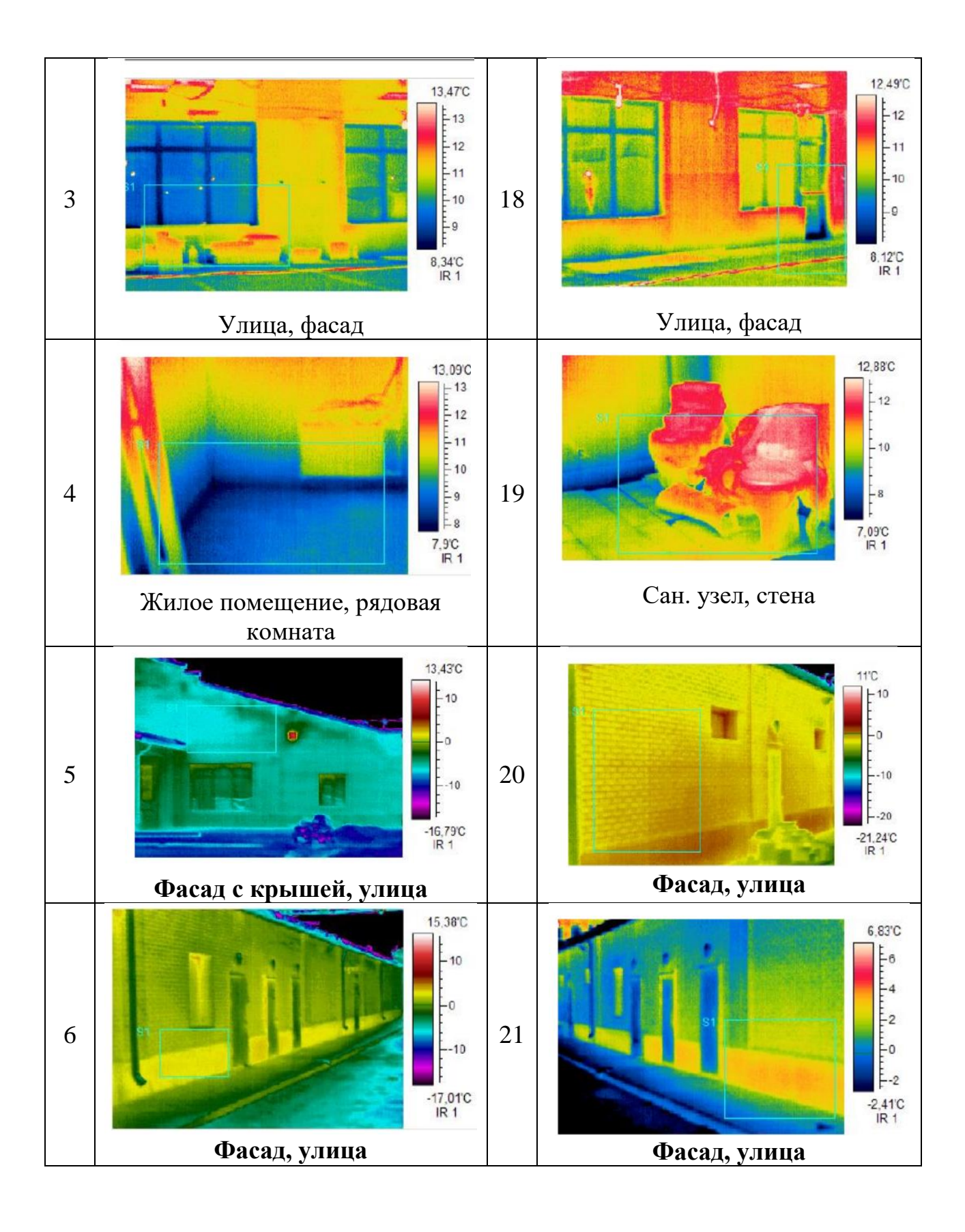
Вариант для таблицы 3.19 и Приложения 1 определяются по таблице 3.18: I – предпоследняя цифра, II – последняя цифра номера зачетки.

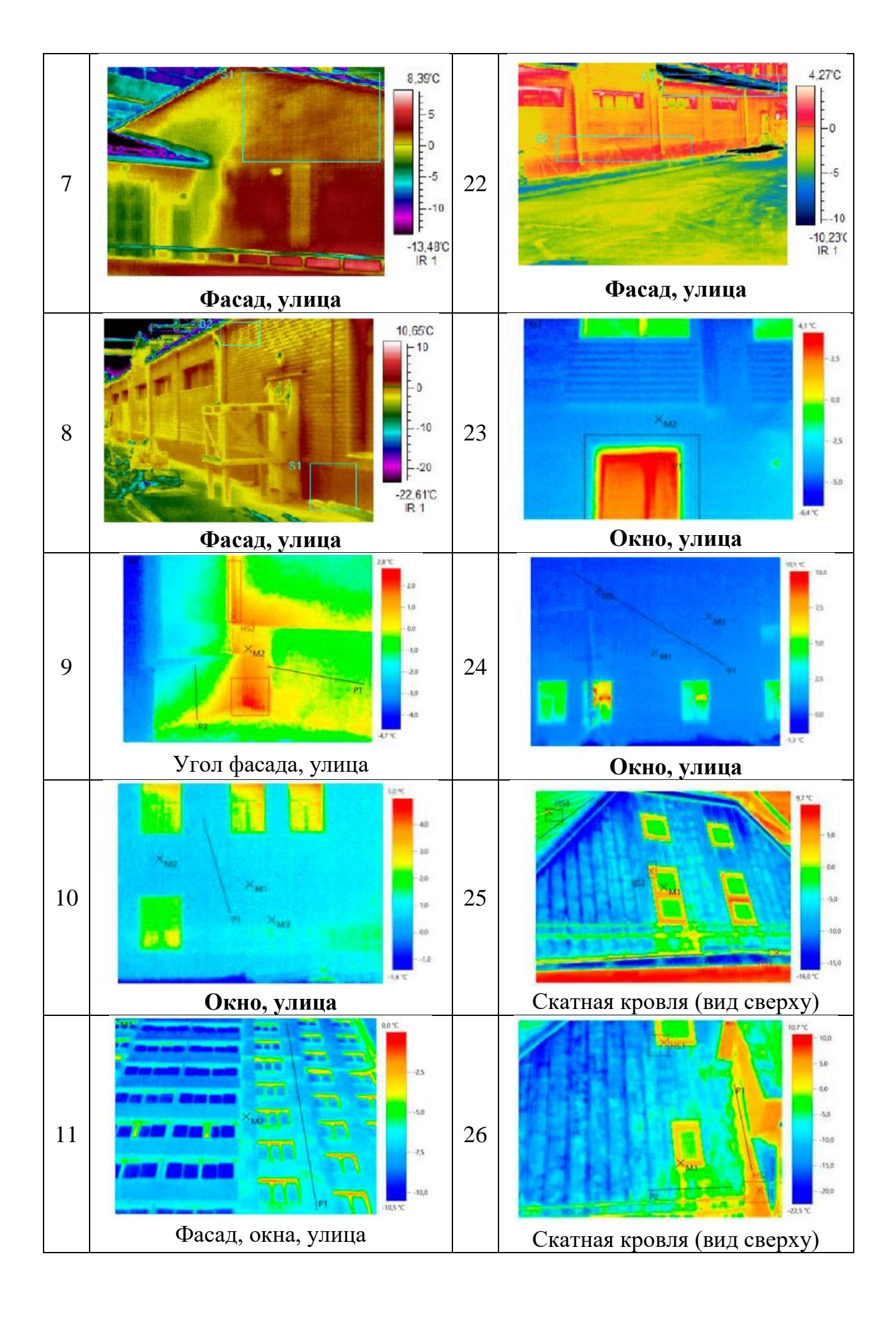
I	1	2	3	4	5	6	7	8	9	0
1	1	2	3	4	5	6	7	8	9	10
2	11	12	13	14	15	16	17	18	19	20
3	21	22	23	24	25	26	27	28	29	30
4	1	2	3	4	5	6	7	8	9	10
5	11	12	13	14	15	16	17	18	19	20
6	21	22	23	24	25	26	27	28	29	30
7	1	2	3	4	5	6	7	8	9	10
8	11	12	13	14	15	16	17	18	19	20
9	21	22	23	24	25	26	27	28	29	30
0	1	2	3	4	5	6	7	8	9	10

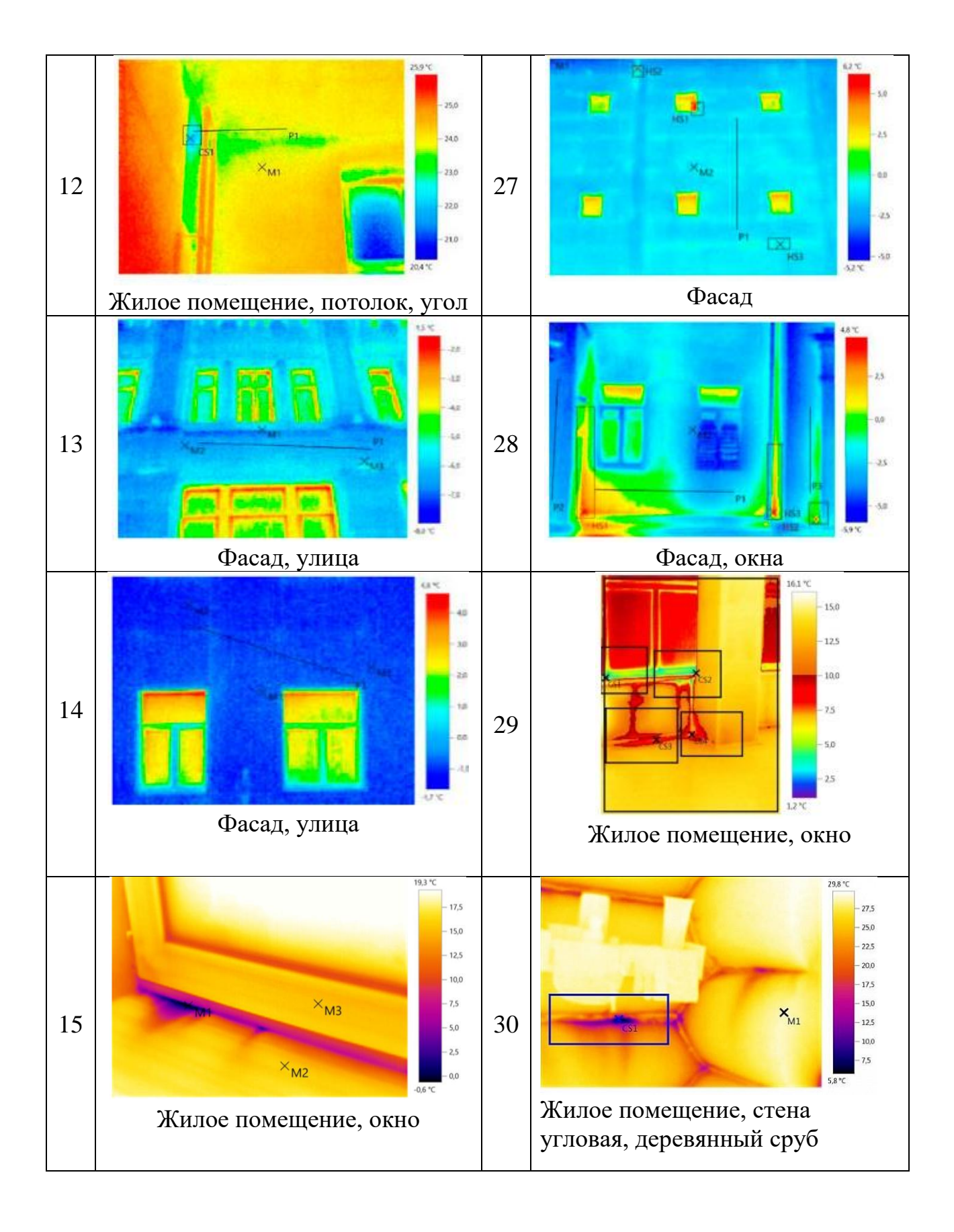
Таблица 3.19

# Исходные данные









# Определение точки росы

Темпера-					Отн	осител	ьная в	пажнос	ть воз,	духа				
тура воздуха	30%	35%	40%	45%	50%	55%	60%	65%	70%	75%	80%	85%	90%	95%
-10°C	-23,2	-21,8	-20,4	-19,0	-17,8	-16,7	-15,8	-14,9	-14,1	-13,3	-12,6	-11,9	-10,6	-10,0
-5°C	-18,9	-17,2	-15,8	-14,5	-13,3	-11,9	-10,9	-10,2	-9,3	-8,8	-8,1	-7,7	-6,5	-5,8
0°C	-14,5	-12,8	-11,3	-9,9	-8,7	-7,5	-6,2	-5,3	-4,4	-3,5	-2,8	-2	-1,3	-0,7
+2°C	-12,8	-11,0	-9,5	-8,1	-6,8	-5,8	-4,7	-3,6	-2,6	-1,7	-1	-0,2	-0,6	+1,3
+4°C	-11,3	-9,5	-7,9	-6,5	-4,9	-4,0	-3,0	-1,9	-1,0	+0,0	+0,8	+1,6	+2,4	+3,2
+5°C	-10,5	-8,7	-7,3	-5,7	-4,3	-3,3	-2,2	-1,1	-0,1	+0,7	+1,6	+2,5	+3,3	+4,1
+6°C	-9,5	-7,7	-6,0	-4,5	-3,3	-2,3	-1,1	-0,1	+0,8	+1,8	+2,7	+3,6	+4,5	+5,3
+7°C	-9,0	-7,2	-5,5	-4,0	-2,8	-1,5	-0,5	+0,7	+1,6	+2,5	+3,4	+4,3	+5,2	+6,1
+8°C	-8,2	-6,3	-4,7	-3,3	-2,1	-0,9	+0,3	+1,3	+2,3	+3,4	+4,5	+5,4	+6,2	+7,1
+9°C	-7,5	-5,5	-3,9	-2,5	-1,2	+0,0	+1,2	+2,4	+3,4	+4,5	+5,5	+6,4	+7,3	+8,2
+10°C	-6,7	-5,2	-3,2	-1,7	-0,3	+0,8	+2,2	+3,2	+4,4	+5,5	+6,4	+7,3	+8,2	+9,1
+11°C	-6,0	-4,0	-2,4	-0,9	+0,5	+1,8	+3,0	+4,2	+5,3	+6,3	+7,4	+8,3	+9,2	+10,1
+12°C	-4,9	-3,3	-1,6	-0,1	+1,6	+2,8	+4,1	+5,2	+6,3	+7,5	8,6	+9,5	+10,4	+11,7
+13°C	-4,3	-2,5	-0,7	+0,7	+2,2	+3,6	+5,2	+6,4	+7,5	+8,4	+9,5	+10,5	+11,5	+12,3
+14°C	-3,7	-1,7	-0,0	+1,5	+3,0	+4,5	+5,8	+7,0	+8,2	+9,3	+10,3	+11,2	+12,1	+13,1
+15°C	-2,9	-1,0	+0,8	+2,4	+4,0	+5,5	+6,7	+8,0	+9,2	+10,2	+11,2	+12,2	+13,1	+14,1
+16°C	-2,1	-0,1	+1,5	+3,2	+5,0	+6,3	+7,6	+9,0	+10,2	+11,3	+12,2	+13,2	+14,2	+15,1
+17°C	-1,3	+0,6	+2,5	+4,3	+5,9	+7,2	+8,8	+10,0	+11,2	+12,2	+13,5	+14,3	+15,2	16,6
+18°C	-0,5	+1,5	+3,2	+5,3	+6,8	+8,2	+9,6	+11,0	+12,2	+13,2	+14,2	+15,3	+16,2	+17,1
+19°C	+0,3	+2,2	+4,2	+6,0	+7,7	+9,2	+10,5	+11,7	+13,0	+14,2	+15,2	+16,3	+17,2	18,1
+20°C	+1,0	+3,1	+5,2	+7,0	+8,7	+10,2	+11,5	+12,8	+14,0	+15,2	+16,2	+17,2	+18,1	+19,1
+21°C	+1,8	+4,0	+6,0	+7,9	+9,5	+11,1	+12,4	+13,5	+15,0	+16,2	+17,2	+18,1	+19,1	+20,0
+22°C	+2,5	+5,0	+6,9	+8,8	+10,5	+11,9	+13,5	+14,8	+16,0	+17,0	+18,0	+19,0	+20,0	+21,0
+23°C	+3,5	+5,7	+7,8	+9,8	+11,5	+12,9	+14,3	+15,7	+16,9	+18,1	+19,1	+20,0	+21,0	+22,0
+24°C	+4,3	+6,7	+8,8	+10,8	+12,3	+13,8	+15,3	+16,5	+17,8	+19,0	+20,1	+21,1	+22,0	+23,0
+25°C	+5,2	+7,5	+9,7	+11,5	+13,1	+14,7	+16,2	+17,5	+18,8	+20,0	+21,1	+22,1	+23,0	+24,0
+26°C	+6,0	+8,5	+10,6	+12,4	+14,2	+15,8	+17,2	+18,5	+19,8	+21,0	+22,2	+23,1	+24,1	+25,1
+27°C	+6,9	+9,5	+11,4	+13,3	+15,2	+16,5	+18,1	+19,5	+20,7	+21,9	+23,1	+24,1	+25,0	+26,1
+28°C	+7,7	+10,2	+12,2	+14,2	+16,0	+17,5	+19,0	+20,5	+21,7	+22,8	+24,0	+25,1	+26,1	+27,0
+29°C	+8,7	+11,1	+13,1	+15,1	+16,8	+18,5	+19,9	+21,3	+22,5	+22,8	+25,0	+26,0	+27,0	+28,0
+30°C	+9,5	+11,8	+13,9	+16,0	+17,7	+19,7	+21,3	+22,5	+23,8	+25,0	+26,1	+27,1	+28,1	+29,0
+32°C	+11,2	+13,8	+16,0	+17,9	+19,7	+21,4	+22,8	+24,3	+25,6	+26,7	+28,0	+29,2	+30,2	+31,1
+34°C	+12,5	+15,2	+17,2	+19,2	+21,4	+22,8	+24,2	+25,7	+27,0	+28,3	+29,4	+31,1	+31,9	+33,0
+36°C	+14,6	+17,1	+19,4	+21,5	+23,2	+25,0	+26,3	+28,0	+29,3	+30,7	+31,8	+32,8	+34,0	+35,1
+38°C	+16,3	+18,8	+21,3	+23,4	+25,1	+26,7	+28,3	+29,9	+31,2	+32,3	+33,5	+34,6	+35,7	+36,9
+40°C	+17,9	+20,6	+22,6	+25,0	+26,9	+28,7	+30,3	+31,7	+33,0	+34,3	+35,6	+36,8	+38,0	+39,0

# 3.6. ПРАКТИЧЕСКОЕ ЗАНЯТИЕ №6: Анализ характерных дефектов кровли и причин их возникновения. Расчет кровли на ветровую нагрузку.

Методические указания к решению задач

При выполнении практической работы необходимо выполнить следующее:

- определите характеристики кровли и вид дефекта;
- рассчитать ветровую нагрузку на кровлю.

Для оценки состояния крыш и кровель используют ВСН 53-86 (р) «Правила оценки физического износа жилых зданий».

#### Задача 1.

В соответствии с практическим занятием №3 проведите обследование кровли и составте дефектную ведомость.

#### Задача 2.

- 1) Определение кровельной системы здания в соответствии с таблицей 3.25 и индивидуальным заданием.
  - 2) Определите тип местности по табл. 3.21.

Таблица 3.21

#### Тип местности

п/п	Тип	Описание
11/11	местности	Описание
4		Открытые побережья морей, озер и водохранилищ,
1	A	сельские местности, в том числе с постройками высотой менее 10 м, пустыни, степи, лесостепи, тундра;
		Городокие территории песине моссири и пругие
2	В	Городские территории, лесные массивы и другие местности, равномерно покрытые препятствиями
		высотой более 10м;
	G	Городские районы с плотной застройкой зданиями
3	C	высотой более 25 м.

Сооружение считается расположенным в местности данного типа, если эта местность сохраняется с наветренной стороны сооружения на расстоянии 30h -

при высоте сооружения h меньше 60 м и на расстоянии 2 км - при h больше 60 м (п.11.1.6 СП 20.13330.2016).

# 3) Определение аэродинамического коэффициента

# 3.1 Для плоских покрытий (крыши). Пиковая нагрузка

Для элементов ограждения крыши и узлов их крепления необходимо учитывать пиковые положительные W+ и отрицательные W- воздействия ветровой нагрузки, нормативные значения которых определяются по формуле 3.2:

$$w_{+(-)} = w_0 k(z_e) [1 + \xi(z_e)] c_{p,+(-)} v_{+(-)}, \tag{3.2}$$

где  $w_0$  - нормативное значение давления ветра; z - эквивалентная высота (см. СП 20.13330.2016).

Таблица 3.22 Нормативное значение ветрового давления в зависимости от ветрового района [СП 20.13330.2016, табл. 11.1]

Ветровые райо	ны (	по кар	те 2								
приложения	E	В	СП	Ia	I	II	III	IV	V	VI	VII
20.13330.2016)											
w <sub>0</sub> , кПа				0.17	0.23	0.30	0.38	0.48	0.60	0.73	0.85

Коэффициент  $k_{(ze)}$  — коэффициент, учитывающий изменение ветрового давления для высоты  $z_e \leq 300$  м определяется по таблице 5.2 [СП 20.13330.2016, табл. 3.23].

Таблица 3.23 Значение коэффициента  ${\bf k}_{(ze)}$  в зависимости от ветрового давления для высоты  ${\bf z}_e$ 

Высота ze, м	Коэффициент к для типа местности						
BBICOTA ZC, M	A	В	С				
<5	0,75	0,50	0,40				
10	1,00	0,65	0,40				
20	1,25	0,85	0,55				

40	1,50	1,10	0,80
60	1,70	1,30	1,00
80	1,85	1,45	1,15
100	2,00	1,60	1,25
150	2,25	1,90	1,55
200	2,45	2,10	1,80
250	2,65	2,30	2,00
300	2,75	2,50	2,20

Коэффициент пульсации давления ветра  $\zeta(z_e)$  принимается по таблице 5.3[СП 20.13330.2016, табл. 3.].24

Таблица 3.24 **Коэффициент пульсации давления ветра в зависимости от высоты \mathbf{z\_e}** 

Высота де, м	Коэфф	ициент ζ для типа ме	стности
Высота гс, м	A	В	С
<5	0,85	1,22	1,78
10	0,76	1,06	1,78
20	0,69	0,92	1,50
40	0,62	0,80	1,26
60	0,58	0,74	1,14
80	0,56	0,70	1,06
100	0,54	0,67	1,00
150	0,51	0,62	0,90
200	0,49	0,58	0,84
250	0,47	0,56	0,80
300	0,46	0,54	0,75

Значения коэффициентов корреляции ветровой нагрузки, соответствующие положи-тельному давлению (+) и отсосу (-), v+(-) приведены в таблице 3.25 (СП 20.13330.2016, табл. 11.8) в зависимости от площади ограждения А, с которой собирается ветровая нагрузка. При механическом креплении водоизоляционного

ковра площадь ограждения A ( $M^2$ ) допускается принимать как площадь, приходящуюся на один крепежный элемент.

Таблица 3.25
Значения коэффициентов корреляции ветровой нагрузки в зависимости от площади ограждения

$A, M^2$	<2	5	10	>20
ν+	1,0	0,9	0,8	0,75
ν-	1,0	0,85	0,750	0,65

Пиковые отрицательные значения аэродинамического коэффициента ср,для отдельно стоящих прямоугольных в плане зданий с плоским покрытием (крышей) приведены в таблице 5.5 [СП 20.13330.2016, табл. В.12], также см. рис. 3.26 [СП 20.13330.2016, рис. 3.9].

Таблица 3.26

#### Пиковое значение

Участок	A	В	С	D	Е
С <sub>р</sub>	-2,2	-1,2	-3,4	-2,4	-1,5



Рис. 3.9. Зоны плоских перекрытий и стен

# 3.2 Для двухскатных покрытий

Крыши, включая свесы, подразделяются на зоны по рисунку 3.10 [СП 20.13330.2016, рис. B.4].

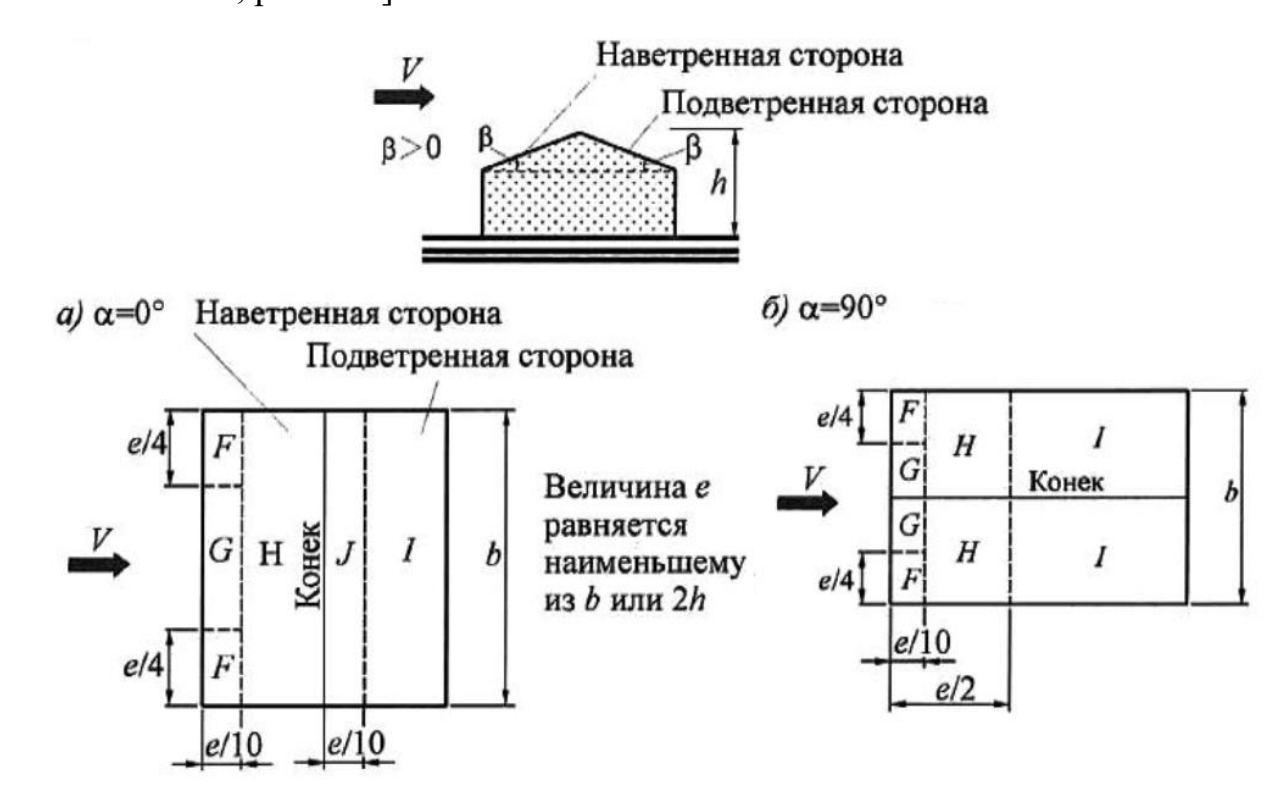


Рис. 3.10. Зоны покрытия

Коэффициенты внешнего давления  $c_e$  для каждой зоны, которые следует использовать в расчетах, определяются по таблице 3.27 [СП 20.13330.2016, табл. В.3а] и таблице 3.28 [СП 20.13330.2016, табл. В.3б] в зависимости от направления средней скорости ветра.

Таблица 3.27 Коэффициент внешнего давления  $c_e$  для двухскатной (плоской) крыши при  $-\alpha=0^\circ$ 

$-\mathbf{u}$ $\mathbf{v}$									
Угол β	F	G	Н	I	J				
0°	-1,8	-1,3	-0,7	-0,5	-0,5				
15°	-0,9	-0,8	-0,3	-0,4	-1,0				
	0,2	0,2	0,2	, ,					
30°	-0,5	-0,5	-0,2	-0,4	-0,5				
	0,7	0,7	0,4	- 7	- 7-				
45°	0,7	0,7	0,6	-0,2	-0,3				
60°	0,7	0,7	0,7	-0,2	-0,3				

75°	0,8	0,8	0,8	-0,2	-0,3

Таблица 3.28 Коэффициент внешнего давления  $c_e$  для двухскатной (плоской) крыши при  $-\alpha = 90^\circ$ 

Угол β	F	G	Н	I
0°	-1,8	-1,3	-0,7	-0,5
15°	-1,3	-1,3	-0,6	-0,5
30°	-1,1	-1,4	-0,8	-0,5
45°	-1,1	-1,4	-0,9	-0,5
60°	-1,1	-1,2	-0,8	-0,5
75°	-1,1	-1,2	-0,8	-0,5

# 4) Расчет кровли на ветровую нагрузку

## 4.1 Тип кровли а) Кровельная клеевая система

В клеевой системе (рисунок 4.1а и 4.16 СП 20.13330.2016) все слои крыши склеены между собой. Крепление между слоями осуществляется при помощи клеевого состава, горячего кровельного битума или битумосодержащей мастики, наносимые полностью или частично на все контактируемые поверхности слоев крыши (без выравнивающих стяжек). Приклейка битумосодержащих материалов и полимерных мембран к поверхности основания может осуществляться сплошным или частичным наплавлением, или с применением специальных самоклеящихся материалов.

В соответствии с СП 17.13330.2017 (п. 5.1.16) прочность (сила) склеивания (адгезии),  $F_a$  (Па), между слоями крыши должна быть не менее 0,05 МПа = 50 кПа.

В клеевой системе крыши отрицательная ветровая нагрузка (отсос) W, Па, , не должна превышать силу сцепления  $F_a$ , Па, между слоями крыши при условии, что предельные усилия растяжения  $F_p$ , Па, теплоизоляционного слоя не менее ветровой нагрузки W:  $W < F_a$ , если  $F_p \ge W$ .

При точечной или полосовой 25% - 35%-ной наклейке слоев крыши должно соблюдаться следующее условие:  $W < 0.25\ F_a$ , если  $F_p \ge W$ .

Таким образом, расчет кровли на крыше клеевой системы сводится к определению (подбору) клеевого состава и утеплителя с показателями адгезии клея и когезии теплоизоляционных плит не менее ветровой нагрузки.

# 4.2 Тип кровли б) Балластная кровельная система

При свободной укладке (рисунок 4.1 в СП 20.13330.2016) водоизоляционного ковра (с проклейкой или сваркой швов) балластный слой принимают таким, чтобы распределенная поверхностная нагрузка от него  $P_n$ , Па, превышала величину ветровой нагрузки: W < Pn.

К балластной можно отнести систему, в которой выравнивающие монолитная или сборная стяжки уложены свободно на теплоизоляцию или уклонообразующий слой

# 4.3 Тип <u>в) Кровельная система с механическим креплением</u> водоизоляционного ковра

Данная система (рисунок 4.1г СП 20.13330.2016) включает водоизоляционный ковер из одного или нескольких слоев рулонных (полимерных, битумосодержащих, резиновых) материалов, которые крепятся к несущей конструкции при помощи точечного или линейного крепления.

Условие задачи

**Задача 1.** Определите характеристики кровли и вид дефекта в соответствии с индивидуальным заданием. Составьте ведомость дефектов для элементов кровли.

**Задача 2.** Рассчитать ветровую нагрузку W на плоские крыши с кровельной клеевой системой: b (a) = 60 м, d (b) = 40 м, h = 36 м, Тип местности A, Крыша плоская с парапетом высотой hp = 0,9 м.

Варианты ответов

- А) 623,5 кПа
- Б) 0,6235 кПа

- (!) B) 6,235 кПа
- Г) 62,35 кПа
- Д) 6235 кПа

Полное решение задачи

Схема кровли представлена на рис. 3.11

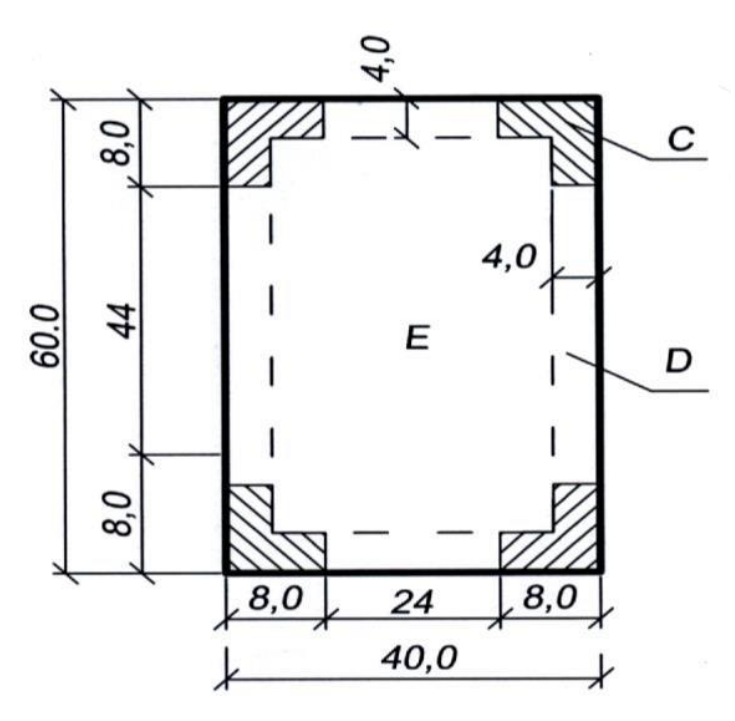


Рис.3.11. План крыши здания

#### Дано:

b(a) = 60 M

d(b) = 40 M

h = 36 M

Тип местности А Крыша плоская с парапетом высотой hp = 0.9 M

#### Решение:

- 1.Определяем ветровую нагрузку района: I, IV и VII.
- 2. Конструктивные слои крыши (снизу вверх): несущие железобетонные плиты; пароизоляция из рулонного материала Унифлекс С ЭМС; пенополиизоциануратная плита (PIR), приклеенная к пароизоляционному материалу Унифлекс С ЭМС; водоизоляционный ковер из одного слоя ПВХ-мембраны LOGICROOF V-GR FB.
- 3. Нормативное значение средней составляющей основной ветровой нагрузки  $W_0$  (таблица 5.1):

для I-0,23кПа, IV-0,48кПа и VII-0,85кПа.

3.1 По высоте  $k(z_e)$  по таблице 5.2:

 $40 - 20 = 20 \longrightarrow 1,50 - 1,25 = 0,25;\ 40 - 36 = 4; \longrightarrow x = 4x0,25 \colon 20 = 0,05.\ k(z_e) = 1,50 - 0,05 = 1,45$ 

3.2 Пульсация ζ определяем по таблицам 11.4:

$$40-20=20 \rightarrow 0,69-0,62=0,07; \rightarrow 40-36=4 \rightarrow x = 4x0,07:20 =0,014. \zeta(z_e) = 0,62+0,014=0,634$$

- 3.3. Пространственную корреляцию *v* пульсации давления равна: 0,65.
- 3.4 Коэффициенты Се по таблице 5.5 по зонам:

С: для I, IV, VII – -3,4; **D**: для I, IV, VII – -2,4; **E**: для I, IV, VII – -1.5.

4. Средняя составляющая основной ветровой нагрузки Wm по формуле 11.2 СП 20.13330.2016:

для I:  $23 \times 1,45 = 0,334$ ; для IV:  $0,48 \times 1,45 = 0,696$ ; для VII:  $0,85 \times 1,45 = 1,233$ .

5. Пульсирующая составляющая основной ветровой нагрузки  $W_p$  по формуле 11.5 СП 20.13330.2016:

для I:  $0,334 \times 0,634 = 0,212$ ; для IV:  $0,696 \times 0,634 = 0,442$ ; для VII:  $1,233 \times 0,634 = 0,782$ .

6. Расчетная ветровая нагрузка с учетом коэффициента надежности по нагрузке, равного 1,4 (раздел 11 СП 20.13330.2016):

W = (Wm + Wp) х 1,4, кПа (H/м<sup>2</sup>), по зонам:

 ${f C}$ : для I - (0,334+0,212) x3,4 x 0,65 x 1,4 = 1,689 (1689); для IV - (0,696+0,442) x3,4 x 0,65 x 1,4 =3,521 (3521); для VII - (1,233+0,634) x3,4 x 0,65 x 1,4 =6,235 (6235).

**D**: для I - 1,193 (1193); для IV - 2,485 (2485); для VII - 4,401 (4401).

E: для I - 0,745 (745); для IV - 1,554 (1554); для VII - 2,751 (2751).

7. Прочность сцепления водоизоляционного ковра с основанием под кровлю  $N_a$  (пункт 5.1.16 СП 17.13330.2017), кПа ( $H/M^2$ ):

для I, IV, VII - 50 (50000).

8. Вывод: из решения следует, что в конструкции крыши строящегося здания наиболее опасной зоной является зона  $\mathbb{C}$ , на которую действует наибольшая ветровая нагрузка (отсос). В связи с этим в зоне  $\mathbb{F}$  сила сцепления слоев крыши  $N_a$  и уровень прочности  $\mathbb{T}$ Ri теплоизоляции (PIR) должны быть больше ветровой нагрузки W.

 $W=6,235~{\rm k\Pi a} << N_a=50~{\rm k\Pi a}$  - требование выполнено;  $W=6,235~{\rm k\Pi a} << {\rm TRi}~=40~{\rm k\Pi a} - {\rm требование}~{\rm выполнено}.$ 

При частичной 30 %-ной наклейке водоизоляционного ковра сохраняется условие безопасности крыши здания:

 $W = 6,235 \text{ к}\Pi \text{a} << 50 \text{ x } 0,3 = 15 \text{ к}\Pi \text{a}$ — требование выполнено.

Задание для самостоятельного решения

Вариант для таблицы 3.30 и Приложения 1 определяются по таблице 3.29.: I – предпоследняя цифра, II – последняя цифра номера зачетки.

Таблица 3.29

II	1	2	3	4	5	6	7	8	9	0
1										
1	1	2	3	4	5	6	7	8	9	10
2	11	12	13	14	15	16	17	18	19	20
3	21	22	23	24	25	26	27	28	29	30
4	1	2	3	4	5	6	7	8	9	10
5	11	12	13	14	15	16	17	18	19	20
6	21	22	23	24	25	26	27	28	29	30
7	1	2	3	4	5	6	7	8	9	10
8	11	12	13	14	15	16	17	18	19	20
9	21	22	23	24	25	26	27	28	29	30
0	1	2	3	4	5	6	7	8	9	10

Таблица 3.30

# Варианты задания

Вариант	Данные*	Вариант	Данные*
Вариант	Скатная. Тип местности	Вариант	Скатная. Тип местности В.
1	В. Зона $a=0^{\circ}$ . Угол $\beta=45^{\circ}$ ,	16	Зона $a=0^{\circ}$ . Угол $\beta=45^{\circ}$ ,
Вариант	Скатная. Тип местности	Вариант	Скатная. Тип местности В.
2	В. Зона $a=90^{\circ}$ . Угол $\beta=45^{\circ}$ ,	17	Зона $a=90^{\circ}$ . Угол $\beta=45^{\circ}$ ,
Вариант 3	Плоская. Тип местности А. Крыша плоская с парапетом высотой $hp = 0.9$ м, (схему 1 (слева неправо, сверху вниз) см.	Вариант 18	Плоская. Тип местности А. Крыша плоская с парапетом высотой $hp = 0.9$ м, (схему 1 (слева неправо, сверху вниз) см. СП 20.13330.2017, прил. Б, рис. В. 1)

	СП 20.13330.2017, прил. Б, рис. В. 1)		
Вариант 4	Скатная. Тип местности В. Зона $a=0^{\circ}$ . Угол $\beta=45^{\circ}$ ,	Вариант 19	Скатная. Тип местности В. Зона $a=0^{0}$ . Угол $\beta=45^{0}$ ,
Вариант 5	Скатная. Тип местности В. Зона $a=90^{\circ}$ . Угол $\beta=45^{\circ}$ ,	Вариант 20	Скатная. Тип местности В. Зона $a=90^{\circ}$ . Угол $\beta=45^{\circ}$ ,
Вариант 6	Плоская. Тип местности А. Крыша плоская с парапетом высотой $hp = 0.9$ м, (схему 3 (слева неправо, сверху вниз) см. СП 20.13330.2017, прил. Б, рис. В. 1)	Вариант 21	Плоская. Тип местности А. Крыша плоская с парапетом высотой $hp=0.9$ м, (схему 3 (слева неправо, сверху вниз) см. СП 20.13330.2017, прил. Б, рис. В. 1)
Вариант 7	Плоская. Тип местности А. Крыша плоская с парапетом высотой $hp = 0.9$ м, (схему 1 (слева неправо, сверху вниз) см. СП 20.13330.2017, прил. Б, рис. В. 1)	Вариант 22	Плоская. Тип местности А. Крыша плоская с парапетом высотой $hp = 0.9$ м, (схему 1 (слева неправо, сверху вниз) см. СП 20.13330.2017, прил. Б, рис. В. 1)
Вариант 8	Скатная. Тип местности В. Зона $a=0^{\circ}$ . Угол $\beta=45^{\circ}$ ,	Вариант 23	Скатная. Тип местности В. Зона $a=0^{\circ}$ . Угол $\beta=45^{\circ}$ ,
Вариант 9	Плоская. Тип местности А. Крыша плоская с парапетом высотой $hp = 0.9$ м, (схему 3 (слева неправо, сверху вниз) см. СП 20.13330.2017, прил. Б, рис. В. 1)	Вариант 24	Плоская. Тип местности А. Крыша плоская с парапетом высотой $hp = 0.9$ м, (схему 3 (слева неправо, сверху вниз) см. СП 20.13330.2017, прил. Б, рис. В. 1)
Вариант 10	Плоская. Тип местности А. Крыша плоская с парапетом высотой $hp = 0.9$ м, (схему 1 (слева неправо, сверху вниз) см. СП 20.13330.2017, прил. Б, рис. В. 1)	Вариант 25	Плоская. Тип местности А. Крыша плоская с парапетом высотой $hp = 0.9$ м, (схему 1 (слева неправо, сверху вниз) см. СП 20.13330.2017, прил. Б, рис. В. 1)
Вариант 11	Скатная. Тип местности В. Зона $a=0^{0}$ . Угол $\beta=45^{0}$ ,	Вариант 26	Скатная. Тип местности В. Зона $a=0^0$ . Угол $\beta=45^0$ ,
Вариант 12	Скатная. Тип местности В. Зона $a=90^{\circ}$ . Угол $\beta=45^{\circ}$ ,	Вариант 27	Скатная. Тип местности В. Зона $a=90^{\circ}$ . Угол $\beta=45^{\circ}$ ,
Вариант 13	Плоская. Тип местности А. Крыша плоская с парапетом высотой $hp =$	Вариант 28	Плоская. Тип местности А. Крыша плоская с парапетом высотой $hp = 0.9$ м, (схему 3

	0,9 м, (схему 3 (слева неправо, сверху вниз) см. СП 20.13330.2017, прил.		(слева неправо, сверху вниз) см. СП 20.13330.2017, прил. Б, рис. В. 1)
	Б, рис. В. 1)		
Вариант	Скатная. Тип местности	Вариант	Скатная. Тип местности В.
14	В. Зона $a=0^{\circ}$ . Угол $\beta=45^{\circ}$ ,	29	Зона $a=0^{0}$ . Угол $\beta=45^{0}$ ,
Вариант	Скатная. Тип местности	Вариант	Скатная. Тип местности В.
15	В. Зона $a=90^{\circ}$ . Угол $\beta=45^{\circ}$ ,	30	Зона $a$ =90 $^{\circ}$ . Угол $\beta$ =45 $^{\circ}$ ,

<sup>\*</sup>недостающие данные взять на Ваше усмотрение.

# 3.7. ПРАКТИЧЕСКОЕ ЗАНЯТИЕ № 7: Определение влажностных условий эксплуатации ограждающих конструкций. Расчет влажности ограждающей конструкции.

Методические указания к решению задач

При выполнении практической работы необходимо выполнить следующее:

- определить конструктив несущей стены;
- рассчитать сопротивление теплопередаче ограждающей конструкции;
- определить температуру на поверхности каждого слоя ограждающей конструкции;
- построить график распределения температур на поверхности и в толще ограждения (стены) в масштабе изменения температур его слоев
  - определим температурный перепад;
  - определить сопротивление паропроницанию стены;
- определить парциальное давление водяного пара внутри и снаружи стены в условиях насыщения;
- построить график распределения максимального парциального давления водяного пара;
- определить действительное парциальное давление водяного пара внутри и снаружи стены;
- построить график распределения действительного парциального давления водяного пара;
  - сделать вывод.

В слоистых ограждающих конструкциях порядок чередования слоев из плотных и пористых материалов имеет важное значение в предупреждении конденсации влаги внутри конструкции. Если часть конструкции, граничащая с отапливаемым помещением, выполнена из пористого материала, а наружная часть — из плотного, то на их границе возможна конденсация влаги, особенно при значительной влажности воздуха в помещении. Наоборот, выполнение внутренней части конструкции из плотного материала, обладающего малой

паропроницаемостью, а наружной части — из материала пористого гарантирует ограждающую конструкцию от конденсации влаги. Это наглядно можно проследить в графоаналитическом методе. Развитием графоаналитического метода расчета стационарного влажностного состояния ограждающих конструкций является метод последовательного увлажнения, который учитывает не стационарность диффузии водяного пара и различную ее направленность в отдельные календарные периоды.

В правильно запроектированной конструкции должно обеспечиваться  $P_{vp}>0$ . При отрицательном балансе влаги, чтобы исключить систематическое увлажнение ограждения, необходимо устройство у внутренней поверхности конструкции влагоизоляции, например, в виде отделочного слоя из плотных материалов с большим сопротивлением паропроницанию.

Наружные ограждающие конструкции зданий в теплотехническом и влагоизоляционном отношении должны удовлетворять следующим требованиям:

- 1) обладать достаточными теплотехническими свойствами, чтобы лучше сохранять тепло в помещениях в холодное время года;
- 2) температура внутренних поверхностей при эксплуатации не должна значительно отличаться от температуры внутреннего воздуха, чтобы избежать конденсата на стенах и на потолках верхних этажей;
- 3) воздухопроницаемость стен здания не должна превосходить допустимого предела; в противном случае помещения будут охлаждаться, а у людей, находящихся вблизи наружных стен, будет ощущение обдувания;
- 4) влажность ограждений должна быть минимальной, так как увлажнение ухудшает их теплозащитные свойства.

Температура внутренней поверхности ограждения является одним из основных санитарно-гигиенических параметров помещения и характеризует теплозащитные свойства ограждения. Вероятность выпадения конденсата на внутренней поверхности ограждения определяется его температурой при

заданной температуре и относительной влажности воздуха помещения. Кроме того, температура внутренней поверхности ограждения характеризует степень комфортности микроклимата помещения, так как с ее понижением усиливается процесс потери тепла телом человека за счет теплоизлучения, что при определенных условиях может вызывать ощущение озноба. В связи с этим на основании санитарных норм ограничивается расчетный температурный перепад  $\Delta t0$  °C, между температурой внутреннего воздуха и температурой внутренней поверхности ограждающей конструкции. Он не должен превышать нормируемого перепада  $\Delta t_n$ ° C (СП 50.13330.2012 табл. 5). Определяется по формуле 3.3:

$$\Delta t_0 = \frac{n \cdot (t_{int} - t_{ext})}{R_0 \cdot \alpha_{int}},\tag{3.3}$$

где n – коэффициент, учитывающий зависимость положения наружной поверхности ограждающих конструкций по отношению к наружному воздуху (СП 50.13330.2012 табл. 6);  $t_{int}$  – расчетная средняя температура внутреннего °C, воздуха здания, принимаемая согласно проектирования нормам соответствующих зданий и сооружений (СП 50.13330.2012);  $t_{\rm ext}$  – расчетная температура наружного воздуха в холодный период, °C, принимается равной средней температуре наиболее холодного месяца (СП 50.13330.2012 табл. 3\*);  $\alpha_{int}$  – коэффициент теплоотдачи внутренней поверхности ограждающих конструкций,  $B_T/(M \, ^{\circ}C)$  (СП 50.13330.2012 по табл. 7);  $R_0$  – сопротивление конструкций, м2·°С/Вт, определяется теплопередаче ограждающих формуле 7.2:

$$R_o = R_{int} + R_k + R_{ext} = \frac{1}{\alpha_{int}} + \sum_{i=1}^{i} \frac{\delta_i}{\lambda_i} + \frac{1}{\alpha_{ext}},$$
 (3.4)

здесь  $R_k$  — термическое сопротивление ограждающей конструкции;  $\delta_i$  - толщина слоя, м;  $\lambda_i$  — расчетный коэффициент теплопроводности материала слоя, Вт/(м °C) (СП 50.13330.2012 прил. Д);  $\alpha_{ext}$  — коэффициент теплоотдачи (для зимних условий) наружной поверхности ограждающих конструкций, Вт/( м°C) (СП 50.13330.2012 табл. 8).

В условиях стационарного теплового потока температуру внутренней поверхности ограждения определяют по формуле 3.5:

$$\tau_{int} = t_{int} - \frac{t_{int} - t_{ext}}{R_o} \cdot R_{int}, \qquad (3.5)$$

Из приведенной формулы видно, что для повышения температуры внутренней поверхности ограждения нужно повысить общее сопротивление теплопередаче или уменьшить сопротивление тепловосприятию. Повышение общего сопротивления теплопередаче неэкономично, так как влечет за собой увеличение массы ограждающих конструкций и расхода материалов.

Уменьшение сопротивления тепловосприятию несущественно понизит общее сопротивление теплопередаче, но окажет значительное влияние на повышение температуры внутренней поверхности стены.

Температура внутренней поверхности остекления окон зданий должна быть не ниже плюс 3° C, то есть:  $\tau_{int}^{OK} \ge 3$ , C, где  $\tau_{int}^{OK}$ - температура внутренней поверхности остекления окон зданий, °C.

Температура внутренней поверхности окон определяется по формуле 3.6:

$$\tau_{int}^{OK} = t_{int} - \frac{t_{int} - t_{ext}}{R_o \alpha_{int}},\tag{3.6}$$

Температура внутренней поверхности ограждающей конструкции *в зоне температуры включений, в углах и оконных откосах* должна быть выше температуры точки росы внутреннего воздуха на 3° С, то есть:

$$\tau_{int}^{HC} \geq t_p + 3$$
,0  $C$ 

где  $au_{int}^{HC}$  - температура внутренней поверхности включений и наружного угла, °C;  $t_p$  – температура точки росы внутреннего воздуха, °C.

Температура точки росы внутреннего воздуха определяется по формуле 3.7:

$$t_p = 20.1 - (5.75 - 0.00206 \cdot e_{int})^2,$$
 (3.7)

где  $e_{int}$  — упругость водяного пара внутреннего воздуха, Па, при расчетной температуре и влажности этого воздуха.

Упругость водяного пара внутреннего воздуха определяется по формуле 3.8:

$$e_{int} = \left(\frac{\varphi_{int}}{100}\right) \cdot E_{int},\tag{3.8}$$

где  $E_{int}$  — парциальное давление насыщенного водяного пара, Па, при температуре  $t_{int}$ , принимается по СП 50.13330.2012 прил. С;  $\phi_{int}$  — относительная влажность внутреннего воздуха, %, принимаемая 55% согласно требованиям СП 50.13330.2012.

Определить возможность конденсации влаги в толще ограждающей конструкции в условиях стационарного состояния диффузии водяного пара можно графоаналитическим методом. Графоаналитический метод расчета определить влажностного режима позволяет влажностное состояние ограждающих конструкций зданий в установившейся стадии процесса, но не раскрывает течение этого процесса во времени. В умеренном климате в ограждающих конструкциях отапливаемых зданий влагонакопление возможно только в зимний период, в летний – происходит процесс сушки конструкции. В конструкциях, выполненных из плотных малопроницаемых материалов, установленная расчетом конденсация водяного пара может и не наступить, стабилизации ДЛЯ процесса увлажнения продолжительность холодного периода года окажется недостаточной.

Учитывая высокую инерционность процесса диффузии водяного пара в ограждающих конструкциях по сравнению с теплопередачей за расчетные температуры и парциальные давления пара воды наружного и внутреннего воздуха, принимают среднемесячные значения (или за более длительный период).

Вначале на границах слоев из различных материалов, составляющих конструкцию, определяются температуры т. При этом для вычисления температуры на границах слоев используются формула или графоаналитический метод.

Температура в толще ограждения в любом его сечении определяется по формуле 3.9:

$$T_x = t_{int} - \frac{t_{int} - t_{ext}}{R_o} \cdot (R_{int} + R_x), \qquad (3.9)$$

где  $R_x$  — термическое сопротивление конструктивных слоев ограждения, расположенных между внутренней поверхностью ограждения и ее произвольной плоскостью  $\mathbf{x}$ .

Сопротивление паропроницанию  $R_{ip}$ , м<sup>2</sup>·ч·Па/мг, однослойной или отдельного слоя многослойной ограждающей конструкции следует определять по формуле 3.10:

$$R_{ip} = \frac{\delta_i}{\mu_i},\tag{3.10}$$

где  $\delta_i$  — толщина слоя ограждающей конструкции, м;  $\mu_i$  — расчетный коэффициент паропроницаемости материала слоя ограждающей конструкции, м²·ч·Па/мг, принимаемый по прил. Д СП 50.13330.2012.

Сопротивление паропроницанию  $R_{\nu p}$ , м<sup>2</sup>·ч·Па/мг, многослойной ограждающей конструкции следует определять по формуле 3.11:

$$R_{vp} = R_{int} + \frac{\delta_1}{\mu_1} + \frac{\delta_2}{\mu_2} + \dots + \frac{\delta_i}{\mu_i} + R_{extp}$$

$$= R_{int} + \sum_{i=1}^{n} R_{ip} + R_{extp},$$
(3.11)

Сопротивление паропроницанию многослойной ограждающей конструкции (или ее части) равно сумме сопротивлений паропроницанию составляющих ее слоев. Сопротивление паропроницанию воздушных прослоек в ограждающих конструкциях следует принимать равным нулю независимо от расположения и толщины этих прослоек. В соответствии со значениями вычисленных температур строится кривая упругости насыщенного водяного пара или максимального парциального давления водяного пара E (красный график). Для этого устанавливаем значения парциального давления для каждого слоя конструкции согласно графику распределения температур, с помощью прил. С СП 50.13330.2012. Вычисляются значения парциального давления водяного пара е на границе слоев ограждающей конструкции по формуле 3.12:

$$e_x = t_{int} - \frac{e_{int} - e_{ext}}{R_{vp}} \cdot (R_{int p} + R_{x p}),$$
 (3.12)

где  $e_{ext}$  — упругость водяного пара наружного воздуха определяется по формуле 3.13:

$$e_{ext} = \frac{\varphi_{ext} - E_{ext}}{100},\tag{3.13}$$

здесь  $E_{ext}$  — парциальное давление насыщенного водяного пара, Па, при температуре  $t_{ext}$  принимается по СП 50.13330.2012 прил. С;  $R_{xp}$  — сопротивление паропроницанию конструктивных слоев ограждения, расположенных между внутренней поверхностью ограждения и ее произвольной плоскостью x.

Строится линия распределения водяных паров в толще ограждения. Распределение парциального давления водяного пара в многослойной ограждающей конструкции может быть найдено графически, если рассматриваемую конструкцию изобразить масштабе сопротивлений В паропроницанию, как это делается при определении распределения температур в аналогичной многослойной конструкции при изображении ее в масштабе термического сопротивления.

Зная Е и е в каждом сечении рассматриваемой конструкции, можно построить кривую распределения относительной влажности воздуха  $\varphi$  в ограждении. А по кривым сорбции материалов, составляющих конструкцию, построить кривую распределения влажности по сечению рассматриваемой ограждающей конструкции.

Если внутри конструкции не происходит пересечения линий e (синий график) с E (красный график), то это указывает на отсутствие конденсации влаги внутри ограждающей конструкции, поскольку в любом ее сечении парциальное давление водяного пара ниже насыщенного.

При пересечении линий е с E в ограждающей конструкции возможна конденсация влаги. Зона возможной конденсации располагается между точками касания  $E_{int}$  и  $E_{ext}$  прямых, проведенных из точек e и  $e_{int}$ , расположенных на поверхностях конструкции, к линии E.

В помещениях с влажным или мокрым режимом следует предусматривать пароизоляцию теплоизолирующих уплотнителей сопряжений элементов ограждающих конструкций (мест примыкания заполнений проемов к стенам и т. п.) со стороны помещений; сопротивление паропроницанию в местах таких сопряжений проверяется из условия ограничения накопления влаги в сопряжениях за период с отрицательными средними месячными температурами наружного воздуха на основании расчета температурного и влажностного полей.

Для обеспечения нормируемого сопротивления паропроницанию  $R_{vpreq1}$  ограждающей конструкции следует определять сопротивление паропроницанию  $R_{vp}$  конструкции в пределах от внутренней поверхности до плоскости возможной конденсации.

Независимо от результатов расчета по формулам СП 50.13330.2012 нормируемые сопротивления паропроницанию  $R_{preq1}$  и  $R_{preq2}$  (в пределах от внутренней поверхности до плоскости возможной конденсации) во всех случаях должны приниматься не более 5 м $^2$ ·ч·Па/мг.

#### Условие задачи

Выполнить температур (наружной расчет В толще ограждения многослойной стены) и построить график ее распределения для жилого здания по индивидуальному заданию. Проверить соответствие конструкции санитарногигиеническим требованиям. Проверить конструкцию на возможность выпадения конденсата на поверхности и внутри конструкции. Сделать выводы. Дано: Район строительства- Кострома. Зона влажности – нормальная. Влажностный режим жилых помещений – нормальный. Условия эксплуатации ограждающих конструкций – Б. Относительная влажность внутреннего воздуха для жилых помещений -  $\varphi = 55\%$ , Относительная влажность наружного воздуха  $- \phi = 85\%$ . Расчетная температура внутреннего воздуха - t = 20° C. Расчетная температура наружного воздуха -  $t = -11.8^{\circ}$  С. Нормируемый температурный перепад -  $\Delta t = 4^{\circ}$  С. Коэффициент, учитывающий зависимость положения наружной поверхности ограждающих конструкций по отношению к наружному

воздуху - n = 1. Коэффициент теплоотдачи внутренней поверхности ограждающих конструкций -  $\alpha$ =8,7 Вт/(м° С). Коэффициент теплоотдачи (для зимних условий) наружной поверхности ограждающих конструкций -  $\alpha$ = 23 Вт/(м×°С).Схема показана на рис. 3.12.

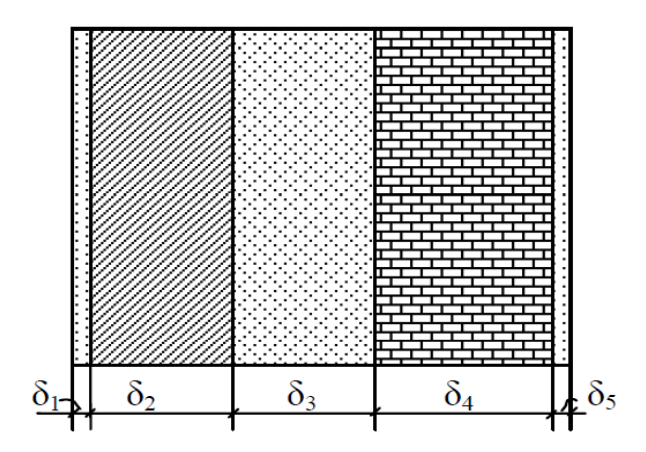


Рис. 3.12. Многослойная стена жилого здания.

# Варианты ответов

Ответ дан в следующей последовательности: сопротивление теплопередаче ограждающей конструкции  $R_o$ , (м²  $^0$  С); сопротивление паропроницанию стены  $R_{vp}$ , (м²  $^*$  ч  $^*$  Па)мг.

- A) 3638; 133;
- Б) 36,38;0,0133;
- (!) B) 3,638;0,00133;
- Γ) 363,8;0,133;
- Д) 0,37;0,002;

Полное решение задачи

Данные сведены в таблицу 3.31.

Таблица 3.31

## Многослойная стена жилого здания

№ п/п	Наименование слоя конструкции (материал)	Плот- ность материала $\rho_0$ , кг/м <sup>3</sup>	Коэффици- ент тепло- проводнос- ти λ, Вт/(м° С)	Коэф- фициент паропро- ницания µ, мг/ (м·ч·Па)	Толщи- на слоя δ, мм
1	Гипсовая штукатурка	1000	0,35	0,11	$\delta_1 = 5$
2	Железобетон	2500	2,04	0,03	$\delta_{2} = 100$
3	Утеплитель Styrofoam1B	28	0,031	0,006	$\delta_3 = 100$
4	Кирпичная облицовка из сплошного глиняного обыкновенного кирпича	1800	0,81	0,11	$\delta_4 = 120$
5	Штукатурка из поризо- ванного гипсоперлитового раствора	500	0,19	0,43	$\delta_5 = 8$

# Порядок расчета:

1) Сопротивление теплопередаче ограждающей конструкции определяется по формуле 7.2:

$$R_o = \frac{1}{8.7} + \frac{0.005}{0.35} + \frac{0.1}{2.04} + \frac{0.1}{0.031} + \frac{0.12}{0.81} + \frac{0.008}{0.19} + \frac{1}{23} = 3,638 \text{ (M}^2 \text{ C)}/Bm$$

2) Температуры на поверхности каждого слоя определяются:

-температура на внутренней поверхности ограждения:

$$\tau_1 = 20 - \frac{20 + 11.8}{3.638} * \frac{1}{8.7} = 19.0$$
 ° C

-температура на внутренней поверхности 2-о слоя:

$$\tau_2 = 20 - \frac{20 + 11.8}{3.638} * (\frac{1}{8.7} + \frac{0.005}{0.35}) = 18.87$$
 ° C

-температура на внутренней поверхности 3-о слоя:

$$\tau_3 = 20 - \frac{20 + 11.8}{3.638} * \left(\frac{1}{8.7} + \frac{0.005}{0.35} + \frac{0.1}{2.04}\right) = 18.44^{-0} \text{ C}$$

-температура на внутренней поверхности 4-о слоя:

$$\tau_4 = 20 - \frac{20 + 11.8}{3,638} * \left(\frac{1}{8.7} + \frac{0.005}{0.35} + \frac{0.1}{2.04} + \frac{0.1}{0.031}\right) = -9.76$$
 °C

-температура на внутренней поверхности 5-о слоя:

$$\tau_5 = 20 - \frac{20 + 11.8}{3,638} * \left( \frac{1}{8.7} + \frac{0.005}{0.35} + \frac{0.1}{2.04} + \frac{0.1}{0.031} + \frac{0.12}{0.81} \right) = = -11.05^{0} \text{ C}$$

-температура на наружной поверхности ограждения:

$$\tau_6 = 20 - \frac{20 + 11.8}{3,638} * \left( \frac{1}{8.7} + \frac{0,005}{0.35} + \frac{0.1}{2,04} + \frac{0.1}{0,031} + \frac{0.12}{0.81} + \frac{0,008}{0.19} \right)$$

$$= -11.42 \ ^{0} \ C$$

3) Для наглядности расчета построим график распределения температур на поверхности и в толще ограждения (стены) в масштабе изменения температур его слоев (рис. 3.13).

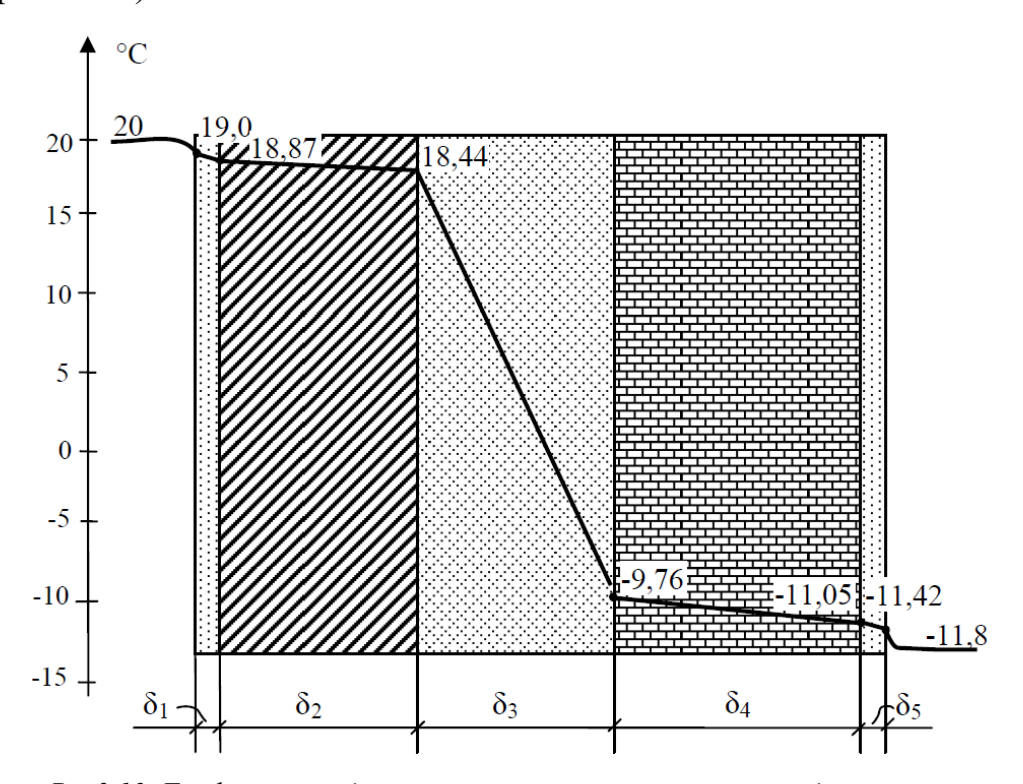


Рис 3.13. График распределения температур в толще ограждения.

4) Определим температурный перепад: 
$$\Delta t_0 = \frac{1*(20+31)}{3,638*8,7} = 1,61$$
 °C

 $\Delta t_0 < \Delta t_n$  , следовательно, конструкция удовлетворяет санитарногигиеническим нормам.

5) Для проверки конструкции на наличие зоны конденсации внутри стены определяем сопротивление паропроницанию стены:

$$R_{vp} = 0.00266 + \frac{0.005}{0.11} + \frac{0.1}{0.03} + \frac{0.1}{0.006} + \frac{0.12}{0.11} + \frac{0.008}{0.43} + 0.00133$$
  
= 21,159 (M<sup>2</sup> \* Y \* \Pia)MF

6) Определяем парциальное давление водяного пара внутри и снаружи стены в условиях насыщения и строим график распределения максимального

парциального давления водяного пара (Е – красный график рис. 3.14). Для этого устанавливаем значения парциального давления для каждого слоя конструкции согласно графику распределения температур (см. табл. 3.32).

Таблица 3.32.

$t_{int}$	$\tau_{_1}$	$\tau_{_2}$	$\tau_{_3}$	$\tau_{_4}$	$\tau_{_{5}}$	$\tau_{_6}$	t <sub>ext</sub>
20	19,0	18,87	18,44	-9,76	-11,05	-11,42	-11,8
$E_{int}$	$E_1$	$E_2$	$E_3$	$E_4$	$E_5$	$E_6$	E <sub>ext</sub>
2338	2197	2179	2121	265	237	229	221

7) Определяем действительное парциальное давление водяного пара внутри и снаружи стены и строим график распределения действительного парциального давления водяного пара (е – синий график рис. 3.14).

Для этого устанавливаем значения парциального давления снаружи конструкции:

$$e_{int} = 55 * rac{2338}{100} = 1286 \, \Pi a$$
  $e_{ext} = 85 * rac{221}{100} = 188 \, \Pi a$ 

Рассчитаем действительное парциальное давление  $e_i$  на границах слоев, нумеруя от внутренней поверхности к наружной:

-давление на внутренней поверхности ограждения:

$$e_1 = 1286 \, \Pi a$$

- давление на внутренней поверхности 2-о слоя:

$$e_2 = 1286 - 1286 - \frac{188}{21,159} * (0,00266 + \frac{0,005}{0,11}) = 1283 \, \Pi a$$

- давление на внутренней поверхности 3-о слоя:

$$e_3 = 1286 - 1286 - \frac{188}{21,159} * (0,00266 + \frac{0,005}{0,11} + \frac{0,1}{0,03}) = 1111 \, \Pi a$$

- давление на внутренней поверхности 4-о слоя:

$$e_4 = 1286 - 1286 - \frac{188}{21159} * (0.00266 + \frac{0.005}{0.11} + \frac{0.1}{0.03} + \frac{0.1}{0.006}) = 246 \, \Pi a$$

- давление на внутренней поверхности 5-о слоя:

$$e_5 = 1286 - 1286 - \frac{188}{21,159} * (0,00266 + \frac{0,005}{0,11} + \frac{0,1}{0,03} + \frac{0,1}{0,006} + \frac{0,12}{0,11}) = 190 \,\Pi a$$

- давление на внешней поверхности ограждения:

$$e_6 = 1286 - 1286 - \frac{188}{21,159} * (0,00266 + \frac{0,005}{0,11} + \frac{0,1}{0,03} + \frac{0,1}{0,006} + \frac{0,12}{0,11} + \frac{0,008}{0,43}) = 189$$

$$\Pi a$$

При сравнении величин максимального парциального давления  $E_i$  водяного пара и величин действительного парциального давления  $e_i$  водяного пара на соответствующих границах слоев видим, что все величины  $e_i$  ниже величин  $E_i$ , что указывает на отсутствие возможности конденсации водяного пара в ограждающей конструкции.

Для наглядности расчета построим график распределения максимального парциального давления Еі водяного пара и график изменения действительного парциального давления еі водяного пара по толще стены в масштабе сопротивлений паропроницанию его слоев (рис. 3.14). Очевидно, что эти кривые не пересекаются, что также доказывает невозможность образования конденсата в ограждении.

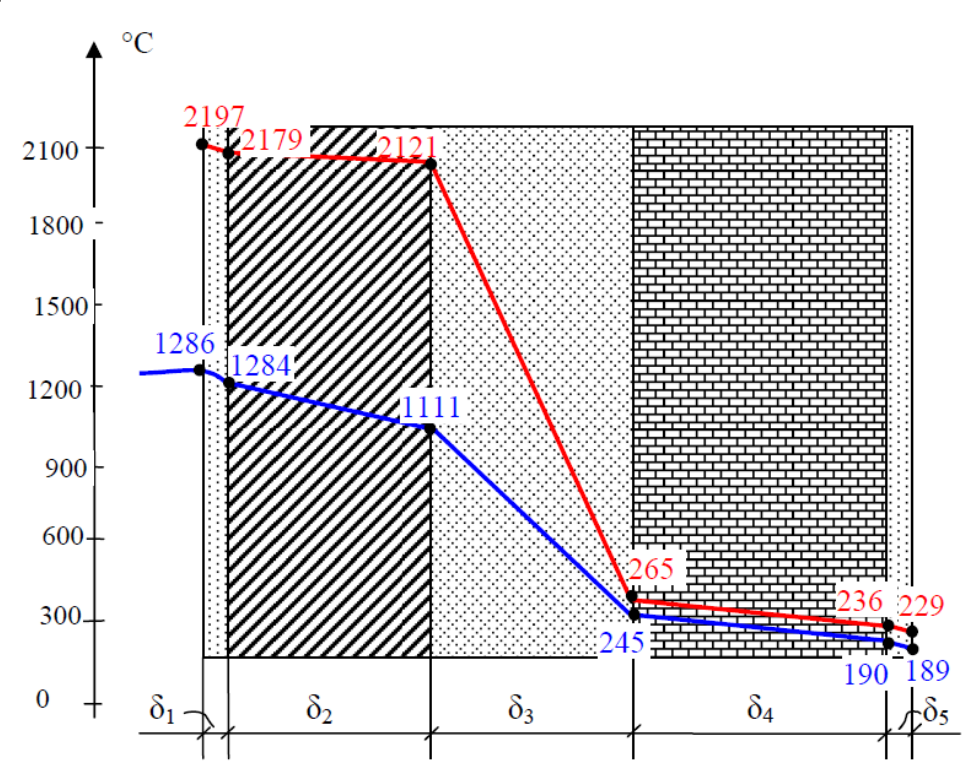


Рис. 3.14. Графики распределения действительного и максимального парциального давления водяного пара в толще ограждения

Задание для самостоятельного решения

Исходные данные смотреть в практических занятиях № 3 и № 4.. и в приложении 1.

# 3.8. ПРАКТИЧЕСКОЕ ЗАНЯТИЕ № 7: Определение воздухопроницаемости конструкций. Расчет сопротивления воздухопроницанию наружных ограждающих конструкций.

Методические указания к решению задач

При выполнении практической работы необходимо выполнить следующее:

- определить сопротивление воздухопроницанию ограждающей конструкции в соответствии с индивидуальным заданием.

Сопротивление воздухопроницанию ограждающей конструкции, за исключением заполнений световых проемов (окон, балконных дверей и фонарей), зданий и сооружений должно быть не менее нормируемого сопротивления воздухопроницанию.

Нормируемая поперечная воздухопроницаемость (G<sub>н</sub>) должна соответствовать значениям, указанным в табл. 9 СП 50.13330.2012:

- жилых, общественных и бытовых зданий — 0,5 кг/(м²·ч); - производственных зданий и помещений — 1,0 кг/(м²·ч). Воздухопроницаемость конструкции зависит от показателей сопротивления воздухопроницанию материалов этой конструкции. Нормируемое сопротивление воздухопроницанию  $R_{\mu}^{\text{тр}}$ , м²·ч·Па/кг, определяется по формуле 3.33:

$$R_{\rm u}^{\rm Tp} = \frac{\Delta p}{G_{\rm H}}.$$
 (3.33)

где  $\Delta p$  — разность давлений воздуха на наружной и внутренней поверхностях ограждающих конструкций, Па, определяется по формуле 3.34:

$$a\Delta p = 0.55 \cdot H \cdot (\gamma_{H} - \gamma_{B}) + 0.03 \cdot \gamma_{H} \cdot v^{2},$$
 (3.34)

где H – высота здания (от уровня пола первого этажа до верха вытяжной шахты), м; v – максимальная из средних скоростей ветра по румбам за январь, повторяемость которых составляет 16% и более, принимаемая по СП130.13330.2018;  $\gamma_{\rm H}$ ,  $\gamma_{\rm B}$  - удельный вес соответственно наружного и внутреннего воздуха,  $H/{\rm M}^3$ , определяемый по формуле 3.35:

$$\rho_{\rm H} = \frac{353}{273 + t_{\rm H(B)}},\tag{3.35}$$

Фактические показатели сопротивления воздухопроницанию определяются как сумма значений сопротивления воздухопроницанию отдельных слоев ограждающей конструкции по формуле 3.36:

$$R_u=R_{u1}+R_{u2}+\cdots+R_{un}$$
, (3.36) где  $R_u=R_{u1}+R_{u2}+\cdots+R_{un}$  - сопротивления воздухопроницанию отдельных слоев ограждающей конструкции, м²·ч·Па/кг. Значения показателей принимаются по СП 50.13330.2012.

Условие задачи

Определить сопротивление воздухопроницанию ограждающей конструкции в соответствии с индивидуальным заданием. Давлений воздуха на наружной и внутренней поверхностях ограждающих конструкций жилого дома соответствует значению  $\Delta p = 89,23~\Pi a$ . Исходные данные см. таюл. 3.33.

 Таблица 3.33

 Сопротивление воздухопроницанию слоев ограждающей конструкции

M	справо	рмативные, очные данные, рта продукции	Показатели для объекта		
Материалы конструкции	Тол- щина слоя, м Сопротивление воздухопрони- цанию, м²·ч·Па/кг		Тол- щина слоя, м	Сопротивление воздухопроницанию (Ru), м²·ч·Па/кг	
Гипсовая штукатурка	0,01	20	0,02	40	
Блок андезитоба- зальтовый	0,4	13	0,19	6,18	
Монолитный железобетон	0,1	20000	0,2	40000	
Плита минераловатная «Изовер- ВентФасад-Низ»	0,05	2	0,12	4,8	
Плита минералованая «Роквул- ВентиБаттс»	0,05	2	0,05	2	

### Варианты ответов

Дайте ответ в виде неравенств выполнения условия  $R_u \ge R_u^{\text{тр}}$ .

- (!) A)53>178,5;40047>178,5.
- Б) 53>178,5;40047>178,5.
- B) 53>178,5;40047>178,5.

 $\Gamma$ ) 53=178,5;40047>178,5.

Д) 53>1785;40047>1785.

Указание (подсказка)

В рассматриваемом примере ограждающая конструкция образована двумя видами материалов: андезитобазальтовым блоком и монолитным железобетоном. Значения сопротивления воздухопроницанию у них разные, поэтому контроль параметров поперечной воздухопроницаемости на соответствие нормируемым значениям следует выполнять раздельно для двух участков фасада.

Полное решение задачи

Назность давлений воздуха на наружной и внутренней поверхностях ограждающих конструкций жилого дома соответствует значению  $\Delta p = 89,23~\Pi a$ .

Нормируемое сопротивление воздухопроницанию:

$$R_{II}^{TP} = 89,23:0,5 = 178,5 \text{ M}^2 \cdot \text{H} \cdot \Pi \text{a/kg}.$$

Фактические значения сопротивления воздухопроницанию слоев ограждающей конструкции рассматриваемого объекта представлены в таб.7.1.

В рассматриваемом примере ограждающая конструкция образована двумя видами материалов: андезитобазальтовым блоком и монолитным железобетоном. Значения сопротивления воздухопроницанию у них разные, поэтому контроль параметров поперечной воздухопроницаемости на соответствие нормируемым значениям следует выполнять раздельно для двух участков фасада.

Сопротивление воздухопроницанию фрагментов ограждающей конструкции, образованных андезитобазальтовым блоком:

$$R_u = 40 + 6.18 + 4.8 + 2 = 53 \text{ M}^2 \cdot \text{q} \cdot \Pi \text{a/kg}.$$

Сопротивление воздухопроницанию железобетонных фрагментов ограждающей конструкции:

$$R_u = 40 + 40000 + 4.8 + 2 = 40047 \text{ M}^2 \cdot \text{H} \cdot \Pi \text{a/kg}.$$

Сопротивление воздухопроницанию ограждающей конструкции должно быть не менее нормируемого сопротивления воздухопроницанию, т. е. должно выполняться условие  $R_u \geq R_u^{\rm Tp}$ . На участках фасада, образованных андезитобазальтовым блоком, данное условие не выполняется. Таким образом, ограждающая конструкция жилого дома не соответствует требованиям СП 50.13330.2012.

*Задание для самостоятельного решения* Смотрите исходные данные в практических занятиях № 3 и № 4.

#### РАЗДЕЛ 4. Эксплуатация ограждающих конструкций

# 4.1. ПРАКТИЧЕСКОЕ ЗАНЯТИЕ № 7: Анализ соответствия ограждающей конструкции требованиям безопасности и энергоэффективности. Расчет сопротивления теплопередаче ограждающих конструкций здания.

Методические указания к решению задач

При выполнении практической работы необходимо выполнить следующие расчеты:

- -определить конструктив несущей стены;
- рассчитать сопротивления теплопередаче ограждающих конструкций здания.

Расчет приведенного сопротивления теплопередаче теплозащитной оболочки здания (по приложению Е СП 50.13330) включает несколько расчетов показателей и выглядит следующим образом:

1. Приведенное сопротивление теплопередаче фрагмента теплозащитной оболочки здания,  $R_0^{\text{пр}}$ , (м<sup>2.°</sup>С)/Вт, определяется по формуле:

$$R_o^{np} = 1/(1/R_o^{yea} + \sum l_j \psi_j + \sum n_k \chi_k) = 1/(\sum a_i U_i + \sum l_j \psi_j + \sum n_k \chi_k)$$
(4.1)

где  $R_0^{\text{усл}}$  усредненное по площади условное сопротивление теплопередаче фрагмента теплозащитной оболочки здания, (м².°С)/Вт;  $l_j$  — протяженность линейной неоднородности j-го вида, приходящаяся на 1 м² фрагмента теплозащитной оболочки здания, м/м²;  $\psi_j$  — удельные потери теплоты через линейную неоднородность j-го вида, Вт/(м·°С);  $n_k$  — количество точечных неоднородностей k-го вида, приходящихся на 1 м² фрагмента теплозащитной оболочки здания, шт/м²;  $\chi_k$  — удельные потери теплоты через точечную неоднородность k-го вида, Вт/°С;  $a_i$ — площадь плоского элемента конструкции i-го вида, приходящаяся на 1 м² фрагмента теплозащитной оболочки здания,  $m^2/m^2$ :.

$$a_i = A_i / \sum A_i; \tag{4.2}$$

где  $U_i$  — коэффициент теплопередачи однородной i-й части фрагмента теплозащитной оболочки здания (удельные потери теплоты через плоский элемент i-го вида),  $\text{Вт/(м}^{3.\circ}\text{C}$ :

$$U_i = 1/R_0^{ycn}$$
. (4.3)

2. Расчет удельной теплозащитной характеристики здания (по приложению Ж СП 50.13330):

Удельная теплозащитная характеристика здания,  $k_{ob}$ ,  $Bt/(m^3.°C)$ , рассчитывается по формуле:

$$k_{o\delta} = (1/V_{om}) \sum (n_{t,i} A_{\phi,i} / R_{o,i}^{np}) = K_{\kappa o m n} K_{o \delta u i},$$
 (4.4)

где  $R_{o,i}^{np}$  — приведенное сопротивление теплопередаче i -го фрагмента теплозащитной оболочки здания, (м².°С)/Вт;  $A_{\phi,i}$  — площадь соответствующего фрагмента теплозащитной оболочки здания, м²;  $V_{om}$  — отапливаемый объем здания, м³;  $n_{t,i}$  — коэффициент, учитывающий отличие внутренней температуры в помещении от принятой в расчете ГСОП; определяется по формуле (5.3) СП 50.13330;  $K_{oбщ}$  — общий коэффициент теплопередачи здания,  $Bt/(M^2.°C)$ , определяемый по формуле:

$$K_{o \delta u \mu} = (1 / A_{\mu}^{cym}) \sum_{i} (n_{i,i} A_{\phi,i} / R_{o,i}^{np}),$$
 (4.5)

где  $K_{\kappa o m n}$  — коэффициент компактности здания, м $^{-1}$  , определяемый по формуле:

$$K_{\text{\tiny KOMII}} = A_{\mu}^{\text{\tiny CYM}} / V_{\text{\tiny OT}}, \tag{4.6}$$

где  $A_{_{\! H}}^{_{\! C\!Y\!M}}$  — сумма площадей (по внутреннему обмеру) всех наружных ограждений теплозащитной оболочки здания, м $^2$ .

Совокупность фрагментов теплозащитной оболочки здания должна полностью замыкать оболочку отапливаемой части здания.

Теплоустойчивость ограждающих конструкций в теплый период года и помещений здания в холодный период года.

Требования по теплоустойчивости ограждающих строительных конструкций в теплый период года и помещений здания или сооружения в холодный период года отражены в ст. 29, ч. 1 федерального закона № 384-ФЗ. Данные требования предъявляются к микроклимату помещений и являются наряду с другими обязательными требованиями нормами прямого действия.

Методика расчета теплоустойчивости ограждающих конструкций описана в разделе 6 действующей редакции СП 50.13330. Обязательные требования по теплоустойчивости согласно постановлению Правительства РФ № 1521 ограничиваются необходимостью применения солнцезащитных устройств в условиях жаркого климата. В СП 50.13330 приведены нормируемые значения коэффициента теплопропускания солнцезащитных устройств зданий различного функционального назначения (табл. 8, СП 50.13330), однако методики расчета теплопропускания солнцезащитных устройств нет.

Условие задачи

Рассчитайте сопротивления теплопередаче ограждающей конструкции здания. Определите коэффициент неоднородности конструкции. Район строительства – Санкт-Петербург.

Назначение здания – жилое.

Расчетная температура: внутреннего воздуха  $T_{\mbox{\tiny B}}=20$  °C; наружного воздуха  $T_{\mbox{\tiny H}}=-26$  °C.

Зона влажности – влажная.

Влажностный режим помещений здания – нормальный.

Условия эксплуатации ограждающих конструкций – «Б».

Теплотехнические характеристики материалов, применяемых в составе стенового ограждения:

- цементно-песчаный раствор  $\gamma_o = 1~800~\text{кг/м}^3$ ,  $\lambda_b = 0.93~\text{Bt/(м•°C)}$ ;
- кирпичная кладка из обыкновенного глиняного кирпича на цементнопесчаном растворе  $\gamma_o = 1~800~\text{kr/m}^3, \lambda_b = 0.80~\text{Br/(m} \cdot ^\circ \text{C});$

— кладка из стеновых неармированных блоков из автоклавного газобетона плотностью  $\gamma_o = 400~\text{кг/m}^3, \, \lambda_B = 0.14~\text{Bt/(M}^{\circ}\text{C}).$ 

Граничные условия:

Расчетный коэффициент теплоотдачи:

- внутренней поверхности стены  $α_{int}$  = 8,7 Bт/(м<sup>2</sup>•°C);
- оконных блоков  $\alpha_{int}$  = 8 Bт/(м<sup>2</sup>•°C);
- − наружной поверхности стен, окон  $\alpha_{\text{ext}} = 23 \text{ BT/(м}^2 \cdot ^{\circ}\text{C})$ .

Конструктивное решение стены, состоящее из двух слоев (рис. 1.1):— внутреннего ненесущего слоя, выполненного кладкой из газобетонных блоков толщиной 300–400 мм в зависимости от региона строительства и его климатических параметров;— наружного облицовочного слоя из лицевого кирпича толщиной в один или два кирпича.

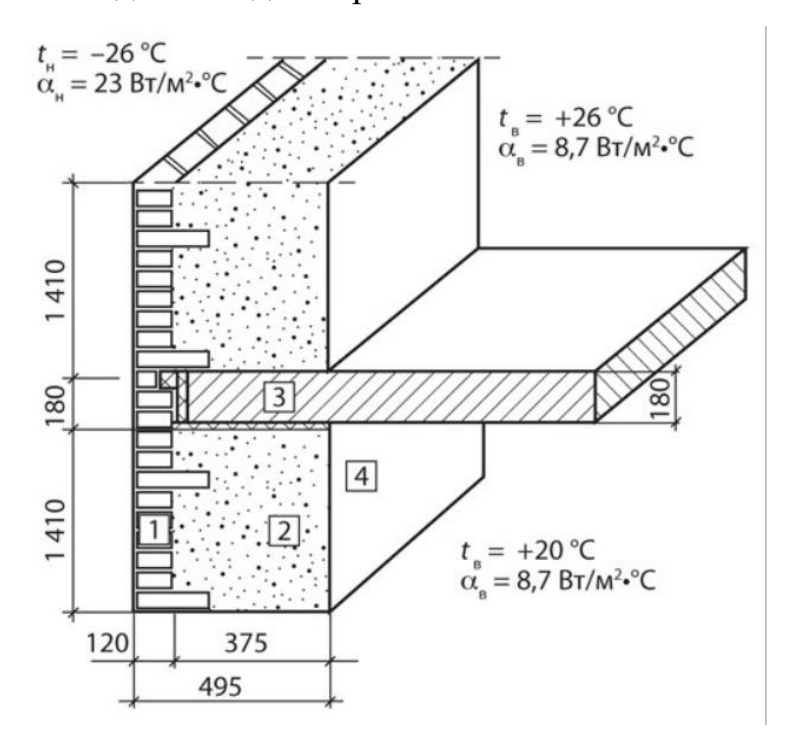


Рис. 4.1 Конструктивное решение наружной двухслойной стены:

#### Варианты ответов

Напишите значение коэффициента теплотехнической однородности г.

- (!) A)0,61
- Б) 6,1
- B) 2,99

### Д) 1

Полное решение задачи

Решение показано на рис. 4.2

РАСЧЕТНЫЕ ФОРМУЛЫ					
Формула	Результат				
$R_o^r = \frac{\sum_{(i)} A_i}{\sum_{(i)} (A_i / R_{0,i}^r)}$	1,81				
$R_0 = R_{si} + R_{k} + R_{se} = R_{si} + \sum_{i=1}^{n} \delta_i / \lambda_i + R_{se}$	2,99				
$r = R_0^r / R_0$	0,61				

Особенности конструктивного решения участка стены	Приведенное сопротивление теплопередаче $R_{oi}^{r}$ , $M^{2} \cdot {}^{\circ}C/BT$	Площадь А <sub>1</sub> , м <sup>2</sup>	
Глухой участок стены (без проемов)	2,09	61,20	
Глухой участок стены с колонной (без проемов)	1,73	94,68	
Участок стены с оконными проемами (при утеплении откосов)	1,76	82,12	
Участок стены с балконными дверями (с учетом остекления лоджии)	1,77	40,90	

Рис. 4.2. Результаты расчета (вариант оформления)

Приведенное сопротивление теплопередаче  $R^{r}_{0}$  двухслойной стеновой конструкции, состоящей из внутреннего самонесущего слоя из газобетонных стеновых неармированных блоков марки по плотности D400 и наружного облицовочного слоя из лицевого керамического кирпича толщиной 120 мм, вычисленное на основе расчета температурных полей для типового

промежуточного этажа многоквартирного жилого здания, составляет  $1.81~{\rm M}^2 {\ }^{\circ}{\rm C/Bt}.$ 

Конструкция рассмотренного стенового ограждения (рис. 4.1) не удовлетворяет нормативным требованиям по тепловой защите ( $R_{\text{req}} = 3.08 \text{ m}^2 \cdot ^{\circ}\text{C/Bt}$ ).

Конструкция стенового ограждения (рис. 4.1) не удовлетворяет минимально допустимым требованиям по тепловой защите ( $R_{\min} = 1,94 \text{ м}^2 \cdot ^{\circ}\text{C/Bt}$ ).

Коэффициент теплотехнической однородности r конструкции наружной стены, выполненной кладкой из газобетонных блоков марки по плотности D400 с облицовочным слоем из лицевого кирпича, не превышает 0,61.

Фактическое значение коэффициента теплотехнической однородности рассматриваемого конструктивного решения, с учетом качества доставленных на объект изделий и качества их монтажа, может оказаться существенно меньшим по сравнению с расчетным значением.

Для обеспечения нормативных требований к уровню тепловой защиты наружных стен зданий в составе стенового ограждения (рис. 4.1) следует либо увеличивать толщину газобетонных блоков в составе двухслойной стеновой конструкции, либо использовать промежуточный слой из теплоизоляционных материалов с расчетной теплопроводностью не более 0,05 Вт/м•°С. Слой теплоизоляции следует располагать между газобетонным и лицевым (облицовочным) слоями.

Во всех случаях для эффективного удаления влаги из состава стенового ограждения между слоем теплоизоляции и лицевым кирпичом следует предусматривать вентилируемый зазор, эффективное сечение которого (толщина) должно определяться расчетом.

Задание для самостоятельного решения

Вариант для таблицы 4.2 в Приложении 2 определяются по таблице 4.1: I — предпоследняя цифра, II — последняя цифра номера зачетки.

/II	1	2	3	4	5	6	7	8	9	0
I										
1	1	2	3	4	5	6	7	8	9	10
2	11	12	13	14	15	16	17	18	19	20
3	21	22	23	24	25	26	27	28	29	30
4	1	2	3	4	5	6	7	8	9	10
5	11	12	13	14	15	16	17	18	19	20
6	21	22	23	24	25	26	27	28	29	30
7	1	2	3	4	5	6	7	8	9	10
8	11	12	13	14	15	16	17	18	19	20
9	21	22	23	24	25	26	27	28	29	30
0	1	2	3	4	5	6	7	8	9	10

Таблица 4.2.

Bap.	Город	Несущая конструкция								
1	Архангельск	-стена: керамзитобетон на керамзитовом песке 1800кг/м3 -390 мм -утеплитель: Плита из пенополистирола, 12кг/м3 -штукатурный слой — 10мм -перекрытие- жб 300 мм								
2	Астрахань	-стена: Керамзитобетон на керамзитовом песке 1400кг/м3 -390мм -утеплитель: Плиты из стеклянного штапельного волокна 15кг/м3 -штукатурный слой — 10мм -перекрытие- жб пустотные 220 мм								
3	Барнаул	-стена: керамзитобетон на керамзитовом песке 1800кг/м3 -390 мм -утеплитель: Плита из пенополистирола, 12кг/м3 -штукатурный слой — 10мм -перекрытие- жб 300 мм								
4	Брянск	-стена: Керамзитобетон на керамзитовом песке 1400кг/м3 -390мм -утеплитель: Плиты из стеклянного штапельного волокна 15кг/м3 -штукатурный слой — 10мм -перекрытие- жб пустотные 220 мм								
5	Белгород	-стена: Керамзитобетон на керамзитовом песке 1200кг/м3 – 390 мм								

Bap.	Город	Несущая конструкция					
		-утеплитель: Плита из пенополистирола, 25кг/м3					
		-штукатурный слой – 10мм					
		-перекрытие- жб 300 мм					
		-стена: Перлитобетон 1200кг/м3 – 300 мм					
6	D============	-утеплитель: Экструдированный пенополистирол					
6	Владимир	-штукатурный слой — 10мм					
		-перекрытие- жб пустотные 220 мм					
		-стена: газо-пенобетон на цементном вяжущем 1200кг/м3					
		-200  mm					
7	Владивосток	-утеплитель: Пенополиуретан					
		-штукатурный слой – 10мм					
		-перекрытие- жб пустотные 220 мм					
		-стена: Кирпич глиняный обыкновенный на цемшлак. р-					
		ре -380 мм					
8	Родгоград	-утеплитель: Плиты из стеклянного штапельного волокна					
0	Волгоград	20кг/м3					
		-штукатурный слой – 10мм					
		-перекрытие- жб 300 мм					
		-стена: Сосна и ель поперек волокна 250мм					
	Воркута	-утеплитель: Листы гибсовые обшивные (сухая					
9	(Усть	штукатурка)1050 кг/м3					
	Воркута)	-штукатурный слой – 10мм					
		-перекрытие- деревянные 250 мм					
		-стена: Кирпич гладкий керамического пустотного,					
		1400кг/м3, на цемпес. p-pe – 510 мм					
10	Грозный	-утеплитель: Листы гибсовые обшивные (сухая					
10	т розный	штукатурка)1050 кг/м3					
		-штукатурный слой – 10мм					
		-перекрытие- жб 300 мм					
		-стена: Кирпич гладкий керамический пустот.,					
	Екатеринбур	1300кг/м3, на цемпес. p-ре -380 мм					
11	Γ	-утеплитель: Плита из пенополистирола, 30кг/м3					
	(Свердловск)	-штукатурный слой – 10мм					
		-перекрытие- жб пустотная 300 мм					
		-стена: кирпич гладкий керамический пустот., 1000кг/м3,					
		на цемпес. p-pe – 510 мм					
12	Иваново	-утеплитель: Плиты из стеклянного штапельного волокна					
		30кг/м3					
		-штукатурный слой – 10мм					
		-перекрытие- жб пустотная 300 мм					
		-стена: Кирпич силикатный 11-ипустотного на цемпес.					
13	Иркутск	p-pe - 380					
		-утеплитель: Плита из пенополистирола, 20кг/м3					

Bap.	Город	Несущая конструкция								
		-штукатурный слой – 10мм								
		-перекрытие- жб 300 мм								
14	Казань	-стена: газо-пенобетон на цементном вяжущем 1000кг/м3 – 200мм -утеплитель: Листы гибсовые обшивные (сухая штукатурка)800 кг/м3 -штукатурный слой – 10мм -перекрытие- жб 300 мм								
15	Кемерово	-стена: Кирпич глиняный обыкновенный на цем. p-pe — 510 мм -утеплитель: Плиты минераловатные из каменного волокна -штукатурный слой — 10мм -перекрытие- жб пустотная 300 мм								
16	Магадан (по бухте Нагаева)	-стена: керамзитобетон на керамзитовом песке 1800кг/м3 -390 мм -утеплитель: Плита из пенополистирола , 12кг/м3 -штукатурный слой — 10мм -перекрытие- жб 300 мм								
17	Якутск	-стена: Керамзитобетон на керамзитовом песке 1400кг/м3 -390мм -утеплитель: Плиты из стеклянного штапельного волокна 15кг/м3 -штукатурный слой — 10мм -перекрытие- жб пустотные 220 мм								
18	Мурманск	-стена: Керамзитобетон на керамзитовом песке $1200 \mathrm{kr/m3} - 390 \mathrm{\ mm}$ -утеплитель: Плита из пенополистирола , $25 \mathrm{kr/m3}$ -штукатурный слой — $10 \mathrm{\ mm}$ -перекрытие- жб $300 \mathrm{\ mm}$								
19	Н. Новгород (Горький)	-стена: Перлитобетон 1200кг/м3 — 300 мм -утеплитель: Экструдированный пенополистирол -штукатурный слой — 10мм -перекрытие- жб пустотные 220 мм								
20	Новосибирск	-стена: газо-пенобетон на цементном вяжущем 1200кг/м3 – 200 мм -утеплитель: Пенополиуретан -штукатурный слой – 10мм -перекрытие- жб пустотные 220 мм								
21	Омск	-стена: газо-пенобетон на цементном вяжущем 1000кг/м3 – 300 мм -утеплитель: Плиты фибролитовые на портландцементе -штукатурный слой – 10мм								

Bap.	Город	Несущая конструкция						
		-перекрытие- жб 300 мм						
		-стена: Кирпич глиняный обыкновенный на цем. p-pe – 510 мм						
22	Благовещинс	-утеплитель: Плиты минераловатные из каменного						
	К	волокна						
		-штукатурный слой — 10мм						
		-перекрытие- жб пустотные 220 мм -стена: Кирпич глиняный обыкновенный на цемшлак. р-						
		ре -380 мм						
		утеплитель: Плиты из стеклянного штапельного волокна						
23	Пермь	20кг/м3						
		-штукатурный слой – 10мм						
		-перекрытие- жб 300 мм						
		-стена: керамзитобетон на керамзитовом песке 1800кг/м3						
	Потрозовона	-390 мм						
24	Петрозаводс к	-утеплитель: Плита из пенополистирола, 12кг/м3						
	K	-штукатурный слой – 10мм						
		-перекрытие- жб 300 мм						
	Анадырь	-стена: Керамзитобетон на керамзитовом песке						
		1400кг/м3 -390мм						
25		-утеплитель: Плиты из стеклянного штапельного волокна 15кг/м3						
		-штукатурный слой — 10мм						
		-перекрытие- жб пустотные 220 мм						
		-стена: Керамзитобетон на керамзитовом песке						
	C	1200кг/м3 – 390 мм						
26	Петербург	-утеплитель: Плита из пенополистирола, 25кг/м3						
	(Ленинград)	-штукатурный слой – 10мм						
		-перекрытие- жб 300 мм						
		-стена: Перлитобетон 1200кг/м3 – 300 мм						
27	г.Южно-	-утеплитель: Экструдированный пенополистирол						
	Сахалинск	-штукатурный слой – 10мм						
		-перекрытие- жб пустотные 220 мм						
		-стена: Кирпич силикатный 11-ипустотного на цемпес.						
28	Смоленск	р-ре - 380						
20	CMOJICHER	-утеплитель: Плита из пенополистирола, 20кг/м3 -штукатурный слой – 10мм						
		-перекрытие- жб 300 мм						
		-стена: газо-пенобетон на цементном вяжущем 1000кг/м3						
		— 200мм						
29	Сочи	-утеплитель: Листы гибсовые обшивные (сухая						
		штукатурка)800 кг/м3						
		-штукатурный слой – 10мм						

Bap.	Город	Несущая конструкция							
		-перекрытие- жб 300 мм							
30	Сургут	-стена: Кирпич глиняный обыкновенный на цем. p-pe — 510 мм -утеплитель: Плиты минераловатные из каменного волокна -штукатурный слой — 10мм -перекрытие- жб пустотная 300 мм							

Дополнительно смотри данные в Приложении 2 к Разделу 2 «Эксплуатация ограждающих конструкций»

# **4.2. ПРАКТИЧЕСКОЕ ЗАНЯТИЕ № 2: Определение температурного** режима помещений. Способы определения температуры внутренних поверхностей стен в местах теплотехнических неоднородностей.

Методические указания к решению задач

При выполнении практической работы необходимо выполнить следующие расчеты:

- определите по СП 131.13330 климатические данные;
- рассчитать температуру внутренней поверхности стены.

Условия задания

Рассчитать температуру внутренней поверхности стены.

Расчет температуры внутренней поверхности стены

Температура внутренней поверхности ограждения  $\tau_{si}$ , 0С, должна быть выше точки росы  $t_d$ ,  $^0$ С.

Температуру внутренней поверхности,  $au_{si}$ , стен следует определять по формуле:

$$\tau_{si} = t_{int} - (n \cdot (t_{int} - t_{ext})) / (R_o^r \cdot \alpha_{int}), \qquad (4.7)$$

где  $t_{int}$  — температура внутреннего воздуха помещения,  $^{0}$ С; п- коэффициент, учитывающий зависимость положения наружной поверхности ограждающих конструкций по отношению к наружному воздуху и приведенный в СП 50.13330.2012;  $t_{ext}$  — температура наружного воздуха холодной пятидневки,  $^{0}$ С, по СП 131.13330.2017;  $R_{o}^{r}$  — сопротивление теплопередаче ограждающей конструкции, ( $M^{2.0}$ С)/Вт;  $\alpha_{int}$  — коэффициенты теплоотдачи внутренней поверхности ограждающей конструкции, Вт/( $M^{2.0}$ С), по таблице 4 СП 50.13330.2012.

Температура точки росы определяется по таблице 4.4 (в исходных данных).

Влажность воздуха в помещении определяется по таблице 1 СП 50.13330.2012. Условия эксплуатации ограждающей конструкции определяется по таблице 2 СП 50.13330.2012.

Температурный перепад, °C, между температурой внутренней поверхности ограждающей конструкции и температурой внутреннего воздуха нормируется таблицей 5 СП 50.13330.2012.

Расчётное значение перепада не должно превышает нормируемой величины.  $\Delta t_{\rm pac} < \Delta t^{\rm H},\,^{\circ}{\rm C},\,$  и определяется по формуле:

$$\Delta t_{\rm pac} = t_{int} - \tau_{si},\tag{4.8}$$

Условие задачи

Рассчитать температуру внутренней поверхности стены. Дано: Район: Москва,  $t_{int}=20$  °C, n=1,  $t_{ext}=-37$  °C,  $R_o^r=3,602$  (м²-°С)/Вт,  $\alpha_{int}=8,7$  Вт/(м²-°С),  $\varphi=54$  %.

Варианты ответов

Дайте ответ в виде неравенства:  $\Delta t_{\rm pac} < (>) \Delta t^{\scriptscriptstyle \rm H}$ .

- A)18,2>4
- (!) b) 1,82<4
- B) 182>4
- $\Gamma$ ) 4 >1,82
- Д) 1,82<40

Полное решение задачи

Пример решения

Дано:

Район: Москва

$$t_{int} = 20 \, ^{\circ}\text{C}, n=1$$

$$t_{ext} = -37$$
 °C

$$R_o^r = 3,602 \,(\text{m}^{2.0}\text{C})/\text{Bt}$$

$$\alpha_{int} = 8.7 \text{ BT/(M}^2 \cdot ^{\circ}\text{C})$$

Решение:

По формуле 2.1:
$$\tau_{si}=20-\frac{1\cdot\left(20-(-37)\right)}{3,602\cdot8,7}=18,18$$
 °C

Температура точки росы по табл. 2.1 равна:

 $t_p$ =10,7°C, она меньше  $\tau_{si}$ , значит образование конденсата на поверхности стены не будет.

Температурный перепад для стен равен  $\Delta t^{\rm H}=4^{\circ}{\rm C}$  Расчетное значение перепада  $\Delta t=20-18,8=1,82^{\circ}{\rm C}.$  Условие выполняется:  $\Delta t_{\rm pac}<\Delta t^{\rm H}.$ 

Задание для самостоятельного решения

Вариант для таблицы 4.4 в Приложении 2 определяются по таблице 4.3: I- предпоследняя цифра, II- последняя цифра номера зачетки.

Таблица 4.3

II	1	2	3	4	5	6	7	8	9	0
1										
1	1	2	3	4	5	6	7	8	9	10
2	11	12	13	14	15	16	17	18	19	20
3	21	22	23	24	25	26	27	28	29	30
4	1	2	3	4	5	6	7	8	9	10
5	11	12	13	14	15	16	17	18	19	20
6	21	22	23	24	25	26	27	28	29	30
7	1	2	3	4	5	6	7	8	9	10
8	11	12	13	14	15	16	17	18	19	20
9	21	22	23	24	25	26	27	28	29	30
0	1	2	3	4	5	6	7	8	9	10

Таблица 4.4

### Исходные данные по вариантам

Bap	Город	Bap	Город	Bap	Город	Bap	Город
1	Архангельс к	9	Воркута (Усть Воркута)	17	Якутск	25	Анадырь
2	Астрахань	10	Грозный	18	Мурманск	26	С Петербург (Ленинград
3	Барнаул	11	Екатеринбур г (Свердловск )	19	Н. Новгород (Горький)	27	Г.Южно- Сахалинс к
4	Брянск	12	Иваново	20	Новосибирск	28	Смоленск
5	Белгород	13	Иркутск	21	Омск	29	Сочи
6	Владимир	14	Казань	22	Благовещинс к	30	Сургут
7	Владивосто к	15	Кемерово	23	Пермь	31	

8	Волгоград	16	Магадан (по бухте Нагаева)	24	Петрозаводс к	32	
---	-----------	----	-------------------------------	----	------------------	----	--

 Таблица 4.5

 Определение точки росы в зависемости от температуры и влажности

воздуха

Темпера-Относительная влажность воздуха тура 30% 35% 40% 45% 50% 55% 60% 65% 70% 75% 80% 85% 90% 95% воздуха -10°C -23.2 -21.8 -20,4 -17.8 -16.7 -15.8 -10.6 -19.0 -14.9 -14.1 -13.3 -12,6-11,9 -10.0 -5°C -18,9-17.2-15,8-14,5 -13,3-11,9 -10,9 -10,2-9,3 -8,8 -8,1 -7.7 -6,5 -5,8 0°C -2,8 -14.5-12,8-11,3 -9,9 -8,7 -7,5 -6,2 -5,3 -4,4 -1,3 -0.7-3,5-2 +2°C -12.8-11,0 -9,5 -8,1 -6,8 -5,8 4.7 -3,6 -2,6 -1.7 -1 -0.2-0,6 +1.3 +4°C -4.0 -11.3-9.5 -7.9 -6.5 4,9 -3.0-1.9 -1.0 +0.0 +0.8 +1.6 +2,4 +3.2 +5°C -10.5-8,7 -7.3-5,7 4.3 -3,3 -2.2 -1,1 -0.1+0.7 +1.6 +2.5 +3,3 +4.1 +6°C -7,7 -4,5 -9.5 -6,0 -3,3 -2,3 -1,1 -0.1 +0,8 +1,8 +2,7 +3.6 +4.5 +5,3 +7°C -7,2 -5,5 -4,0 -1,5 +5,2 -9,0 -2,8 -0,5 +0,7 +1,6 +2,5 +3,4 +4,3 +6,1 +8°C -4,7 +0,3 +2,3 +7.1 -8,2 -6,3-3,3 -2,1-0,9 +1,3 +3,4 +4,5 +5,4 +6,2 +9°C -7,5 -5,5 -3,9-2,5 -1,2+0,0 +1,2 +2,4 +3,4 +4,5 +5,5 +6,4 +7,3 +8.2 +10°C -6.7 -5,2-3.2-1,7 -0.3+0.8 +2,2 +3.2 +4.4 +5,5 +6,4 +7,3 +8,2 +9.1 +11°C -6.0 4.0 -2.4 -0,9 +0.5 +1.8 +4.2 +5,3 +7,4 +8,3 +9,2 +10.1 +3.0 +6,3 +12°C -4.9 -3.3-1.6-0.1+1.6 +2.8 +4.1 +5.2 +6.3 +7.5 8.6 +9.5 +10.4 +11.7 +13°C -4.3 -2,5 -0.7+0,7 +2,2 +3,6 +5,2 +6.4 +7,5 +8,4 +9,5 +10,5 +11,5 +12,3 +14°C -3,7 -1,7 +8,2 -0.0+1,5 +3,0 +4.5 +5,8 +7.0 +9,3 +10.3 +11,2 +12,1 +13.1 +15°C -2,9 -1,0+0,8 +2,4 +4.0 +5,5 +6,7 +8,0 +9,2 +10,2 +11,2 +12,2 +13,1 +14,1 +16°C -2,1 -0.1+1,5 +3,2 +5.0 +6,3 +7,6 +9.0 +10,2 +11,3 +12.2 +13,2 +14.2 +15,1 +17°C -1.3+0.6 +2,5 +4,3 +5.9 +7.2 +8.8 +10.0 +11,2 +12.2 +13.5 +14.3 +15,2 16.6 +18°C -0,5 +1,5 +3.2 +5,3 +6.8 +8.2 +9,6 +11.0 +12,2 +13,2 +14.2 +15,3 +16,2 +17,1 +19°C +0,3 +2,2 +4,2 +6,0 +7,7 +9,2 +10,5 +11.7 +13,0 +14,2 +15,2 +16,3 +17,2 18,1 +20°C +1.0 +3,1 +5,2 +7,0 +8.7 +10.2 +11,5 +12,8 +14.0 +15,2 +16,2 +17,2 +18.1 +19.1 +21°C +4.0 +6,0 +7,9 +12,4 +13,5 +15,0 +16,2 +17.2 +18,1 +1,8 +9.5 +11,1 +19,1 +20,0 +22°C +2,5 +5,0 +21,0 +6,9 +8,8 +10,5 +11,9 +13,5 +14,8 +16,0 +17,0 +18,0 +19,0 +20,0 +23°C +3,5 +5.7 +7,8 +9,8 +11,5 +12,9 +14,3 +15,7 +16,9 +18,1 +19,1 +20,0 +21,0 +22,0 +24°C +12.3 +4.3 +6.7 +8.8 +10.8 +13.8 +15.3 +16.5 +17,8 +19,0 +20.1 +21,1 +22,0 +23.0 +25°C +5.2 +7.5 +9.7 +11.5 +13.1 +14.7 +16.2 +17.5 +18.8 +20.0 +21.1 +22.1 +23.0 +24.0 +26°C +6,0 +8.5 +10,6 +12,4 +14.2 +15,8 +17,2 +18,5 +19,8 +21,0 +22,2 +23.1 +24,1 +25,1 +27°C +20,7 +6,9 +9,5 +11,4 +13,3 +15,2 +16,5 +18,1 +19,5 +21,9 +23,1 +24.1 +25,0 +26.1 +28°C +7.7 +10,2 +12,2 +14,2 +16,0 +17.5 +19,0 +22,8 +24.0 +25.1 +26,1 +20.5 +21.7 +27.0 +29°C +8.7 +18,5 +19,9 +27,0 +28,0 +11,1 +13,1 +15,1 +16,8 +21,3 +22,5 +22,8 +25,0 +26,0 +30°C +9,5 +11,8 +13.9 +16,0 +17,7 +19,7 +21,3 +22,5 +23,8 +25,0 +26,1 +27,1 +28.1 +29,0 +32°C +11,2 +13,8 +16.0 +17,9 +19,7 +21,4 +22,8 +24,3 +25,6 +26,7 +28,0 +29,2 +30.2 +31.1 +34°C +12,5 +15,2 +17,2 +19,2 +21,4 +22,8 +24,2 +25.7 +27,0 +28,3 +29,4 +31,1 +31,9 +33.0 +36°C +23.2 +35.1 +14,6 +17,1 +19,4 +21,5 +25,0 +26,3 +28.0 +29,3 +30,7 +31,8 +32,8 +34.0 +38°C +16,3 +18,8 +21,3 +23,4 +25,1 +26,7 +28,3 +29,9 +31,2 +32,3 +33.5 +34.6 +35.7 +36.9 +40°C +34,3 +17,9 +20,6 +22,6 +25,0 +26,9 +28,7 +30,3 +33,0 +35,6 +36,8 +39,0 +31,7 +38,0

## **4.3. ПРАКТИЧЕСКОЕ ЗАНЯТИЕ № 3: Определение параметров** теплозащиты. Уровень теплозащиты ограждающих конструкций зданий.

#### Расчет удельных энергетических характеристик здания.

Методические указания к решению задач

При выполнении практической работы необходимо выполнить следующие расчеты:

- определить удельную характеристику расхода тепловой энергии на отопление и вентиляцию здания
- определить расход тепловой энергии на отопление и вентиляцию здания за отопительный период
- определить расчетную удельную характеристику расхода тепловой энергии на отопление и вентиляцию здания

#### Расчет удельных энергетических характеристик здания включает:

1. Расчет удельной характеристики расхода тепловой энергии на отопление и вентиляцию здания (по приложению Г СП 50.13330).

Расчетную удельную характеристику расхода тепловой энергии на отопление и вентиляцию здания,  $q^p_{om}$ ,  $Bm/(M^3 \cdot {}^{\circ}C)$ , определяют по формуле:

$$q_{om}^{p} = \left[k_{o\delta} + k_{gehm} - \left(k_{\delta bim} + k_{pab}\right) v\zeta\right] (1 - \xi) \beta_{h} \tag{4.9}$$

где  $k_{ob}$ - удельная теплозащитная характеристика здания,  $Bm / (M^3 \cdot {}^{\circ}C)$ , определяется по приложению Ж СП 50.13330;  $^k{}_{\textit{genm}}$ - удельная вентиляционная характеристика здания,  $Bm / (M^3 \cdot {}^{\circ}C)$ ;  $k_{\delta b i m}$  - удельная характеристика бытовых здания,  $Bm / (M^3 \cdot {}^{\circ}C)$ ;  $k_{pad}$  удельная тепловыделений характеристика теплопоступлений в здание от солнечной радиации,  $Bm/(M^3 \cdot {}^{\circ}C)$ ;  $\xi$  - коэффициент, учитывающий снижение теплопотребления жилых зданий при наличии поквартирного учета тепловой энергии на отопление;  $\beta_h$  коэффициент, учитывающий дополнительное теплопотребление системы отопления, связанное с дискретностью номинального теплового потока номенклатурного ряда приборов, дополнительными отопительных ИХ теплопотерями зарадиаторные участки ограждений, повышенной температурой воздуха в

угловых помещениях теплопотерями трубопроводов, проходящих через неотапливаемые помещения; для зданий с отапливаемыми подвалами  $\beta_h = 1,07$ ; V— коэффициент снижения теплопоступлений за счет тепловой инерции ограждающих конструкций; определяется по формуле:

$$V = 0.7 + 0.000025(\Gamma \text{CO}\Pi - 1000),$$
 (4.10)

где  $\zeta$  — коэффициент эффективности авторегулирования подачи теплоты в системах отопления; рекомендуемые значения в Приложении  $\Gamma$  СП 50.13330.

Удельную вентиляционную характеристику здания,  $k_{genm}$ ,  $Bm/(M^3 \cdot {}^{\circ}C)$ , определяют по СП 50.13330, формула 4.11:

$$k_{_{\theta e H m}} = 0,28 cn_{_{\theta}} \beta_{_{V}} \rho_{_{\theta}}^{\phantom{\theta} \theta e H m} \left(1 - k_{_{3} \phi}\right)$$

$$(4.11)$$

где C - удельная теплоемкость воздуха, равная 1 кДж/(кг ·°C) ;  $\beta_{\nu}$  - коэффициент снижения объема воздуха в здании, учитывающий наличие внутренних ограждающих конструкций; принимается равным  $\beta_{\nu}$ = 0,85;  $p_{_{_{\it B}}}^{_{\it Genum}}$ - средняя плотность приточного воздуха за отопительных период, кг/м³;

$$\rho_{_{6}}^{6ehm} = 353/\left[273 + t_{_{OM}}\right] \tag{3.12}$$

где  $n_{g}$ - средняя кратность воздухообмена здания за отопительный период, ч $^{-1}$ ; $^{k}$   $^{s}$   $^{g}$  - коэффициент эффективности рекуператора, для рассматриваемого здания равен нулю.

Средняя кратность воздухообмена здания за отопительный период,  $n_{e}$ ,  $\mathbf{q}^{1}$ , рассчитывается по суммарному воздухообмену за счет вентиляции и инфильтрации по СП 50.13330, формула 3.5:

$$n_{_{\it B}} = \left[ \left( L_{_{\it BeHm}} n_{_{\it BeHm}} \right) / 168 + \left( G_{_{\it UH}\phi} n_{_{\it UH}\phi} \right) / \left( 168 \rho_{_{\it B}}^{_{\it BeHm}} \right) \right] / \left( \beta_{_{\it V}} V_{_{\it OM}} \right)$$
 (4.13)

где  $L_{\it велит}$ — количество приточного воздуха в здание при неорганизованном притоке либо нормируемое при механической вентиляции, м $^3$ /ч, принимаемое по Приложению Г СП 50.13330;  $n_{\it велит}$  — число часов работы механической вентиляции в течение недели; 168 — число часов в неделе;  $G_{\it шиф}$ — количество инфильтрующегося воздуха, поступающего в помещения общественного здания через неплотности заполнений проемов, полагая, что все они находятся на наветренной стороне, определяется по СП 50.13330 формула 4.14:

$$G_{uh\phi} = \left( A_{o\kappa} / R_{u, o\kappa}^{mp} \right) \left( \Delta p_{o\kappa} / 10 \right)^{2/3} + \left( A_{\partial \theta} / R_{u, \partial \theta}^{mp} \right) \left( \Delta p_{\partial \theta} / 10 \right)^{1/2}$$
 (4.14)

где  ${}^{A}_{o\kappa}$  и  ${}^{A}_{\partial b}$  — соответственно суммарная площадь окон, витражей и входных наружных дверей,  ${}^{M^{2}}_{u,o\kappa}$  и  ${}^{R}_{u,o\kappa}^{mp}$  и входных наружных дверей,  $({}^{M^{2}}_{u,o\kappa})^{R}$  ;  ${}^{R}_{u,o\kappa}^{mp}$  и входных наружных дверей,  $({}^{M^{2}}_{u,o\kappa})^{R}$  ;  ${}^{A}_{o\kappa}$  и  ${}^{A}_{o\kappa}$  и  ${}^{A}_{o\kappa}$  соответственно расчетная разность давлений наружного и внутреннего воздуха, Па, для окон, витражей и входных наружных дверей;  ${}^{n}_{un\phi}$  число часов учета инфильтрации в течение недели, равное  ${}^{1}_{0\kappa}$  —  ${}^{6}_{0\kappa}$  и в помещениях которых поддерживается подпор воздуха во время действия приточной механической вентиляции;  ${}^{V}_{om}$  — отапливаемый объем здания, равный объему, ограниченному внутренними поверхностями наружных ограждений здания,  ${}^{3}_{om}$ .

Удельная характеристика бытовых тепловыделений здания,  $k_{\textit{быт}}$ ,  $\text{Вт/(м}^3 \cdot {}^{\circ}\textit{C})$  определяется по СП 50.13330, формула 4.15:

$$k_{\delta blm} = (q_{\delta blm} A_p) / V_{om} (t_{\theta} - t_{om})$$

$$(4.15)$$

где  $q_{\it быт}$ , Вт/м², — величина бытовых тепловыделений на 1 м² расчетной площади общественного здания( ),  $A_p$  принимаемая по приложению  $\Gamma$  СП 50.13330;  $A_p$ — расчетная площадь общественного здания, м².

Удельная характеристика теплопоступлений в здание от солнечной радиации,  $^k{}_{pad}$ ,  $Bt/(M^3\cdot ^\circ C)$ , определяется по СП 50.13330, формула 4.16:

$$k_{pad} = 11,6Q_{pad}^{cod}/(V_{om}\Gamma CO\Pi)$$
 (4.16)

где  $Q_{pao}^{rod}$  теплопоступления через окна и витражи от солнечной радиации в течение отопительного периода, МДж/год, формула 4.17:

$$Q_{pad}^{zod} = au_{1o\kappa} au_{2o\kappa} \left( A_{o\kappa} au^{I} au_{1} + A_{o\kappa} au^{I} au_{2} + A_{o\kappa} au^{I} au_{3} + A_{o\kappa} au^{I} au_{4} \right) + au_{1,\phi on} au_{2,\phi on} A_{\phi on} I_{zop}$$
 (4.17) где  $au_{1o\kappa} au_{1,\phi on} au_{2,\phi on} A_{\phi on} I_{zop}$  (4.17) где  $au_{1o\kappa} au_{1,\phi on} au_{2,\phi on} A_{\phi on} I_{zop}$  (4.17) где  $au_{1o\kappa} au_{1,\phi on} au_{2,\phi on} A_{\phi on} I_{zop}$  (4.17) где  $au_{1o\kappa} au_{1,\phi on} au_{2,\phi on} A_{\phi on} I_{zop}$  (4.17) где  $au_{1o\kappa} au_{1,\phi on} au_{2,\phi on} A_{\phi on} I_{zop}$  (4.17) где  $au_{1o\kappa} au_{1,\phi on} au_{2,\phi on} A_{\phi on} I_{zop}$  (4.17) где  $au_{1o\kappa} au_{1,\phi on} au_{2,\phi on} A_{\phi on} I_{zop}$  (4.17) где  $au_{1o\kappa} au_{2,\phi on} A_{\phi on} I_{zop} au_{2,\phi on} A_{\phi on} I_{zop}$  (4.17) где  $au_{1o\kappa} au_{2,\phi on} au_{2,\phi on} A_{\phi on} I_{zop}$  (4.17) где  $au_{2,\phi on} au_{2,\phi on} A_{\phi on} I_{zop} au_{2,\phi on} I_{zop} I_{zop}$  (4.17) где  $au_{2,\phi on} au_{2,\phi on} I_{zop} I_{$ 

период величина солнечной радиации на вертикальные поверхности при действительных условиях облачности, соответственно ориентированная по четырем фасадам здания, МДж/(м $^2$  год).  $I_{eop}$ — средняя за отопительный период солнечной радиации горизонтальную поверхность величина на действительных условиях облачности,  $M \prod ж/(m^2 \text{ год})$ ;  $V_{om}$ — отапливаемый объем здания,  $M^3$ ;

Нормируемая (базовая) удельная характеристика расхода тепловой энергии на отопление и вентиляцию зданий,  $q_{om}^{mp}$ ,  $Bm/(M^3 \cdot {}^{\circ}C)$ , определяется по таблице 14 СП 50. 13330.

2. Расход тепловой энергии на отопление и вентиляцию здания за отопительный период,  $Q_{om}^{200} \kappa Bm/200$ , определяется по приложению  $\Gamma$  СП 50.13330:

$$Q_{om}^{200} = 0,024 \Gamma CO\Pi V_{om} q_{om}^{p}$$

$$(4.18)$$

 $Q_{om}^{zoo}$  = 0, 024  $\Gamma CO\Pi V_{om} q_{om}^{p}$  (4.18) Общие теплопотери здания за отопительный период  $Q_{oбщ}^{zoo}$ ,  $\kappa Bm \cdot u$  / zooопределяется по формуле 3.11 приложению Г СП 50.13330:

$$Q_{om}^{cod} = 0,024 \Gamma CO\Pi V_{om} \left( k_{oo} + k_{gehm} \right)$$
 (4.19)

Удельный расход тепловой энергии на отопление и вентиляцию здания за отопительный период  $q, \kappa Bm/(M^2 \cdot 200)$ , определяется по формуле 4.20:

$$q = Q_{om}^{200} / A_{om} \tag{4.20}$$

 $q = Q_{om}^{zoo}/A_{om}$  теплозащиты рассматриваемого Оценка объекта уровня его энергоэффективности проводится на основе расчетов, выполненных по:

- СП 50. 13330.2012. «СНиП -23-02-2003 Тепловая защита зданий»;
- СП 230.1325800.2015. «Конструкции ограждающие зданий. Характеристики теплотехнических неоднородностей».

здания,  $k_{o6}$ ,  $B_T/(M^3.°C)$ , Удельная теплозащитная характеристика рассчитывается по формулам:

$$k_{o6} = (1/V_{om}) \sum (n_{t,i} A_{d,i} / R_{o,i}^{np})$$
 (4.21)

$$K_{oбuq} = (1 / A_{H}^{cym}) \sum (n_{t,i} A_{\phi,i} / R_{o,i}^{np}),$$
 (4.22)

$$K_{\text{\tiny KOMII}} = A_{\scriptscriptstyle H}^{\scriptscriptstyle CYM} / V_{\scriptscriptstyle \text{OT}}, \tag{4.23}$$

где  $A_{_{\!\mathit{H}}}^{^{\!\mathit{cym}}}$  — сумма площадей (по внутреннему обмеру) всех наружных ограждений теплозащитной оболочки здания, м $^2$ .

Совокупность фрагментов теплозащитной оболочки здания, характеристики которых используются в формулах 4.21-4.23, полностью замыкает оболочку отапливаемой части здания. Климатические параметры района строительства принимаются по СП 131.13330.

3. Расчетную удельную характеристику расхода тепловой энергии на отопление и вентиляцию здания,  $q^p_{om}$ , Bm /( $M^3$ .  ${}^o\!C$ ), определяют по формуле ( $\Gamma$ .1) СП 50.13330:

$$q_{om}^{p} = \left[k_{o6} + k_{gehm} - \left(k_{6bim} + k_{pad}\right) v\zeta\right] (1 - \xi) \beta_{h}$$
 (4.24)

Удельную вентиляционную характеристику здания,  $k_{genum}$ ,  $B\tau/(m^3.°C)$ , определяют по формуле 3.17 (Г.2) СП 50.13330:

$$k_{_{6eHm}} = 0,28 \ cn_{_{6}} \beta_{_{V}} \rho_{_{6}}^{_{6eHm}} \left(1 - k_{_{3}\phi}\right) \tag{4.25}$$

где  $t_{om}$  – то же самое, что и в формуле (5.2) СП 50.13330.

$$n = n_{e1} + n_{e2} + n_{e3} + n_{e4}$$
.

Средняя кратность воздухообмена в жилой части здания за отопительный период  $n_{el}$ , определяется согласно  $\Gamma$ .3 СП 50.13330:

$$n_{el} = L_{\text{gehm}} / \beta_{\text{v}} V_{\text{om}}, \qquad (4.26)$$

Условие задачи

Определить удельные энергетические характеристики здания. Средняя температура отопительного периода  $t_{om}=-2.2\,$  °c. Продолжительность отопительного периода  $z_{om}=205\,$  сут. Температура внутреннего воздуха  $t_{e}=20\,$  °c. В проектируемом здании m- количество жильцов  $-326\,$  чел.

Таблица 4.6 Описание ограждающих конструкций здания

Ограждающая конструкция	Площадь, м <sup>2</sup>	Приведенное сопротивление	Коэффициент теплотехнической однородности, $r$
-------------------------	----------------------------	------------------------------	--

		теплопередаче,	
		м <sup>2.</sup> °С/Вт	
Стены фасадов без проемов	8200,7	2,07	0,446
Окна	3962,7	0,76	-
Витражи	1784	0,76	-
Наружные двери	69,4	0,96	_
остекленные	02,4	0,50	-
Наружные двери глухие	10,5	1,14	-
Окна и витражи ЛЛУ	101,8	0,76	-
Фасады всего здания	13142,1	-	-
Покрытие здания	5683,8	4,15	0,56
Перекрытие над	3900,6	3,21	0,8
автостоянкой	3700,0	3,21	0,0
Перекрытие над проездом	388,1	5,51	-
Перекрытие над рампой	220,1	5,08	-
Отапливаемый объем	97772,0	_	_
здания, м3	71112,0	_	-

Варианты ответов

Напишите значения приведенных сопротивлений теплопередаче стен для 3

типов :  $R_{o,i}^{np}$  м<sup>2.</sup>°С/Вт.

- A) 214; 198;215.
- (!) Б)2,14; 1,98;2,15.
- (!) B) 1,98; 2,14; 2,15.
- $(!) \Gamma) 1,98;2,15; 2,14.$
- Д) 21,4; 19,8;21,5.

Полное решение задачи

Определяем ГСОП:  $\Gamma CO\Pi = (t_{e} - t_{om})z_{om} = (20 - (-2,2)) \ 205 = 4551 \ ^{\circ}\text{C}$  сут.

Коэффициент, учитывающий отличие внутренней температуры первого этажа, где находятся входные наружные двери и лестнично-лифтовые узлы (18

 $^{\circ}$ C), от температуры основных помещений, рассчитанный по формуле (5.3) СП 50.13330, составляет:

$$n_1 = (t_6^* - t_{om})/(t_6 - t_{om}) = (18 - (-2,2))/(20 - (-2,2)) = 0.91$$
  
 $n_1 = (t_6^* - t_{om})/(t_6 - t_{om}) = (20 - 5))/(20 - (-2,2)) = 0.67$ 

для перекрытия над подземной автостоянкой.

Удельная теплозащитная характеристика здания рассчитывается по формуле 3.13.

 $k_{o\delta} = (1/97772,0) \times (8200,7/2,07 + 3962,7/0,76 + 1784,0/0,76 + 69,4/0,96 + 10,5/1,14 + 101,8/0,76 + 5683,8/4,15 + 3900,6/3,21+388,1/5,51 ++ 20,1/5,08 = 0,148 \text{ Bt/}(\text{M}^3.^{\circ}\text{C}).$ 

Детали расчета сведены в таблицу 4.7.

Таблица 4.7

Наименование фрагмента	$n_{t,i}$	$A_{\phi,i}$ , m <sup>2</sup>	$R_{\mathrm{o},i}^{\mathrm{np}},$ м $^{2}$ . $^{\circ}\mathrm{C/B}\mathrm{T}$	$n_{t,i}A_{\phi,i}$ / $R_{\mathrm{o},i}{}^{\mathrm{np}}$	%
Стены фасадов без проемов	1	8200,7	2,07	3961,7	29,48
Окна и витражи	1	5746,7	0,76	7561,4	56,26
Окна и витражи ЛЛУ	0,91	101,7	0,76	121,8	0,9
Наружные двери остекленные	0,91	69,4	0,96	65,8	0,49
Наружные двери глухие утепленные	0,91	10,5	1,14	8,38	0,06
Покрытие	1	5683,8	7,4	768,1	5,71
Перекрытие на подземной автостоянкой	0,69	3900,6	3,21	838,4	6,23
Перекрытие над проездом и нависающие консоли над проходами	1	388,1	5,51	70,4	0,52
Перекрытие над рампой	1	220,1	5,08	43,3	0,32
Сумма	-	24321,6	-	13439,3	100

 $K_{oби \psi} = 13439,3/24321,6 = 0,55.$ 

Нормируемое значение удельной теплозащитной характеристики здания определяется по формуле (3.13-3.15) СП 50.13330:

$$k_{\text{o6}}^{\text{TP}} = (0.16 + 10/\sqrt{V_{om}})/(0.00013 \text{ } \Gamma\text{CO\Pi} + 0.61) = (0.16 + 10/97772,0)/(0.00013\text{x}4551 + 0.61) = 0.172 \text{ BT/(M}^3.\circ\text{C}).$$

Удельная теплозащитная характеристика здания меньше нормируемой величины:

$$k_{o\delta} = 0.148 \le k_{o\delta}^{\text{TP}} = 0.172.$$

Наружная оболочка здания удовлетворяет нормативным требованиям.

#### 3 Расчет.

В проектируемом здании m – количество жильцов – 326 чел.

$$L_{\rm gehm} = 30m = 30 \times 326 = 9780 \; {\rm m}^3/{\rm y};$$
 
$$L_{\rm gehm} = 0.35 \times 3.1 \times {\rm A}{\rm m} = 0.35 \times 3.1 \times 12118, 0 = 13148,0 \; {\rm m}^3/{\rm y}.$$

В данном случае второе значение больше, поэтому оно используется в расчете.

$$\begin{split} n_{\mathit{BI}} &= 13148,\!0/0,\!85 \text{ x } 97772,\!0 = 0,\!158 \text{ y}^{-1} \\ n_{_{\mathit{B}}} &= & \left[ \left( L_{_{\mathit{Behm}}} n_{_{\mathit{Behm}}} \right) / \ 168 + \left( G_{_{\mathit{UH}\phi}} n_{_{\mathit{UH}\phi}} \right) / \left( \ 168 \, \rho_{_{\mathit{B}}}^{\ \mathit{Behm}} \right) \, \right] / \left( \beta_{_{\mathit{V}}} V_{_{\mathit{Om}}} \right) \end{split}$$

 $L_{\rm gehm}$  — количество приточного воздуха в здание, нормируемое при механической вентиляции и равное 4  $A_p$  для нежилой части здания, м<sup>3</sup>/ч;

$$L_{\rm gehm} = 4 \times A_p = 4 \times 4158, 0 = 16632, 0 \, {
m M}^3/{
m Y}$$
  $n_{\rm gehm} = 40 \, {
m Y}$   $G_{\rm uh} \phi = 0.15 \times 0.85 \, V_{o \delta u \psi}$   $G_{\rm uh} \phi = 0.15 \times 0.85 \times 31016, 0 = 3954, 5 \, {
m K} \Gamma/{
m Y}$   $n_{\rm uh} \phi = 168 - 40 = 128 \, {
m Y}$ 

$$n_{e2} = \frac{[(16632,0\times40)/168 + (3954,5\times128)/(168\times1,3)]}{/(0.85\times97772,0)} = 0.095 \text{ g}^{-1}.$$

Средняя кратность воздухообмена окон и витражей ЛЛУ (площадь 101,8 м²) и входных наружных дверей (79,9 м²) за отопительный период  $n_{\rm B3}$  определяется согласно  $\Gamma 3$  СП 50.13330:

$$G_{u + \phi} = \sum A_{o \kappa} / R_{u.o \kappa} (\Delta p_{o \kappa} / 10)^{2/3} + A_{\partial s} / R_{u.\partial s} (\Delta P / 10^{1/2})$$

Площадь помещений СПА равна  $A_p = 1077,4$  м<sup>2</sup>; объем V = 4291,4 м<sup>3</sup>.

 $L_{\text{вент}}$  — количество приточного воздуха в здание физкультурно оздоровительного комплекса, нормируемое при принудительной вентиляции, равно  $10~A_p~{\rm M}^3/{\rm Y}$  (9 часов в день, 5-дневная рабочая неделя).

$$\begin{split} L_{\rm gehm} = &10\times1077, 4 = 10774~{\rm m}^3/{\rm q}; \\ n_{\rm gehm} = &45~{\rm q}; \\ G_{\rm uh\phi} = &0,2\times0,85\times4291, 4 = 729,5~{\rm kg/q}; \\ n_{\rm uh\phi} = &168-45=123~{\rm q} \\ n_{\rm g4} = &[(10774,0\times45)/168 + (729,5\times123)/(168\times1,3)]/(0,85\times97772,0) = 0,04{\rm q}^{-1}; \\ n = &0,158+0,095+0,015+0,04=0,308~{\rm q}^{-1}; \\ k_{\rm gehm} = &0,28cn_{\rm g}\beta_{\rm v}\rho_{\rm g}^{\rm gehm}(1-k_{\rm sp}) = 0,28\times1\times0,308\times0,85\times1,3 = 0,095 \\ {\rm BT/(m}^3.{\rm °C}). \end{split}$$

Удельная характеристика бытовых тепловыделений здания,  $k_{\text{быт}}$ ,  $B_{\text{T}}/(\text{м}^3 \cdot ^{\circ}\text{C})$ , определяется по формуле (Г.6) СП 50.13330:

$$k_{\rm dim} = (q_{\rm dim} A_{\rm sc}) / V_{\rm om} (t_{\rm g} - t_{\rm om})$$

где  $q_{\rm быm}$  — величина бытовых тепловыделений на 1 м² расчетной площади общественного здания  $(A_p)$ ; учитывается расчетное количество людей, находящихся в здании, мощность освещения и оргтехники с учетом рабочих часов в неделю; в от ж  $t_s$ ,  $t_{om}$ ,  $A_{\infty}$  указано ранее.

Расчетная площадь нежилых этажей кроме помещений СПА  $A_p = 3080,6$  м²; 8-часовой рабочий день, 5-дневная рабочая неделя.

Количество служащих и посетителей около 330 чел.

$$q_{\text{film } I} = \left[ (3080,6 \times 25 \times 0,5 + 10,0 \times 3080,6 \times 0,9 + 90 \times 330) \times 5 \times 8/7 \right] / (24 \times 3080,6)$$
$$= 7,41 \text{ Bt/m}^2;$$

$$k_{\text{Golim I}} = (7,41 \times 3080,6) / 97772,0 (20 - (-2,2)) = 0,0105 \text{ BT/(M}^3.\circ\text{C}).$$

В помещении СПА (фитнес-центр) 9-часовой рабочий день, 5-дневная рабочая неделя.

Расчетная площадь 1077,4 м<sup>2</sup>. Количество посетителей около 70 чел.

$$q_{6blm 2} = [(1077,4\times25\times0,7+10,0\times1077,4\times0,8+90\times70)\times5\times9/7]/(24\times1077,4)$$
  
= 8.4 BT/M<sup>2</sup>:

$$k_{\delta \omega m \, 2} = (7,4 \times 1077,4) / 97772,0 \ (20 \times (\times 2,2)) = 0,0037 \ \text{BT/(M}^3.{}^{\circ}\text{C}).$$

В жилой части здания на одного жильца приходится 14019,2/326=43,0  $\text{M}^2.$ 

$$q_{\delta bim \beta} = 17 + (10 - 17)(43.0 - 20)/(45 - 20) = 10.59 \text{ BT/M}^2.$$

Жилая площадь квартир 66756,0 м<sup>2</sup>.

$$k_{\delta \omega m \beta} = (10.59 \times 14019.2)/97772.0 (20 - (-2.2)) = 0.068 \text{ BT/(M}^3 \cdot ^\circ\text{C});$$
  
 $k_{\delta \omega m} = k_{\delta \omega m \beta} + k_{\delta \omega m \beta} + k_{\delta \omega m \beta} = 0.0105 + 0.0037 + 0.068 = 0.082 \text{ BT/(M}^3 \cdot ^\circ\text{C}).$ 

Удельная характеристика теплопоступлений в здание от солнечной радиации  $k_{pao}$ , Вт/(м³.°С), определяется по формуле (Г.7) СП 50.13330:

$$k_{pad} = \left| 11,6Q_{pad}^{rod} / (V_{om}\Gamma CO\Pi) \right|$$

где  $Q_{pa\partial}^{ro\partial}$  – теплопоступления через окна и витражи от солнечной радиации в течение отопительного периода, МДж/год

$$Q_{pad}^{200} = \tau_{lo\kappa} k_{2o\kappa} (A_{o\kappa l} I_1 + A_{o\kappa 2} I_2 + A_{o\kappa 3} I_3 + A_{o\kappa 4} I_4).$$

Интенсивность суммарной (прямой и рассеянной) солнечной радиации, I на горизонтальную и вертикальную поверхности при действительных условиях облачности, МДж/м $^2$  принимается по таблице 3.5 МГСН 2.01-99, окна и витражи ЛЛУ исключены.

Окна и витражи,	$A, M^2$	I, кВтч/м <sup>2</sup>	АІ, кВтч
выходящие на:			
Северо-Запад	1269,0	255,0	323595,0
Юго-Запад	724,0	1544,0	1117856,0
Юго-Восток	929,0	1544,0	1434376,0
Северо-Восток	767,6	255,0	195738,0
		Всего:	3071567,0

Коэффициенты затенения непрозрачными элементами и относительного пропускания солнечной радиации светопрозрачных конструкций принимаются по прил. Л СП 23-101-2004 «Проектирование тепловой защиты зданий».

$$Q_s^y = 0.8 \times 0.68 \times 3071567,0 = 1670932,8 \text{ МДж/м}^2$$
  
 $k_{pao} = 11,6 \text{ x } 1670932,8/(97772,0 \text{ x } 4551) = 0.043 \text{ Bt/(m}^3.\circ\text{C)}$ 

Рассчитываем удельную характеристику расхода тепловой энергии на отопление и вентиляцию здания,  $q^p_{om}$  Bt/(м<sup>3.</sup>°C), по формуле:

$$q_{om}^{p} = \left[k_{o6} + k_{gehm} - \left(k_{6bim} + k_{pad}\right) v \xi\right] (1 - \xi) \beta_{h}$$

$$q_{om}^{p} = \left[0,148 + 0,095 - (0,082 + 0,043) \ 0,79 \times 0,95\right] (1 - 0,1) \ 1,07 = 0,142$$

$$BT/(M^{3.\circ}C)$$

Расход тепловой энергии на отопление и вентиляцию здания  $Q_{om}^{zoo}$  за отопительный период определяется по приложению Г СП 50.13330.

$$Q_{om}^{coo}=0,24 imes \Gamma CO\Pi imes V_{om} imes q_{om}{}^p=0,024 imes 4551 imes 97772,0 imes 0,142=1516424,8$$
 к $\mathrm{Bt}$ -ч/год

Общие теплопотери здания за отопительный период определяется по приложению  $\Gamma$  СП 50.13330.

$$Q_{oбщ}^{coo} = 0,24 \times \Gamma CO\Pi \times V_{om}(k_{oo} + k_{gehm}) = 0,024 \times 4551 \times 97772,0 \ (0,146 + 0,095) =$$

$$= 2573650,7 = 821588,7 \text{ кВт-ч/год}$$

Удельный расход тепловой энергии на отопление и вентиляцию здания за отопительный период q определяется по формуле:

$$q = Q_{om}^{coo}/A_{om} = 1516424,8/20618,5 = 73,55 \text{ кВт-ч/(м}^2-год)}$$

#### 1. Заключение

1. Приведенное сопротивление теплопередаче отдельных ограждающих конструкций должно быть не меньше нормируемых значений (поэлементные требования).

Базовое значение требуемого сопротивления теплопередаче наружных стен:

$$R_o^{mp} = A \times \Gamma CO\Pi + b = 0,00035 \times 4551 + 1,4 = 2,99 \text{ M}^2 \cdot \circ \text{C/BT}$$

Нормируемое значение сопротивления теплопередаче наружных стен:

$$R_o^{HODM} = R_o^{mp} \times 0.63 = 3.99 * 0.63 = 1.88 \text{ M}^2 \cdot \circ \text{C/BT}$$

Приведенные значения сопротивления теплопередаче стен:

В проектируемом здании три вида стен.

Приведенные сопротивления теплопередаче стен:

- тип 1 
$$R_{o,i}^{np}=0,447\times4,8=2,14$$
 м²·°С/Вт;  
- тип 2  $R_{o,i}^{np}=0,447\times4,44=1,98$  м²·°С/Вт;  
- тип 3  $R_{o,i}^{np}=0,447\times4,81=2,15$  м²·°С/Вт

соответствуют требуемым значениям.

Таблица 4.8 Соответствия нормируемых значений сопротивления теплопередаче ограждающих конструкций здания расчетным

I/	Нормируемое значение,	Расчетное значение,	
Конструкция	$R_o^{\text{np}}$ , $M^2$ .°C/BT	$R_o^{\text{np}}$ , $M^2 \cdot {}^{\circ}\text{C/BT}$	
Наружные стены	2,99/1,88	2,14; 1,98	
Окна и витражи	0,54/0,56	0,76	
Наружные двери	0,7	0,96; 1,14	
Покрытие	4,67/3,74	4,15	
Перекрытия над	4,67/3,74	5,51; 5,08	
проездом	1,0773,7 T		

Перекрытие над	4,12/3,30	2 21
автостоянкой		3,31

2. Удельная теплозащитная характеристика здания должна быть не больше нормируемого значения (комплексное требование):

$$k_{oo}^{mp} = 0.172 \text{ BT/(M2} \cdot ^{\circ}\text{C});$$
  
 $k_{oo}^{mp} = 0.146 \text{ Bm/(M2} \cdot ^{\circ}\text{C}).$ 

Требование соблюдается.

3. Температура на внутренних поверхностях ограждающих конструкций должна быть не ниже минимально допустимых значений (санитарногигиеническое требование).

Проверка конструкций стен на выполнение санитарно-гигиенических требований показала, что предложенные варианты удовлетворяют требованию п.5.1 СП 50.13330.

Задание для самостоятельного решения

Смотри исходные данные к практическому занятию № 1 и в Приложении 1 к Разделу 4 «Эксплуатация ограждающих конструкций».

## 4.4 ПРАКТИЧЕСКОЕ ЗАНЯТИЕ № 4: Анализ энергоэффективности ограждающих конструкций. Энергоэффективные конструкции окон.

#### Технико-экономическое обоснование при выборе окон.

Методические указания к решению задач

При выполнении практической работы необходимо выполнить следующее:

- определить тип и производителя окна;
- рассчитать совокупные дисконтированные затраты (СЗД).

Технико-экономическое обоснование

Технико-экономическое обоснование (ТЭО) может быть осуществлено на стадии предпроектных проработок или на стадии "Проект" при установлении уровня теплозащитных показателей ограждающих конструкций здания. При этом учитывают затраты на ограждающую конструкцию, на теплопроходящее через эту конструкцию. Технологических потребителей энергии допускается принимать во внимание в качестве источников теплопоступлений в здание. Результаты ТЭО используют для выбора целесообразного варианта проектного решения.

Технико-экономическое сравнение вариантов проектных решений рекомендуется вести по значению СДЗ, связанных с дополнительными капиталовложениями и уровнем годовых эксплуатационных издержек с учетом изменений цен и тарифов на энергоносители, а также рисков капиталовложений.

Сущность методики

Выбор окна для здания осуществляется на основе ТЭО по результатам оценки теплозащиты и энергопотребления здания в соответствии с МП 50.13330, а именно:

- с учетом теплопотерь через окно;
- количества света, нужного для освещения помещения.

#### 1. Расчет с дисконтированием промежуточных доходов

Если промежуточные доходы, образовавшиеся вследствие снижения годовых эксплуатационных издержек в результате применения энергосберегающих мероприятий, участвуют в обороте денежных средств (тратятся на зарплату, погашение кредитов и т.д.), величину  $C\mathcal{J}3$ , руб., приведенную к концу расчетного срока T, лет, для каждого варианта рассчитывают по формуле:

СЗД = 
$$\sum K \left(1 + \frac{p}{100}\right)^T + 3\left[\left(1 + \frac{p}{100}\right)^T - 1\right]\left(\frac{100}{p}\right)$$
, (4.27)

где  $\sum k$  - суммарные дополнительные капитальные затраты на осуществление принятого комплекса энергосберегающих мероприятий, руб.;  $\mathcal F$  - суммарные годовые эксплуатационные издержки, руб./год, в ценах на момент начала эксплуатации здания; p - норма дисконта, m0, принимаемая в размере не менее действующей ставки рефинансирования ЦБ РФ.

В частности, при отсутствии таких мероприятий допускается принять  $\sum k$  =0.

Тогда:

$$C3Д = Э\left[\left(1 + \frac{p}{100}\right)^T - 1\right]\left(\frac{100}{p}\right).$$

#### Условие задачи

При замене окон возникла необходимость выбрать между двумя альтернативными вариантами окон. Сравните два варианта: Первый вариант – окна VEKA WHS 60 «эконом», второй вариант – окна VEKA WHS 72 «стандарт» (см. рис. 4.3). Город: Москва. Количество окон: 10 шт. Вариант 1: S=1.2x2.0 м,  $S_{oбщ}=2,4*10=24$  м², R=1,83. Вариант 2: S=1.2x2.0 м,  $S_{oбщ}=2,4*10=24$  м², R=0,64. T=5 лет, p, % принимаем на 2020год,

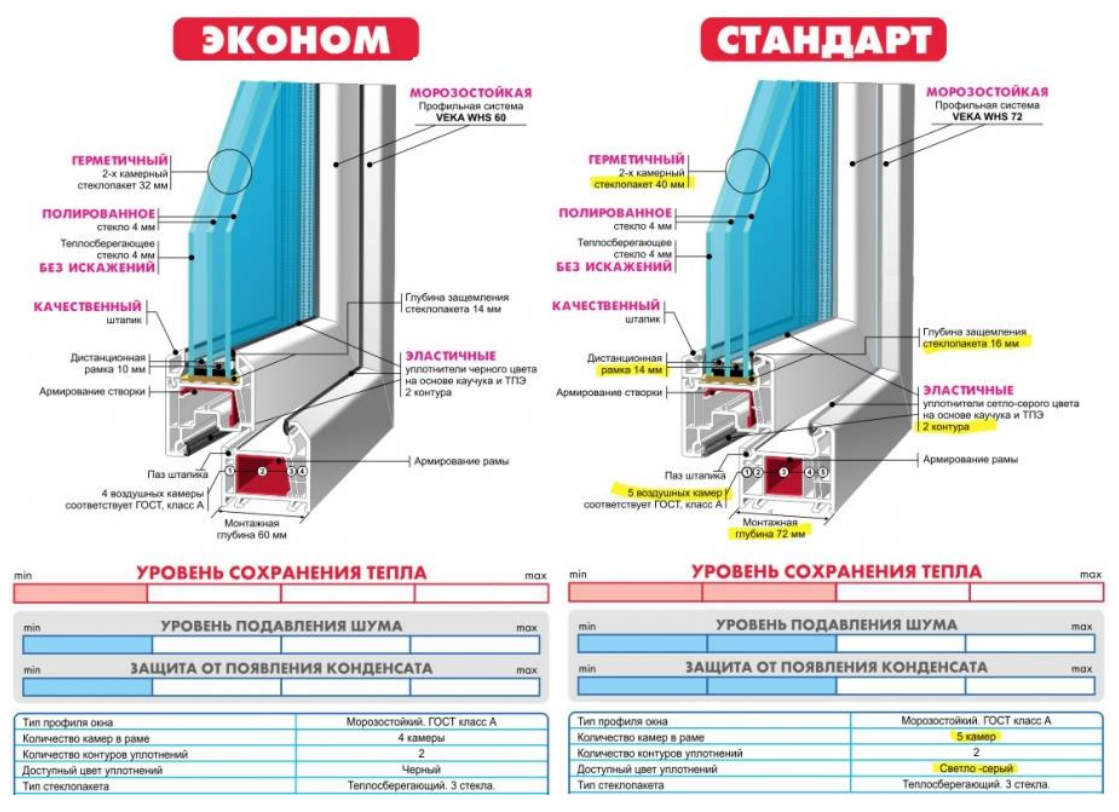


Рис. 4.3. Варианты окон.

#### Варианты ответов

- (!) A) Вариант 2 окна VEKA WHS 72 «стандарт» имеют меньше СЗД, чем вариант 1.
- Б) Вариант 2 окна VEKA WHS 72 «стандарт»- имеют больший СЗД, чем вариант 2
- В) В двух вариантах СЗД равны.
- (!) Г) СЗД $^{1\text{вар}}\sim 250$  тыс. руб (+-50 тыс. руб), СЗД $^{2\text{вар}}\sim 250$  тыс. руб (+-50 тыс. руб).
- Д) Среднее значение СЗД равно 25000 руб.

Полное решение задачи

Город: Москва.

Количество окон: 10 шт.

Вариант 1: S=1.2x2.0 м,  $S_{\text{общ}}$ =2,4\*10=24 м², R=1,83

Вариант 2: S=1.2x2.0 м,  $S_{\text{общ}}=2,4*10=24$  м<sup>2</sup>, R=0,64

Вариант 1:

 $C_{\text{тепл.потери}}$ =24 ·40 °C / 0,1,83 (м<sup>2</sup>·К)/Вт = 0,524 кВт

#### Вариант 2:

$$C_{\text{тепл.потери}} = 24.40 \, ^{\circ}\text{C} \, / \, 0,1,83 \, (\text{м}^2 \cdot \text{K}) / \text{BT} = \, 0,524 \, \text{кBT}$$

Эксплуатационные издержки:

1. Электроэнергия: тарифная ставка 3,89 рублей за кВт/ч. Затраты за 1 год составят:

$$\Im_1 = 3.89*365*24 = 34076,4$$
 py6.

2. Стоимость тепла отопления (насос): тарифная ставка 2168,88 рублей за Гкал. Затраты за 1 год составят:

3. Потери тепла, тарифная ставка 2,1 руб за кВт:

Вариант 1: 
$$9_3^1 = 0.524 * 2.1 * 365 = 401.65$$
 руб

Вариант 2: 
$$9_3^2=1,5*2,1*365=1149,75$$
 руб.

Ставка дисконта: 5,5 %.

Данные сводятся в таблицу4.9.

Таблица 4.9

#### Итоги расчета

№ вар.	С <sub>тепл.потери</sub>	∑Э, руб/год	p, %	Т, лет	СЗД
Вариант 1	0,524 кВт	50093,99	5,5	5	279579,118
Вариант 2	1,5 кВт	50842,09	5,5	5	283754,332

**Вывод:** вариант 2 - окна VEKA WHS 72 «стандарт» - имеют меньше СЗД, чем вариант 1.

Задание для самостоятельного решения

Вариант для таблицы исходных данных 4.11 определяются по таблице 4.10: I- предпоследняя цифра, II- последняя цифра номера зачетки.

Таблица 4.10

I	1	2	3	4	5	6	7	8	9	0
1	1	2	3	4	5	6	7	8	9	10
2	11	12	13	14	15	16	17	18	19	20
3	21	22	23	24	25	26	27	28	29	30

4	1	2	3	4	5	6	7	8	9	10
5	11	12	13	14	15	16	17	18	19	20
6	21	22	23	24	25	26	27	28	29	30
7	1	2	3	4	5	6	7	8	9	10
8	11	12	13	14	15	16	17	18	19	20
9	21	22	23	24	25	26	27	28	29	30
0	1	2	3	4	5	6	7	8	9	10

Таблица 4.11

# Исходные данные

Bap.	Наименование производителя	Bap.	Наименование производителя
1	Окна от Novotex Light Стеклопакеты от ClimaGuard Solar	16	Стеклопакеты от Glass Max Окна от KBE Engine
2	Окна от Novotex Light Окна от KBE Engine	17	Пластиковые окна REHAU Окна от KBE Engine
3	Окна от KBE Engine Окна от «ИЗОЛЮКС» (однокамерные стеклопакеты)	18	Окна от Novotex Light Окна от VEKA
4	Окна от VEKA Стеклопакеты от ClimaGuard Solar	19	Окна от KBE Engine Окна от VEKA
5	Окна от «ИЗОЛЮКС» (однокамерные стеклопакеты)	20	Окна от VEKA Окна от «ИЗОЛЮКС» (однокамерные стеклопакеты)
6	Окна от «ИЗОЛЮКС» (двухкамерные стеклопакеты) Стеклопакеты от ClimaGuard Solar	21	Окна от «ИЗОЛЮКС» (однокамерные стеклопакеты) Окна от KBE Engine
7	Стеклопакеты от ClimaGuard Solar	22	Окна от «ИЗОЛЮКС» (двухкамерные стеклопакеты)

	Окна от KBE Engine		Окна от KBE Engine
8	Стеклопакеты от Glass Max Окна от VEKA	23	Стеклопакеты от ClimaGuard Solar Окна от VEKA
9	Пластиковые окна REHAU Окна от VEKA	24	Окна от «ИЗОЛЮКС» (двухкамерные стеклопакеты)
10	Стеклопакеты от Glass Max Окна от KBE Engine	25	Окна от KBE Engine Окна от VEKA
11	Окна от Novotex Light Окна от KBE Engine	26	Окна от VEKA Окна от KBE Engine
12	Окна от KBE Engine Окна от VEKA	27	Окна от «ИЗОЛЮКС» (однокамерные стеклопакеты) Окна от VEKA
13	Окна от VEKA Окна от KBE Engine	28	Окна от «ИЗОЛЮКС» (двухкамерные стеклопакеты) Окна от VEKA
14	Пластиковые окна REHAU Окна от VEKA	29	Окна от KBE Engine Окна от KBE Engine
15	Стеклопакеты от Glass Max Окна от VEKA	30	Окна от VEKA Окна от KBE Engine

#### 4.5. ПРАКТИЧЕСКОЕ ЗАНЯТИЕ № 5: Тепловой режим здания.

#### Теплотехнический расчет техподполья и теплого чердачного помещения.

Методические указания к решению задач

При выполнении практической работы необходимо выполнить следующие расчеты:

- определите исходные данные;
- выполните теплотехнический расчет теплого чердака.

Технические подвалы (техподполья) — это подвалы при наличии в них нижней разводки труб систем отопления, горячего водоснабжения, а также труб системы водоснабжения и канализации. Расчет производиться в соответствии с СП 50.13330.

Для теплотехнического расчета техподполья (теплого черадка) необходимо:

1. Определить по формуле 4.28 сопротивление теплопередачи ограждения:

$$R_0^{no\kappa} = R_B + R + R_H \tag{4.28}$$

Коэффициенты теплопроводности слоев чердачного перекрытия принять следующие:

- железобетонная плита перекрытия ( $\lambda_{\text{жб}}$  = 1,92 Bt/м 0C;  $\gamma_{\text{жб}}$ =2500 кг/м3,  $\delta_{\text{жб}}$  = 0,200 м);
- пароизоляция- 1 слой рубемаста ( $\lambda_{\pi}=0.17$  Вт/м 0С,  $\gamma_{\pi}=600$  кг/м3,  $\delta_{\pi}=0.004$  м);
- утеплитель пенополистирол ПСБ-С-40 ( $\lambda_y$  = 0,06 Bт/м 0C,  $\gamma_y$  = 40 кг/м3); При нулевом значении толщины утеплитель в расчете не учитывается.
- керамзитовый гравий ( $\lambda_y$  = 0,21 Bt/м 0C,  $\gamma_y$  = 800 кг/м3,  $\delta_y$  = 0,005 0,120 м);

Расчетную толщину засыпки в расчете следует принимать исходя из неблагоприятного варианта, то есть минимальной по величине.

- цементно-песчаная стяжка ( $\lambda c = 0.93$  Вт м 0С,  $\gamma c = 1800$  кг/м3 ,  $\delta c = 0.050$  м); 41 гидроизоляция- 2 слоя изопласта ( $\lambda_r = 0.17$  Вт/м 0С,  $\gamma_r = 600$  кг/м3 ,  $\delta_r = 0.008$  м).
- 2. Требуемое сопротивление теплопередаче покрытия чердака  $R_0^{g,c}$  переделяется по формуле:

$$R_0^{g,c} = \frac{(t_{uep} - t_{hap})}{0,28G_{ven}c(t_{ven} - t_{uep}) + \frac{(t_g - t_{uep})}{R_0^{g,f}} + \frac{(\sum_{j=1}^n q_{pi}l_{pi})}{A_{o,f}} - (t_{uep} - t_{hap}) \cdot \frac{a_{g,w}}{R_0^{g,w}}}$$
(4.29)

где  $G_{ven}$  – приведенный (отнесенный к 1 м2 пола чердака) расход воздуха в системе вентиляции, кг/(м2 ·ч);  $t_{\text{чер}}$  – температура воздуха чердака,  $t_{\text{чер}}$ =+15 ° C; с — удельная теплоемкость воздуха, равная 1 кДж/(кг $\cdot$ °С);  $t_{ven}$  — температура воздуха, выходящего из вентиляционных каналов, °С, принимаемая равной tven = t<sub>B</sub>+1,5; = 20+1,5 = 21,5° C;  $R_0^{g,f}$  – требуемое сопротивление теплопередаче чердачного перекрытия теплого чердака  $R_0^{g,f} = 0,477 \text{ м2OC/Bt}$  (согласно СП 23-101-2000, п.6.2.);  $a_{g,w}$  – приведенная (отнесенная к 1 м2 пола чердака) площадь наружных стен теплого чердака, м2 /м2 ,  $a_{g.w.} = A_{g.w}/A_{g.f.}$ .  $R_o^{g.w}$  — требуемое сопротивление теплопередаче наружных стен теплого чердака,  $M^2 \cdot {}^{\circ}C/BT$ ,  $R_0^{g,w} =$  $R_{o}^{req}$  (см. расчет кирпичной стены);  $d^{otonn}_{pi}$  – диаметр трубопровода верхней разводки системы отопления при расчетной температуре +105 °C; 1<sup>отопл</sup> рі – длина трубопровода верхней разводки системы отопления при расчетной температуре  $+105~{\rm ^{o}C};~d^{{\scriptscriptstyle Bod/ch}}_{~~pi}-$  диаметр трубопровода горячего водоснабжения при расчетной температуре +70 °C; 1 вод/сн рі – длина трубопровода горячего водоснабжения при расчетной температуре +70 °C; q<sub>рі</sub> – линейная плотность теплового потока через поверхность теплоизоляции, приходящаяся на 1 м длины трубопровода і-го диаметра с учетом теплопотерь через изолированные опоры, фланцевые соединения и арматуру, Вт/м; определятся по таблице 4.12 в зависимости от  $d^{\text{отопл}}_{pi}$ ,  $d^{\text{вод/сн}}_{p}$ .

3. Сравнение фактического и требуемого сопротивления теплопередаче конструкции определяют по формуле:

$$R_0^{g.c} < R_0, \, \text{M}^{2O}\text{C/BT}$$
 (4.30)

4. Требуемое термическое сопротивление слоя утеплителя определяют по формуле:

$$R_{ym} = R_0^{g.c} - R_0^{no\kappa}, \, \text{M}^{2O}\text{C/BT};$$
 (4.31)

5. Толщина дополнительного слоя утеплителя определяют по формуле:

$$\delta_{ym} = R_{ym} \cdot \lambda_y, \text{ M.}$$
(4.32)

Условие задачи

Выполнить теплотехнический расчет теплого чердака. Определите толщину утеплителя. Исходные данные представлены в табл.4.12.

Таблица 4.12

#### Исходные данные

Состав чердачного перекрытия	Коз теплопров Вт/м	одности λ,	Толщина слоя, м		
Плита перекрытия	1,9	92	0,200		
Рубемаст 1 слой	0,	17	0,004		
Пенополистирол ПСБ- С40	0,0	06	0,030		
Керамзитовый гравий	0,2	21	0,005		
Цементно-песчаная стяжка	0,9	93	0,050		
Изопласт 2 слоя	0,	17	0,008		
Условный диаметр трубо	провода, мм	Линейная плотность теплового потока q <sub>pi</sub> , Bт/м			
Для трубопровода системы отопления при расчетной температуре +105°C					
32		24,7			

Для трубопровода горячего водоснабжения при расчетной температуре						
+70	+70°C					
100 25						

Варианты ответов

- (!) A) 0,016
- $(!) \, \mathbf{5}) \, 20$
- B) 10
- $\Gamma$ ) 0,1
- Д) 0,3

Полное решение задачи

Сопротивление теплопередаче чердачного покрытия:

$$R_0^{no\kappa} = R_B + R + R_H = \frac{1}{8,7} + \frac{0,20}{1,92} + \frac{0,004}{0,17} + \frac{0,03}{0,06} + \frac{0,005}{0,21} + \frac{0,05}{0,93} + \frac{0,008}{0,17} + \frac{1}{23} = 0,9111Bm / \text{M}^2 \, {}^{0}C$$

Требуемое сопротивление теплопередаче перекрытия:

$$\begin{split} G_{ven} &= 15,\!60~\text{kg}/(\text{m}^2 \cdot \text{y}); \\ t_{qep} &= \!\! + \!\! 15~^{\circ}\text{C}; \\ c &= \!\! 1~\text{kJ} \!\!\!\! \text{m}/(\text{kg} \cdot ^{\circ}\text{C}); \\ t_{ven} &= t_{\text{b}} \!\!\! + \!\! 1,\!5; = 20 \!\!\! + \!\!\! 1,\!5 = 21,\!5~^{\circ}\text{C}; \\ R_{o}{}^{g.f.} &= 0,\!477~\text{m}^{20}\text{C/Bt}; \\ a_{g.w.} &= A_{g.w}/A_{g.f.} &= 130/260 = 0,\!5~\text{m}^2/\text{m}^2; \\ R_{o}{}^{g.w.} &= R_{o}{}^{req} &= 3,\!493~\text{m}^{20}\text{C/Bt}; \end{split}$$

$$\sum_{i=1}^{n} q_{pi} \cdot l_{pi} = 24, 7 \cdot 80 M + 25 \cdot 35 M = 2851$$

$$R_{0}^{g,c} = \frac{(t_{uep} - t_{hap})}{0,28 G_{ven} c(t_{ven} - t_{uep}) + \frac{(t_{e} - t_{uep})}{R_{0}^{g,f}} + \frac{(\sum_{j=1}^{n} q_{pi} l_{pi})}{A_{g,f}} - (t_{uep} - t_{hap}) \cdot \frac{a_{g,w}}{R_{0}^{g,w}}}$$

$$\frac{(15^{0} - (35^{0}))}{0,28 \cdot 15,6 \cdot 1(21,5^{0} - 15^{0}) + \frac{(20^{0} - 15^{0})}{0,477} + \frac{2851}{260} - (15^{0} - 35^{0}) \cdot \frac{0,5}{3,493}}$$

$$= 1,171 M^{20} C / Bm$$

Сравнение фактического и требуемого сопротивлений теплопередаче конструкции чердачного перекрытия:

$$R_0^{g.c} = 1,171 M^{20} C / Bm > R_0 = 0,911 M^{20} C / Bm_{-\text{необходимо утепление}};$$

Требуемое термическое сопротивление слоя утеплителя:

$$R_{vm} = R_0^{g.c} - R_0^{no\kappa} = 1,171 - 0,911 = 0,259 M^{20} C / Bm$$

Толщину дополнительного слоя утеплителя из минераловатных плит ( $\lambda_y = 0.06~\mathrm{Bt/m}~0\mathrm{C}$ ):

$$\delta_{ym} = R_{ym} \cdot \lambda_y = 0,259 \cdot 0,06 = 0,016$$

Принимаем толщину дополнительного слоя утеплителя — минераловатных плит - 20 мм.

Задание для самостоятельного решения

Вариант для таблицы 4.14 и Приложения 1 определяются по таблице 4.13: I – предпоследняя цифра, II – последняя цифра номера зачетки.

Таблица 4.13

I	1	2	3	4	5	6	7	8	9	0
1	1	2	3	4	5	6	7	8	9	10
2	11	12	13	14	15	16	17	18	19	20
3	21	22	23	24	25	26	27	28	29	30
4	1	2	3	4	5	6	7	8	9	10
5	11	12	13	14	15	16	17	18	19	20

6	21	22	23	24	25	26	27	28	29	30
7	1	2	3	4	5	6	7	8	9	10
8	11	12	13	14	15	16	17	18	19	20
9	21	22	23	24	25	26	27	28	29	30
0	1	2	3	4	5	6	7	8	9	10

Таблица 4.14

Показатель / Вариант	1	2	3	4	5
Город	Екатери нбург	Верхоту	Ивдель	Алапаев ск	Н.Тагил
Толщина утеплителя чердачного покрытия, м	0,05	0,05	0,02	0,00	0,00
Площадь покрытия над теплым чердаком $A_{g.c.}$ , $M^2$	250	300	350	400	250
Площадь перекрытия теплого чердака $A_{g.f.}$ , м 2	250	300	350	400	250
Площадь наружных стен теплого чердака $A_{g.w.}$ , м 2	140	150	200	230	240
Этажность здания	5	9	12	16	22
Тип плит	газовая	электр.	газовая	электр.	электр.
$\mathrm{d}^{^{\mathrm{otonn}}}{}_{\mathrm{pi}}$	20	25	32	40	20
1 <sup>отопл</sup> рі	60	70	75	80	55
$d^{{ m Bod/ch}}_{ m pi}$	100	125	80	70	100
1 <sup>вод/сн</sup> рі	35	40	30	25	20

### Продолжение таблицы 4.14

Показатель / Вариант	6	7	8	9	10
Город	Сосьва	Тавда	Камышл	Краснот уринск	Серов
Толщина утеплителя чердачного покрытия, м	0,00	0,05	0,03	0,03	0,00
Площадь покрытия над теплым чердаком $A_{g.c.}$ , $M^2$	300	350	400	250	300
Площадь перекрытия теплого чердака $A_{g.f.}$ , м 2	300	350	400	250	300

Площадь наружных стен теплого чердака $A_{g.w.}$ , м 2	250	260	270	150	140
Этажность здания	25	5	9	12	16
Тип плит	электр.	электр.	газовая	электр.	газовая
d <sup>отопл</sup> рі	25	32	40	20	25
1 <sup>отопл</sup> рі	65	70	75	55	60
$d^{{ m Bod/ch}}_{ m pi}$	125	80	70	100	125
1 <sup>вод/сн</sup> рі	15	35	40	15	30

Продолжение таблицы 4.14

Показатель / Вариант	11	12	13	14	15
Город	Арханге	Астраха нь	Барнаул	Брянск	Белгоро
Толщина утеплителя чердачного покрытия, м	0,03	0,02	0,01	0,05	0,00
Площадь покрытия над теплым чердаком $A_{g.c.}$ , $M^2$	250	350	400	350	300
Площадь перекрытия теплого чердака $A_{\rm g.f.}$ , м 2	250	350	400	350	300
Площадь наружных стен теплого чердака $A_{g.w.}$ , м 2	150	200	270	260	140
Этажность здания	15	12	9	5	16
Тип плит	электр.	газовая	газовая	электр.	газовая
$d^{{}^{\mathrm{OTOIIJ}}}{}_{\mathrm{pi}}$	20	32	40	20	25
1 отопл	55	75	75	55	60
d <sup>вод/сн</sup> pi	100	80	70	100	125
1 <sup>вод/сн</sup> рі	15	30	40	15	30

# Продолжение таблицы 4.14

Показатель / Вариант	16	17	18	19	20
Город	Владимир	Владивос ток	Волгогра Д	Воркута (Усть Воркута)	Грозный
Толщина утеплителя чердачного покрытия, м	0,00	0,05	0,03	0,03	0,01
Площадь покрытия над теплым чердаком $A_{g.c.}$ , $M^2$	400	350	400	250	400
Площадь перекрытия теплого чердака $A_{\rm g.f.}$ , м 2	400	350	400	250	400

Площадь наружных стен теплого чердака $A_{g.w.}$ , м 2	230	260	270	150	270
Этажность здания	16	5	9	12	9
Тип плит	электр.	электр.	газовая	электр.	газовая
d <sup>отопл</sup> рі	40	32	40	20	40
1отопл	80	70	75	55	75
$d^{{ m Bod/ch}}_{ m pi}$	70	80	70	100	70
1 <sup>вод/сн</sup> рі	25	35	40	15	40

Продолжение таблицы 4.14

Показатель / Вариант	21	22	23	24	25
Город	Мурманск	Екатеринбур г (Свердловск)	Иваново	Иркутск	Казань
Толщина утеплителя чердачного покрытия, м	0,05	0,01	0,03	0,03	0,03
Площадь покрытия над теплым чердаком $A_{g.c.}$ , $M^2$	250	400	400	250	400
Площадь перекрытия теплого чердака $A_{g.f.}$ , м 2	250	400	400	250	400
Площадь наружных стен теплого чердака $A_{g.w.}$ , м 2	140	270	270	150	270
Этажность здания	5	9	9	12	9
Тип плит	газовая	газовая	газовая	электр.	газовая
$d^{{}^{\mathrm{OTO\Pi }\Pi}}{}_{\mathrm{pi}}$	20	40	40	20	40
1 отопл	60	75	75	55	75
$d^{\text{вод/ch}}_{\text{pi}}$	100	70	70	100	70
1 <sup>вод/сн</sup> рі	35	40	40	15	40

Продолжение таблицы 4.14

Показатель / Вариант	26	27	28	29	30
Город	Кемерово	Магадан (по бухте Нагаева)	Н. Новгород (Горький)	Новосиби рск	Омск
Толщина утеплителя чердачного покрытия, м	0,00	0,03	0,03	0,03	0,00
Площадь покрытия над теплым чердаком $A_{g.c.}$ , $M^2$	300	400	400	250	300
Площадь перекрытия теплого чердака $A_{g.f.}$ , м 2	300	400	400	250	300

Площадь наружных стен теплого чердака A <sub>g.w</sub> ., м 2	250	270	270	150	140
Этажность здания	25	9	9	12	16
Тип плит	электр.	газовая	газовая	электр.	газовая
d <sup>отопл</sup> рі	25	40	40	20	25
1 <sup>отопл</sup> рі	65	75	75	55	60
$d^{{ m Bod/ch}}_{ m pi}$	125	70	70	100	125
1 <sup>вод/сн</sup> рі	15	40	40	15	30

Таблица 4.15

Этажность здания	Приведенный расход воздуха G <sub>ven</sub> , кг/(м <sup>2</sup> ·ч), при					
Этажность здания	наличии в квартирах					
	газовых плит	электроплит				
5	12	9,6				
9	19,2	15,6				
12	25,2	20,4				
16	32,4	26,4				
22	-	35,2				
25	-	39,5				

Таблица 4.15

Условный		Средняя температура теплоносителя, °C							
диаметр	60	70	95	105	125				
трубопровода,	П				D=/				
MM	ЛИ	Линейная плотность теплового потока q <sub>pi</sub> , Вт/м							
10	7,7	9,4	13,6	15,1	18				
15	9,1	11	15,8	17,8	21,6				
20	10,6	12,7	18,1	20,4	25,2				
25	12	14,4	20,4	22,8	27,6				
32	13,3	15,8	22,2	24,7	30				
40	14,6	17,3	23,9	26,6	32,4				
50	14,9	17,7	25	28	34,2				
70	17	20,3	28,3	31,7	38,4				
80	19,2	22,8	31,8	35,4	42,6				

Таблица 4.15

Условный	Средняя температура теплоносителя, °C								
диаметр	60	70	95	105	125				
трубопровода,	Лиг	нейная пл	отность теп	пового потока	а а Вт/м				
MM		Линейная плотность теплового потока q <sub>pi</sub> , Вт/м							
100	20,9	25	35,2	39,2	47,4				
125	24,7	29	39,8	44,2	52,8				
150	27,6	32,4	44,4	49,1	58,2				

#### 4.6. ПРАКТИЧЕСКОЕ ЗАНЯТИЕ 6: Утепление конструкций стен.

Расчет дополнительного утепления наружных стен, применение различных материалов. Расчет навесного вентилируемого фасада.

Методические указания к решению задач

При выполнении практической работы необходимо выполнить следующее:

- построить план здания в М1:100;
- построить фасад в М1:100;
- -собрать исходные данные (высота, длина и ширина здания, площадь фасада, площадь окон);
  - определить направление здания по отношении к сторонам света;
  - определить плотность воздуха снаружи и внутри здания;
  - определить разность удельного веса воздуха снаружи и внутри здания;
  - определить избыточного гравитационного давления на уровне земли;
  - определить избыточное ветровое давление на наветренном фасаде;
- определить избыточное ветровое давление на боковом фасаде, Избыточное ветровое давление на боковом фасаде;
  - рассчитать направления ветра на n-й фасад (сторона света);
  - оформить работу и сделать вывод.

На светопрозрачные ограждающие конструкции, системы вентилируемого фасада, а также участки планарного остекления действуют постоянные и временные нагрузки. К постоянным нагрузкам относится собственный вес подсистем, утеплителя и облицовки. Временные нагрузки — это ветер, снег, дождь.

Современные фасадные системы, это не просто красивая облицовка, а несущая стена с функциями тепловой и акустической защиты. Поэтому надо правильно рассчитать несущую способность каждой алюминиевой или стальной конструкции под действием постоянных и временных нагрузок.

Расчет ветровой, снеговой и дождевой нагрузок необходимо проводить согласно СП 20.13330 2011.

#### Алгоритм проектирования и расчета строительной конструкции

Расчет любой фасадной системы осуществляется по определённому алгоритму:

Рисуется схема строительной конструкции с указанием всех элементов и их особенностей. На основе конструктивной создаётся расчетная схема. На неё наносятся все нормативные и расчетные нагрузки, силы и моменты.

Отдельные нагрузки собираются в одну. Этот процесс называется сбор нагрузок и указание вектора их действия.

Расчёт статической конструкции по правилам и законам строительной механики. В результате расчётов выводятся усилия в элементах строительной конструкции.

По полученным результатам производится подбор сечения профиля, колонны, ригеля, балки, оконного каркаса.

Осуществляется проверка полученной конструкции по второму предельному состоянию. Проверяется жесткость системы с учётом прогибов, кренов, кручения.

Проводится проверка по первому предельному состоянию. Определяется прочность и надёжность системы, а также пространственная устойчивость и срок эксплуатации.

Проектирование узловых соединений. Подбор сечения и размера кронштейнов, болтов, заклёпок и других крепёжных элементов.

Расчет инфильтрации — это расчет за счет давления на стену воздухонепроницаемости ограждений. Разностью масс создается давление на стену.

Также при расчете тепловых потерь дома в теплотехнике встречается понятие того, что в зависимости от положения стен относительно сторон света меняются теплопотери. И разница между стеной, расположенной на север и стеной, смотрящей на юг всего 10% (см. рисунок 4.4).

Сторона света	β
Юг	1
Север	1,1
запад	1,05
восток	1,05

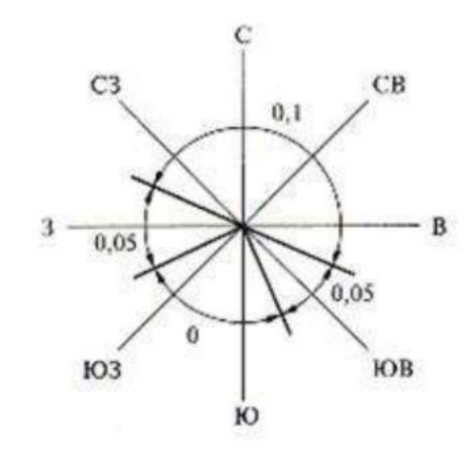


Рис. 4.4. Зависимость коэффициента в от сторон света.

Начертите чертежи для дальнейшей работы: план 1-ого этажа, фасад с четырех сторон (масштаб 1:100) - в соответствии с индивидуальным заданием. Определите характеристики жилого здания, которые указаны в условии задания. При подсчете общей площади окон рассчитайте отдельно площади окон ориентировочно сторонам света,  $F_{cmopoha\ csema}$ , м² (формула 8.7:  $F_{n1}$ ; $F_{n2}$ ; $F_{n3}$ ; $F_{n4}$ ... $F_{n-n}$ ).

По данным таблицы 4.2 (Практическое занятие №1) определите сопротивление окон воздухопроницанию  $R^{\varphi}_{\mu}$ , м²·ч/кг. Экономайзерный коэффициент, учитывающий влияние встречного теплового потока в конструкции окна принять  $A_{\Im}=0.8$ . Средние величины аэродинамических коэффициентов фасада принять равные: наветренный фасад —  $C_{H}=+0.8$ ; заветренный фасад —  $C_{\Im}=-0.6$  боковой фасад —  $C_{\Im}=-0.4$ .

Предварительный расчет

Определим плотность воздуха снаружи и внутри здания по формулам:

$$\rho_{\rm H} = \frac{353}{273 + t_{\rm H}},$$

$$\rho_{\rm B} = \frac{353}{273 + t_{\rm B}},$$
(4.33)
$$(4.34)$$

где  $t_{\rm H},\,t_{\rm B}$  — температура наружного и внутреннего воздуха, °С.

Определим разность удельного веса воздуха снаружи и внутри здания  $\Delta \gamma$ ,  $H/m^3$ , по формуле:

$$\Delta \gamma = 9.81 \cdot (\rho_{\rm H} - \rho_{\rm B}), \tag{4.34}$$

Максимальная величина избыточного гравитационного давления на уровне земли, Па, определяется по формуле:

$$P_{\Gamma} = H_1 \cdot \Delta \gamma, \tag{4.36}$$

где  $H_1$  – высота от середины окна до устья вентшахты, м;

Избыточное ветровое давление на наветренном фасаде, Па, определяется по формуле:

$$P_{VH} = (C_H - C_3) \cdot \rho_{\rm H} \cdot \frac{v_{\rm H}^2}{2},$$
 (4.37)

где  $C_H$ ,  $C_3$  - средние величины аэродинамических коэффициентов фасадов: наветренный фасад  $C_H$ =+ 0,8; заветренный фасад  $C_3$  = - 0,6;  $\nu_{H}$ - скорость ветра, м/с, определяется по району в соответствии с СП 20.13330.2016.

Избыточное ветровое давление на боковом фасаде, Па, определяется по формуле:

$$P_{V\rm B} = (C_{\rm B} - C_{\rm 3}) \cdot \rho_{\rm H} \cdot \frac{v_{\rm H}^2}{2},\tag{4.38}$$

где  $C_{\text{Б}}$  - средняя величина аэродинамических коэффициента бокового фасада  $C_{\text{Б}}$  = -0.4.

Расчет направления ветра на п-й фасад (сторона света)

Вычисляем внутреннее избыточное давление воздуха в здании по формуле:

$$P_{\text{в.изб.}} = \frac{P_{VH} \cdot F_{n1} + P_{VB} \cdot F_{n2} + P_{VB} \cdot F_{n3}}{F_{n1} + F_{n2} + F_{n3} + F_{n4}},$$
 (4.39)

где  $F_{n1}$ ; $F_{n2}$ ; $F_{n3}$ ; $F_{n4}$ ... $F_{n-n}$  — общая сумма площадей окон выходящих на определённую сторону света, м<sup>2</sup>.

Вычисляем ветровую составляющую Ро, Па, по формуле:

$$P_{\rm o} = P_{\rm or} + P_{\rm \tiny B.ИЗб.},$$
 (4.40)

где  $P_{or}$ ,  $\Pi a$ , гравитационная составляющая  $P_{or}$ ,  $\Pi a$ , определяется по формуле 8.9:

$$P_{\rm or} = 0.5 \cdot P_{\rm r}, \tag{4.41}$$

Вычисляем избыточное давление воздуха с наветренной стороны здания на уровне центра окон каждого этажа:

Для 1-ого этажа рассчитывается по формулам:

$$P_{\rm H\Gamma} = {\rm H_1} + h_{\rm 13.}, \qquad (4.42)$$
  
 $P_{\rm H13} = P_{\rm H\Gamma} + P_{VH}, \qquad (4.43)$ 

Для 2-ого этажа рассчитывается по формулам:

$$P_{\rm H\Gamma} = ({\rm H}_1 + h_{29.}) \cdot \Delta \gamma,$$
 (4.44)  
 $P_{\rm H29} = P_{\rm H\Gamma} + P_{V\rm B},$  (4.45)

Вычисляем расчетную разность давления с двух сторон окон каждого этажа (при условии  $\Delta P_3 > 0$ ):

Для 1-ого этажа рассчитывается по формуле:

$$\Delta P_{19} = P_{\rm H19} + P_o, \tag{4.46}$$

Для 2-ого этажа рассчитывается по формуле:

$$\Delta P_{29} = P_{H29} + P_0, \tag{4.47}$$

Вычисляем расчет воздуха, проходящего через 1 м<sup>2</sup> окна на каждом этаже (только для наветренной стороны):

Для 1-ого этажа рассчитывается по формуле 8.16:

$$g_{\mu h \phi 19} = \frac{1}{R_{\mu}^{\phi}} \cdot (\frac{\Delta P_{19}}{10})^{\frac{2}{3}}, \tag{4.48}$$

Для 1-ого этажа рассчитывается по формуле 8.17:

$$g_{\mu h \phi 29} = \frac{1}{R_{\mu}^{\phi}} \cdot (\frac{\Delta P_{29}}{10})^{\frac{2}{3}}, \tag{4.49}$$

Вычисляем удельный поток теплоты на нагрев инфильтрующегося наружного воздуха:

Для 1-ого этажа рассчитывается по формуле:

$$q_{\text{ин} \phi 19} = 0.278 \cdot q_{\text{ин} \phi 19} \cdot c_{\text{B}} \cdot (t_{\text{B}} - t_{\text{H}}) \cdot A_{9},$$
 (4.50)

Для 2-ого этажа рассчитывается по формуле:

$$q_{\text{ин} \phi 29} = 0.278 \cdot q_{\text{ин} \phi 29} \cdot c_{\text{B}} \cdot (t_{\text{B}} - t_{\text{H}}) \cdot A_{\text{9}},$$
 (4.51)

Коэффициент остеклённости і-го фасада (контрольная величина) определяется по формуле:

$$f_{\text{ост}} = \frac{\sum F_{nn}}{F_{\text{фасада}}},\tag{4.52}$$

Оформление

Данные расчета сводятся в таблицы 4.16 и 4.17.

Таблица 4.16

## Расчет избыточного давления воздуха в здании

№ фасада	Высота Н <sub>1</sub> , м	Длина L, ширина В м	F <sub>фасада</sub> ,	F <sub>nn</sub> ,	$f_{ m oct}$	$P_{ m or}$	Р <sub>в.изб.</sub>	$P_o$
1	2	3	4	5	6	7	8	9

Таблица 4.18

## Расчет удельных потерь теплоты от инфильтрации

Сторона света	Этаж	<i>Н</i> <sub>1э</sub> , м	$P_{ m H\Gamma}$	$P_{\mathrm{H19}}$	$\Delta P_{19}$	g <sub>инф1э</sub>	$q_{ m инф19}$
1	2	3	4	5	6	7	8
СВ							
C3	1-й						
СВ							
C3	2-й						

В виде гистограммы с группировкой изобразите результат расчетов. Сделайте вывод.

Расчет элементов конструкций фасадных систем

Расчет элементов фасадных систем выполняется на воздействие постоянных и временных нагрузок. Расчет производится по следующему расчетному сочетанию:

- 1. Постоянные нагрузки (собственный вес системы и облицовки) и временная (ветровая);
  - 2. Ветровая нагрузка рассматривается для двух участков фасада здания:
  - 1) угловой зоны (1,5м от угла здания);
  - 2) рядовой зоны.

Прочностные расчеты по первому предельному состоянию включают проверку на прочность вертикальных направляющих, кронштейнов,

заклепочных соединений воспринимающих нагрузки от расчётных значений их собственного веса, веса фасадных облицовок, от давления ветра и гололедных нагрузок. В связи с тем, что утеплитель крепится специальными тарельчатыми дюбелями непосредственно к стенам здания, в расчете каркаса его вес не учитывается.

Расчёты по второму предельному состоянию на деформативность конструкций ведутся с использованием нормативных значений действующих на конструкцию нагрузок.

Усилия: изгибающие моменты, поперечные и продольные силы, прогибы определяются с использованием основных положений сопротивления материалов.

При проверке прочности элементов и соединений коэффициенты надежности по нагрузкам  $\gamma_f$ , принимается по СП 20.13330, единый коэффициент надежности по назначению  $\gamma_n$ =1 принимается по МДС 20-1.2006.

Коэффициент надежности по гололедной нагрузке принимается по СП 20.13330.

Кроме того, при расчете анкерных креплений на прочность фирмойразработчиком должны быть учтены несущие способности анкерных креплений, определенные в процессе испытания на стенах возводимых объектов, в соответствии с СТО ФЦС-44416204-010-2010.

Вентилируемый фасад (система вентилируемого фасада (СВФ)) - составная конструкция, включающая стальной каркас, утеплитель и облицовку фасадной стены здания с вентилируемым воздушным зазором между утеплителем и облицовкой.

**Кронштейн** - консольная опорная деталь для крепления направляющих профилей к стене, представляющая собой стальной гнутый уголок с ребром жесткости. Различают 2 типа кронштейнов - кронштейн опорный (непосредственно крепится к стене) и кронштейн подвижной.

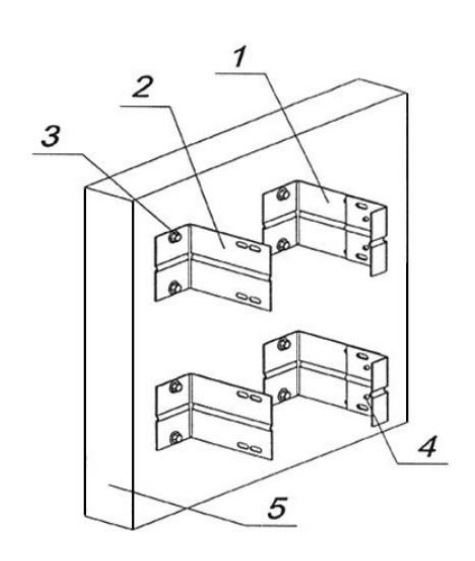


Рис. 4.5 - Крепление кронштейнов.

1 - кронштейн составной; 2 - кронштейн опорный; 3 - анкер; 4 - заклепки (самонарезающие винты); 5 - стена.

#### Расчет кронштейнов

Кронштейны рассчитываются на действие вертикальной нагрузки (собственный вес каркаса, фасадная облицовка и гололёд) и горизонтальной нагрузки равной максимальной опорной реакции от ветровой нагрузки.

В рассматриваемых системах при многопролётных схемах применяется жёсткое крепление направляющих ко всем кронштейнам, поэтому вес конструкции распределяется равномерно между всеми кронштейнами.

#### Сечения кронштейнов

В таблице 4.19 приведены геометрические характеристики сечений кронштейнов марки КР-С, КРУ-1р, КРУ-2р, КНс-27, КНс-28/1.

Таблица 4.19 **Геометрические характеристики сечений кронштейнов** 

Марка	Сечені	ие	A,	$J_{x}$ ,	$W_x$ ,	<i>y</i> 1,	$J_y$ ,	$W_{y}$ ,		
кронштейна	Ширина	t, mm	cm <sup>2</sup>	cm <sup>4</sup>	cm <sup>3</sup>	СМ	cm <sup>4</sup>	cm <sup>3</sup>		
	Кронштейн КР-С									
КР-С	90	2,0	2.00	0.13	0,17	0,22	12.23	2.72		
Кронштейн КРУ-1р										
КРУ-1р	90	2,0	2.00	0.13	0,17	0,22	12.23	2.72		
		Крон	штейн К	РУ-2р						
КРУ-2р	92	2,0	2.24	0,21	0.31	0,24	15,6	3,39		
	Кро	онштейн 1	КНс-27 (	полусеч	ение)					
KHc-27	70	2	2,00	12,23	2,72	4,5	0,13	0,17		
Кронштейн КНс-28/1 (полусечение)										
КНс-28/1	70	2	2,00	12,23	2,72	4,5	0,13	0,17		

Расчёт кронштейнов с горизонтально ориентированной плоскостью консоли

#### Расчет кронштейна на прочность

В кронштейнах проверяются сечение на консоли наиболее приближенное к опоре и сечение на опорной части по краю шайбы анкерного элемента. Места приложения нагрузок и положение расчётных сечений показано на рис. 4.6.

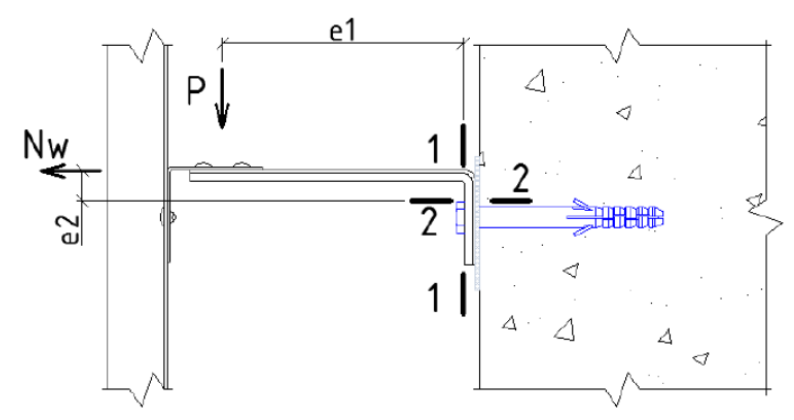


Рис.4.6.. Расчётная схема кронштейна с вертикально ориентированной плоскостью консоли

#### Сечение 1-1 консоли кронштейна

Расчёт сечения на прочность  $\sigma_{1-1}$ , кг/см<sup>2</sup>, проводится согласно формуле:

$$\sigma_{1-1} = \frac{N_{1-1}}{A_{1-1}} + \frac{M_{x_{1-1}}}{W_{x_{1-1}}} \le \frac{R_y}{\gamma_n},\tag{4.53}$$

где  $N_{1-1} = N_{w\_max}$  — максимальная опорная реакция от ветровой нагрузки, определяется по табл. 4.20 в зависимости от расчётной схемы направляющей;

Таблица 4.20

# Формулы для расчета изгибающих моментов в направяющей и опорных реакций

Моменты и	Расчётные схемы							
опорные реакции	№ 1	№ 2	№ 3	№ 4				
$M_{on.max}$	$0.0833*q_w*L_1^2$	$-0.125*q_w*L_1^2$	$-0.100*q_w*L_1^2$	$0.107*q_w*L_1^2$				
$M_{np.max}$	$0.0417*q_w*L_1^2$	$0.070*q_w*L_1^2$	$0.080*q_w*L_1^2$	$0.077*q_w*L_1^2$				
$N_{w\_max}$	$0,500*q_w*L_1$	$1,250*q_w*L_1$	$1,100*q_w*L_1$	$1,143*q_w*L_1$				

Обозначения табл. 4.20:

 $q_{w}$ - расчетная погонная ветровая нагрузка на направляющую, кг/м, находиться по формуле:

$$q_w = w \cdot B \cdot k_{\text{Hep}}, \tag{4.54}$$

где w — расчетное значение средней составляющей ветровой нагрузки, н/см2; B — шаг направляющих, м (см. рис. 4.6);  $k_{\text{нер}}$  — коэффициент неразрезности, учитывающий передачу ветровой нагрузки с облицовки как с многопролетной балки (при опирании облицовки на три и более направляющих для листовых облицовок). Для промежуточных направляющих  $k_{\text{нер}}$  равно:

- при однопролетной схеме  $k_{неp}$ =1,0;
- при двухпролетной схеме  $k_{Hep} = 1,25$ ;
- при трехпролетной схеме  $k_{\text{нер}} = 1,1;$
- при четырехпролетной схеме  $k_{\text{нер}} = 1,143$ ;
- при пяти и более пролетной схеме  $k_{Hep} = 1,132$ .

 $L_1$  – пролёт направляющей (вертикальный шаг кронштейнов) (см. рис.4.7).

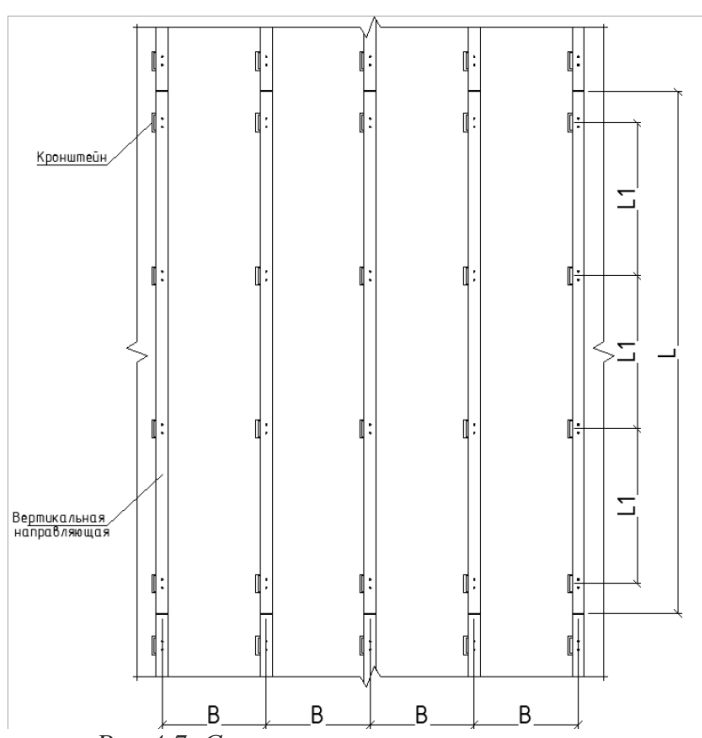


Рис.4.7. Схема крепления направляющих:

B — шаг направляющих, м; L1 — пролет направляющей (вертикальный шаг кронштейнов), м; L — длина направляющей, м.

 $M_{\chi \ 1-1}$  — максимальный опорный момент, кг·см, определяется по формуле:

$$M_{x_{-1}-1} = P \cdot e_1,$$
 (4.55)

где  $e_I$  – см. рис. 8,3, см; P – собственный вес конструкций, кг, определяется по формуле:

$$P = G_{06a} \cdot V_{06a} \cdot L \cdot B + G_{Hann} \cdot V_{Hann} \cdot L, \tag{4.56}$$

где  $G_{\text{обл}}$  - нагрузка от собственного веса облицовки, принимаемая по документам изготовителя, кг/см<sup>2</sup>;  $\gamma_{\text{обл}}$  - коэффициент надежности по нагрузке для облицовки, 1,1; L - длина направляющей, см.; B - шаг направляющих, см;  $G_{\text{напр}}$  - масса направляющей по документам изготовителя (см. прил. 2), кг/см;  $\gamma_{\text{напр}}$  - коэффициент надежности по нагрузке для направляющей  $\gamma_{\text{напр}}$ =1.

 $A_{1\text{--}1}$  – площадь сечения, см. табл. 4.19, см²;  $W_{x\_1\text{--}1}$  – момент сопротивления сечения по табл. 4.19 настоящих рекомендаций, см³;  $R_y$  – предел текучести стали, см. табл. 4.21, кг/см².

Таблица 4.21 **Материалы, применяемые для производства фасадных систем** 

Марка стали	ГОСТ, ТУ	гарантиј	ения рованные Ша (кг/мм²)	Расчётные сопротивленя, МПа (кг/мм²)			
		$\sigma_{\rm u}$	σ <sub>0,2</sub>	R <sub>y</sub>	$R_s$	$R_{bp}$	
AISI 430	ASTM A240	450(46)	260(26,5)	245(25)	140(14,5)	605(62)	
AISI 321	ASTM A240	530(53)	220(22,5)	210(21,5)	120(12,5)	760(77,5)	
AISI 304	ASTM A240	515(52,5)	205(21)	200(20,5)	115(12)	680(70)	
12Х15Г9НД	ТУ РМО-006/05	600(61)	280(28,5)	275(28)	160(16)	775(79)	
12X18H10T	ГОСТ 5582-75	530(54)	205(21)	200(20,5)	115(12)	680(70)	
08X18H10T <sup>1)</sup>	ГОСТ 5582-75	550(56)	216(22)	210(21,5)	120(12)	710(72)	
08пс ХП, ПК	ГОСТ 14918-80	330(34)	225(23)	220(22,5)	125(13)	475(48)	

<sup>1)</sup> Для данной стали не нормируется предел текучести (табл.1 ГОСТ 5582-75). По согласованию с потребителем сталь изготавливается сповышенными механическими свойствами, что показано в данной таблице (табл.1а ГОСТ 5582-75).

 $\gamma_{\pi}$  — коэффициент надежности по ответственности  $\gamma_{\pi}$ =1,0 для расчета элементов ограждения (п.9 МДС 20-1.2006).

# Сечение 2-2 опорной части кронштейна

Расчёт сечения на прочность  $\sigma_{2-2}$ , кг/см², проводится согласно формуле:

$$\sigma_{2-2} = \frac{M_{x_2-2}}{W_{x_2-2}} + \frac{N_{w_max} \cdot e_2}{W_{x_2-2}} + \le \frac{R_y}{\gamma_n}, \tag{4.57}$$

 $M_{x_2-2}$  — максимальный опорный момент, кг·см, определяется по формуле 8.23; где  $e_2$  — расстояние от оси приложения силы  $N_{w_{max}}$  до сечения 2-2, см;  $N_{w_{max}}$  — ;  $W_{x_2-2}$  — момент сопротивления сечения по табл. 4.19. настоящих рекомендаций, см<sup>3</sup>;

## Расчёт узла крепления кронштейна к стене

Кронштейн крепится к стене одним анкерным элементом (см. рис. 4.8).

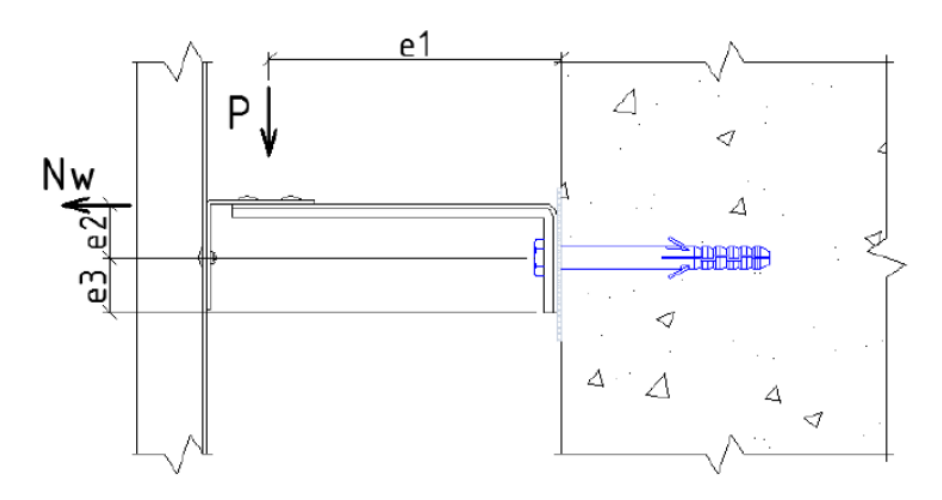


Рис. 4.8. Расчётная схема проверки анкерного элемента на вырыв Расчёт анкерного элемента на вырыв  $N_{\rm B}$ , кг, выполняется по формуле 8.26:

$$N_{\rm B} = N_{w\_max} + \frac{N_{w\_max} \cdot e_2}{e_3} + \frac{P \cdot e_1}{e_3} \le N_{\rm ДОП},$$
 (4.58)

где  $N_{\rm B}$  — вырывающее усилие, действующее на анкер ,кг;  $N_{\rm доп}$  — допустимое усилие вырыва для анкерного элемен та на основании испытаний, проведённых на конкретном объекте, кг;  $e_1$ ,  $e_2$ ,  $e_3$  — (см. рис. 4.8), см.

#### Расчет узла крепления направляющей к кронштейну

Крепление удлинителя к кронштейну выполняется на двух заклёпках, которые работают только на срез (см. рис. 4.9).

Вертикальный разрез

Горизонтальный разрез

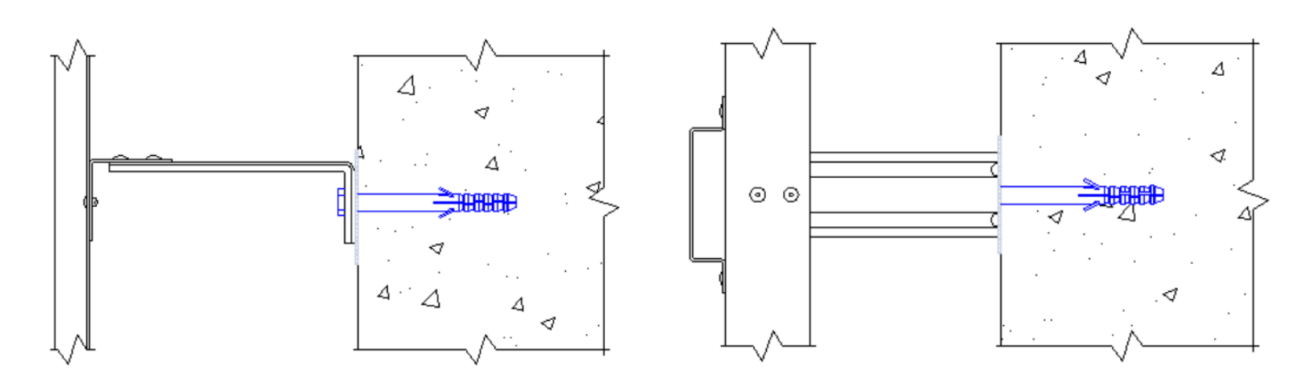


Рис 4.9. Конструктивная схема для проверки соединения направляющей с кронштейном Проверка заклёпки на срез выполняется по формуле:

$$N_{S} = \frac{\sqrt{P^{2} + N_{w_{-}max}^{2}}}{n \cdot n_{2}} \le N_{rs}, \tag{4.59}$$

где  $N_s$  — срезывающее усилие, действующее на одну заклёпку, кг; n — количество заклёпок в соединении;  $n_s$ — число рабочих срезов одной заклёпки;  $N_{rs}$  — расчётное усилие среза для одной заклёпки по табл.4.22.

Проверка заклёпкин на смятие соединяемых элементов выполняется по формуле:

$$N_p = \frac{\sqrt{P^2 + N_{w_{-}max}^2}}{n \cdot d \cdot \sum t} \le R_{rp} = R_{bp},$$
 (4.60)

где  $N_p$  — действующее сминающее усилие; n — число заклёпок в соединении.

Таблица 4.22 Заклепка, применяемые в фасадной системе

Диаметр	Диаметр	Диаметр	Диаметр	Норма	гивные	Расчётн	ые усилия
заклёпки,	стержня,	бортика	отверстия	усилия			
MM	MM	max,	под	срез	растяже-	срез	растяж-
		MM	заклёпку,	$N_{n\_rs}$ , H	ние	$N_{rs}$ , H	ение
			MM		$N_{n\_rt}$ , H		$N_{rt}$ , H
Корп	ус сталь кор	розионност	ойкая А2/ с	тержень ста	ль коррозис	онностойк	ая А2
4,8	3,20	8,3	4,9	4000	5000	3200	4000
4,0	2,75	6,9	4,1	2700	3500	2160	2800

# Примечание: при расчете используйте документацию изготовителя фасадной системы и сходные данные для самостоятельного решения!

Условие задачи

**Задача 1.** По индивидуальному заданию определите характеристики жилого здания: высоту жилого дома, м; высоту этажа жилого дома, м; длину и

ширину жилого дома, м; площадь всех окон, м2; площадь фасада, м2. Определите ветровую нагрузку на фасады здания. Дано:

-H=11,2 м, длина l=42 м, ширина B=39 м,

-Площадь остекления фасадов  $F_{o \delta u \mu}$ =123,61 м²:  $F_{c.e.}$ = м²,  $F_{io.s.}$ = м²,  $F_{c.s}$ = м²,  $F_{c.e.}$ = м²,  $F_{io.s.}$ 

- -Высота от середины окна до устья шахты:  $h_{19}=1,9$  м,  $h_{29}=5,0$  м,
- Сопротивление ограждающей конструкции  $R_{o\kappa}$ =0,32 м<sup>2</sup>ч/кг,
- $A_{9}=0.8, C_{H}=+0.8, C_{3}=-0.6, C_{5}=-0.4.$

Задача 2. Исходные данные

Место строительства – г. Челябинск

III район по ветровой нагрузке.

Тип местности В.

Высота здания 75 м.

Крепление направляющей к стене с шагом 675 мм по четырехпролётной схеме (n=4).

Облицовка из панелей HPL размером 1800x300x10 мм.

Шаг направляющих В=600 мм.

Ветровая нагрузка на высоте 75 м:

угловая зона w=-282,2 кг/м2; все здание w=+159,92 кг/м2.

Принимаем кронштейн КР-С-250 мм.

A=2,00см2; Wx=0,17 см3; y1=0,22 см; Wy=2,72 см3 по табл. 4.19. Матариал кронштейна сталь 08пс Ry=2250 кг/см2 по табл. 4.16

Варианты ответов

**Задание1.** Напишите значение коэффициента остеклённости і-го фасада (любая последовательность).

- A) 0,96;1;1,4;0,7.
- Б) 96;10;14;7.
- B) 0,0096;0,01;0,014;0,007.
- Γ) 0,1;0,1;0,15;0,1.

(!) Д) 0,096;0,1;0,14;0,07.

**Задание2.** Напишите значения:  $M_{y_{-}1-1}$ ,  $M_{y_{-}2-2}$ ,  $N_{B}$ ,  $N_{S}$ .

- A) 315;386; 3186;629.
- Б) 3,15;0,386; 31,86;6,29.
- B) 0,315;0,0386; 3,186;0,629.
- $(!) \Gamma)$  31,5;3,86; 318,6;62,9.
- Д) 3150;3860; 31860;6290.

Полное решение задачи

**Задача 1.** Итоги расчет сведены в таблицы 4.23, 4.24 и рис. 4.10.

Таблица 4.23.

№	Н,м	В, L,м	$F_{\phi ac.i}$ ,	$F_{o.i}$ ,	f	$P_{0arGamma}$ ,	$P_{0V}$ ,	$P_0$ ,
фасада	11,M	D, L, M	$\mathbf{M}^2$	$\mathbf{M}^2$	focm	Па	Па	Па
1 (CB)	11.2	27	302.4	28.95	0.096	17.03	10.66	27.69
2 (C3)	11.2	27	302.4	31.18	0.1	17.03	12.07	29.1
3 (Ю3)	11.2	42	265.3	37.86	0.14	17.03	13.3	30.33
4 (ЮB)	11.2	42	265.3	17.82	0.07	17.03	8.11	25.14

Таблица 4.24.

Наветр.							<i>q</i> инф.		
фасад	Этаж	$H_{i}$ Э,	$P_{H.\Gamma}$ ,	$P_{Hi\Im},$	$\Delta P_{i\Im}$ ,	<i>Винф.iЭ</i> ,	iЭ,	$\Delta P_{i\Im.\mathcal{B}},$	$q_{\mathit{ин} \phi.i \Im. E},$
	Этаж	M	Па	Па	Па	кг/(ч.м²)	Вт/	Па	B <sub>T</sub> / <sub>M<sup>2</sup></sub>
							M <sup>2</sup>		
СВ		1.9	28.28	62.62	34.93	7.19	94.8	5.49	45.83
		1.5	20.20	02.02	31.55	7.17	2	3.15	13.03
C3		1.9	28.28	62.62	33.52	7.0		4.08	22.68
	1-й	113	20.20	02.02	00.02	7.0	2.31		22.00
ЮЗ		1.9	28.28	62.62	32.29	6.83		2.85	17.8
							0.07		
ЮВ		1.9	28.28	62.62	37.48	7.54		8.04	34.62
							9.43		
СВ		5.0	18.85	39.24	11.55	3.44		-3.94	_
		3.0	10.03	39.24	11.55	3.44	5.36	-3.54	_
С3		5.0	18.85	39.24	10.14	3.15		-5.35	_
	2-й	0.0	10.00		10.11	3.10	1.54	0.00	
Ю3		5.0	18.85	39.24	8.91	2.89		-6.58	-
							8.11		
ЮВ		5.0	18.85	39.24	14.1	0.85		-1.39	-
							1.82		

# Заключение:

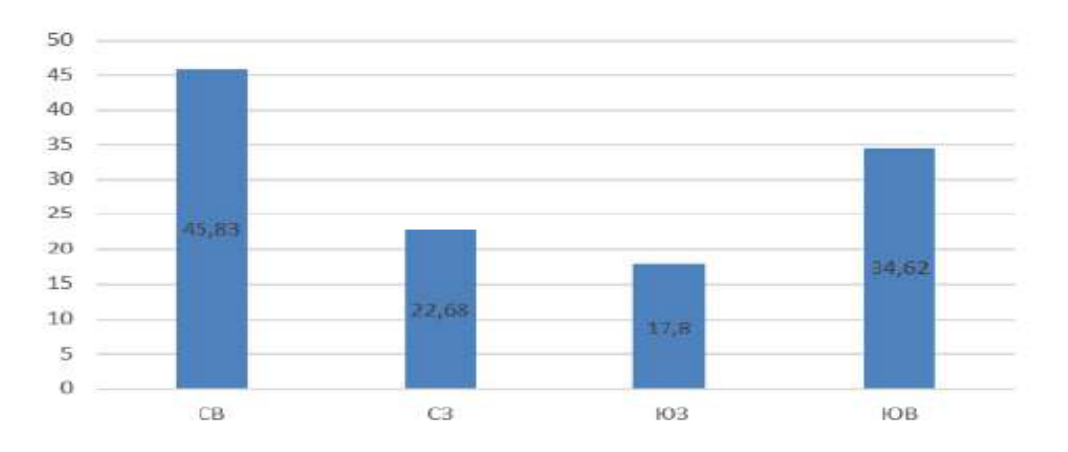


Рис. 4.10. Результаты расчета.

В северном полушарии наибольшие потери тепла зимой связаны с румбами северных ветров, так что ориентация оконных и дверных проемов п на юг обеспечивает и наилучшую защищенность от ветра.

#### Задача 2.

# Расчёт кронштейна с марки **КР-С** с вертикально ориентированной плоскостью консоли

Расчет на прочность:

Вес облицовки и направляющей:

$$\begin{split} P &= G_{\text{обл}} \cdot \gamma_{\text{обл}} \cdot L \cdot B + G_{\text{напр}} \cdot \gamma_{\text{напр}} \cdot L = \\ &= 14,0 \cdot 1,1 \cdot 0,675 \cdot 0,6 + 1,26 \cdot 1,05 \cdot 0,675 = 7,13 \text{ кг} \end{split}$$

Для трёхпролётной схемы опорная реакция по табл. 8.4 настоящей методики равна:

$$N_{w_{max}} = 1, 1 \cdot w \cdot L_1 \cdot B$$

- в угловой зоне  $N_{w\_max}$ = 1,1·282.2·0,675·0.6=125.7 кг;

- в середине здания  $N_{w\_max}$ = 1,1·159.92·0,675·0.6=71.2 кг;

Нагрузки на кронштейн:

- собственный вес P=7,13/(n+1)=7,13/(4+1)=1,43 кг.

Ветровая нагрузка

- в угловой зоне  $N_{w\_max}$ =125.7 кг;

- в середине здания  $N_{\rm w\ max} = 71.2$  кг;

Проверяем кронштейн, установленный в угловой зоне. Места приложения нагрузок показаны на рис. 4.11.

Вертикальный разрез

Горизонтальный разрез

#### Сечение 1-1 консоли кронштейна

Расчёт сечения на прочность проводится согласно формуле:

$$\sigma_{1-1} = \frac{125,7}{2,00} + \frac{31,5}{2,72} = 74,4 < R_y = 2250 \text{ кгс/см}^2$$

где

$$N_{1-1} = N_{w_{max}} = 125,7$$
кг; 
$$M_{y_{1-1}} = P \cdot e_1 = 1,43 \cdot 22 = 31,5 \text{ кг} \cdot \text{см}$$

Вывод: сечение 1-1 удовлетворяет требованиям прочности.

#### Сечение 2-2 опорной части кронштейна

Расчёт сечения на прочность проводится согласно формуле:

$$\sigma_{2-2} = \frac{289,11}{0,17} + \frac{3,29}{2,72} = 1701,9 < R_y = 2250 \,\mathrm{krc/cm^2}$$

где

$$\begin{split} M_{\text{x\_2-2}} = & N_{\text{w\_max}} \cdot e_2 = 125, 7 \cdot 2, 7 = 339, 4 \text{ кг} \cdot \text{см}; \\ M_{\text{y\_2-2}} = & P \cdot e_2 = 1, 43 \cdot 2, 7 = 3,86 \text{ кг} \cdot \text{см}; \\ W_{\text{x\_2-2}} = & 0,17 \text{ cm}^3; \\ W_{\text{y\_2-2}} = & 2,27 \text{ cm}^3; \end{split}$$

Вывод: сечение 2-2 удовлетворяет требованиям прочности.

Вывод: Кронштейн КР-С-250мм удовлетворяет требованиям прочности при расположении его на высоте 75 м в угловой зоне в III-ем районе по ветровой нагрузке.

Расчёт узла крепления кронштейна к стене

Кронштейн крепится к стене одним анкерным элементом (см. рис.4.12).

Вертикальный разрез

Горизонтальный разрез

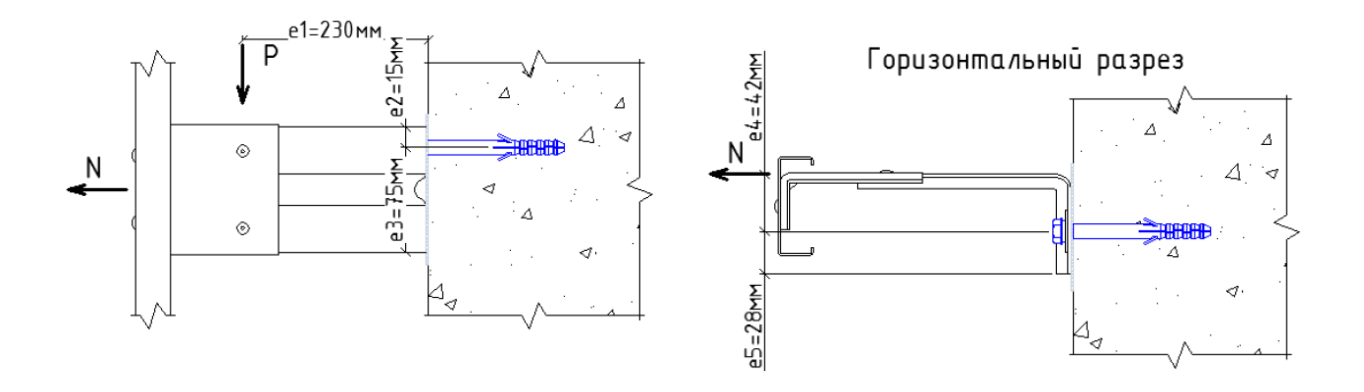


Рис.4.12. Расчётная схема проверки анкерного элемента на вырыв.

Расчёт анкерного элемента на вырыв выполняется по формуле:

$$N_{\rm B}=125.7+rac{125.7*4.2}{2.8}+rac{1.43*23}{7.5}=318.6~{
m kr}\leq N_{
m доп}$$
  $N_{
m w\_max}{=}125.7~{
m kr},$   $P{=}1.43~{
m kr}.$ 

 $N_{\text{доп}}$  — допустимое усилие вырыва для анкерного элемента на основании испытаний, проведённых на конкретном объекте, кг.

#### Расчет узла крепления удлинителя к кронштейну

Крепление удлинителя к кронштейну выполняется на двух заклёпках A2/A2 4х10, которые работают только на срез. Проверка на срез заклёпки выполняется по формуле 8.27:

$$N_s = \frac{\sqrt{1,43^2 + 125,7^2}}{2 \cdot 1} = 62.9 \text{ кгс} \le N_{rs} = 320 \text{ кгс}$$

**Вывод:** соединение кронштейна с удлинителя удовлетворяет требованиям прочности.

Задание для самостоятельного решения

Вариант для таблицы 4.26 в Приложении 2 определяется по таблице 4.25: I – предпоследняя цифра, II – последняя цифра номера зачетки.

Таблица 4.25

I	1	2	3	4	5	6	7	8	9	0
1	1	2	3	4	5	6	7	8	9	10
2	11	12	13	14	15	16	17	18	19	20

3	21	22	23	24	25	26	27	28	29	30
4	1	2	3	4	5	6	7	8	9	10
5	11	12	13	14	15	16	17	18	19	20
6	21	22	23	24	25	26	27	28	29	30
7	1	2	3	4	5	6	7	8	9	10
8	11	12	13	14	15	16	17	18	19	20
9	21	22	23	24	25	26	27	28	29	30
0	1	2	3	4	5	6	7	8	9	10

Таблица 4.26

# Варианты исходных данных для расчёта кронштейна с *вертикально* ориентированной плоскостью консоли

	Крепление направляющей к стене с шагом по	Облицовка (номер	Шаг	Кронштейн (номер	Профиль (номер
Вар.	эле зля 1 э с 1 оп	строки в	направляющих	варианта в	строки в
	реі Тенє Тенє	прил. 1	В	прил. 1	прил. 1
	, наг кст чет	табл.3)		табл.5)	табл.2)
1	675 mm	1	600 mm	1	Профиль
					СО
2	670 mm	2	590 mm	2	Профиль
				_	ТО
3	665 мм	3	580 mm	3	Профиль
	003 WW	3	360 MM	3	ГО
4	660 mm	4	570 mm	4	Профиль
4	OOO MIM	4	370 MM	4	ГО-2р
5	655 мм	5	560 mm	5	Профиль
	UJJ MIM	3	300 MM	3	ПО
6	650 мм	6	550 mm	6	Профиль
0	OSO MIM	O	330 MM	0	ZO
7	680 мм	7	610 mm	7	Профиль
/	OOU MIM	,	OTO WW	/	ПШ
8	695	0	620 ****	8	Профиль
٥	685 мм	8	620 mm	٥	ПК/1

9	690 мм	9	630 mm	9	Профиль
					ПО
10	700 mm	1	610 mm	10	Профиль СО
					Профиль
11	675 mm	2	620 mm	11	СО
					Профиль
12	670 mm	3	630 mm	12	ТО
12	CCE	4	550	12	Профиль
13	665 мм	4	550 mm	13	ГО
14	660 мм	5	610 mm	14	Профиль
14	OOO MM	3	OIO MM	14	ГО-2р
15	675 mm	6	620 mm	15	Профиль
	675 Mill		020 /////		ПО
16	680 mm	7	630 mm	16	Профиль
					ZO
17	685 mm	8	550 mm	17	Профиль
					ПП
18	690 mm	9	610 mm	18	Профиль ПК/1
					Профиль
19	700 mm	1	610 mm	19	ПО
					Профиль
20	675 mm	2	620 mm	20	СО
24	670	2	630	24	Профиль
21	670 mm	3	630 мм	21	CO
22	665 мм	4	610 mm	22	Профиль
2.2	OOS MIM	4	OTO MIM	22	ТО
23	660 мм	5	620 mm	23	Профиль
	200 111111		525 MM		ГО
24	655 mm	6	630 mm	24	Профиль
					ГО-2р
25	675 mm	7	600 mm	25	Профиль
					ПО

26	670 mm	8	590 mm	26	Профиль
20	070 MM	0	390 MM	20	ZO
27	680 mm	9	580 mm	27	Профиль
27	OSO MM	9	380 MM	21	ПШ
28	685 мм	1	570 mm	28	Профиль
20	083 MM		370 MM	20	ПК/1
29	690 mm	2	600 mm	29	Профиль
23	030 MM		OOO MIM	23	ПО
30	700 mm	700 ,,,,,		1	Профиль
30	700 101101	3	590 мм	<b>T</b>	СО

## 4.7. ПРАКТИЧЕСКОЕ ЗАНЯТИЕ № 7: Обеспечению требований энергетической эффективности. Расчеты энергетических показателей здания.

Методические указания к решению задач

При выполнении практической работы необходимо выполнить следующие расчеты:

- составить план квартиры
- составить тепловой баланс помещения с определением различных видов потерь
- оценить удельную тепловую характеристику квартиры на основе посчитанных данных.
  - разработайте мероприятия по энергоресурсосбережению.

В помещениях зданий в холодный период года создают и поддерживают тепловой режим, соответствующий задаваемым тепловым условиям и отвечающий требованиям технологического процесса. При этом тепловой режим в помещениях бывает и постоянным и переменным в зависимости от назначения зданий. Жилые здания относятся к зданиям с постоянным тепловым режимом. Постоянный тепловой режим в помещениях поддерживают круглосуточно в течение всего отопительного сезона в соответствии с требованиями теплового комфорта. Чтобы определить, требуется ли отопление и какой мощности, сопоставляют теплопотери и теплопоступления в расчетном установившемся когда возможен наибольший дефицит теплоты. Уравнивание режиме, теплопоступлений (включая теплопоступления от отопительной установки) и называют сведением теплового баланса помещений. Если теплопотерь теплопотери превышают внутренние тепловыделения, TO отопление необходимо. Если в здании, обычно производственном, теплопотери меньше тепловыделений, то отапливать помещения не нужно, В этом случае необходимо принять специальные меры для устранения теплоизбытка и достижения теплового баланса (например, средствами приточной вентиляции).

В жилых зданиях учитывают только теплопотери через ограждающие конструкции и теплозатраты на нагревание наружного воздуха, поступающего в помещения путем инфильтрации или для вентиляции. Теплопоступления в помещения происходят вследствие выделений теплоты людьми, теплопроводами и нагревательным технологическим оборудованием (печи, трубы, приборы и пр.), источниками искусственного освещения и работающим электрическим оборудованием, нагретыми материалами и изделиями.

#### Тепловой баланс помещения

Температурная обстановка в помещении зависит от тепловой мощности системы отопления, а также от расположения обогревающих устройств, теплозащитных свойств наружных ограждений, интенсивности других источников поступления и потерь теплоты. В холодное время года помещение теряет теплоту через наружные ограждения. Кроме того, теплота расходуется на нагрев наружного воздуха, который проникает в помещение через неплотности ограждений.

Сведением всех составляющих поступлений и расхода теплоты в тепловом балансе помещения определяется дефицит или избыток теплоты. Дефицит теплоты указывает на необходимость устройства в помещениях отопления. Избыток теплоты обычно ассимилируется вентиляцией. Для определения тепловой мощности системы отопления составляют баланс часовых расходов теплоты для расчетного зимнего периода.

Уравнение теплового баланса квартиры для стационарного режима имеет вид:

$$Q_{\text{огр}} + Q_{\text{инф}} = Q_{\text{со}} + Q_{\text{быт.приб.}} + Q_{\text{ч}},$$
 (4.61)

где  $Q_{\rm orp}$  - теплота, уносимая через ограждения;  $Q_{\rm инф}$  - теплота, расходуемая на нагрев инфильтрующегося воздуха;;  $Q_{\rm co}$  - теплота, поступающая от системы отопления; ;  $Q_{\rm быт.приб}$  - теплота, выделяемая бытовыми электроприборами;  $Q_{\rm ч}$  - теплота, выделяемая человеком.

Первые два значения мы уже находили в практическом занятии № 4. Обратим внимание на другие показатели:

#### Теплоотдача от бытовых электроприборов

Теплоотдача от бытовых электроприборов вычисляется по формуле:

$$Q$$
 быт.приб. =  $N \cdot \eta \cdot \tau$  (4.62)

где N - потребляемая прибором мощность, BT;  $\tau$  - время работы прибора, с/сут;  $\eta$  - коэффициент, учитывающий переход электрической энергии в тепловую.

Некоторые коэффициенты, учитывающие переход электрической энергии в тепловую даны в таблице 4.27.

Таблица 4.27 Коэффициенты, учитывающие переход электрической энергии в тепловую для различных бытовых приборов

Тип прибора	Коэфф. преобразования <i>η</i>
Лампа накаливания	0.85
Люминисцентная лампа	0.20
Магнитофон	0.60
Телевизор	0.70
Видеомагнитофон	0.55
Компьютер	0.70
Стиральная машина	0.70
Холодильник	0.65
Гриль	0.85
Электрический чайник	0.95
Электрическая плита	0.95
Плита газовая	0.95

#### Теплоотдача от человека

В организме человека постоянно вырабатывается теплота, которая должна быть отдана окружающей среде. Поддержание постоянной температуры организма около 36,6°C обеспечивается физиологической системой терморегуляции, которая нормально функционирует при этой температуре.

Напряжение системы терморегуляции сказывается на самочуствии и работоспособности человека.

В зависимости от физиологического и эмоционального состояния человека, его одежды, возраста, степени тяжести выполняемой работы и индивидуальных особенностей количество отдаваемой в окружающую среду теплоты может быть различным. В спокойном состоянии организм взрослого человека вырабатывает и отдает окружающей среде около 120 Вт, при тяжелой работе до 470 Вт, а при максимальных кратковременных нагрузках до 1000 Вт. Теплоотдача от человека вычисляется по формуле:

$$Q_4 = n \cdot \beta_1 \cdot \beta_2 \cdot (2,16 + 8,77 \forall V_B) \cdot (35 - tp) \cdot \tau_{npe6},$$
 (4.63)

где  $\beta_1$  - коэффициент, учитывающий интенсивность физической нагрузки: а) 1.0 - легкая работа; б) 1.07 - средняя работа; в) 1.15 - тяжелая работа;  $\beta_2$  - коэффициент, учитывающий утепленность одежды:

- *а*) 1,0 легкая одежда;
- б) 0,66 одежда средней утепленности;
- в) 0,5 одежда высокой утепленности;
- n количество человек в квартире;

 $V_{\rm B}$  - подвижность воздуха в помещении,  $0.10-0.12~{\rm M/c}$ ;  $au_{\rm преб}$  - время пребывания людей в помещении,  ${\rm c/cyt.}$ 

#### Оценка удельной тепловой характеристики квартиры

Удельную тепловую характеристику квартиры q,  $B T/(M^3 \cdot K)$  можно рассчитать по формуле:

$$q = Q_{\text{KB}} V_{\text{KB}} \cdot (t_p - t_{exp}) , \qquad (4.64)$$

где  $Q_{\text{кв}}$  - расчетные тепловые потери через наружные ограждения всеми помещениями квартиры, Вт;  $V_{\text{кв}}$  - объем квартиры по внешнему обмеру, м<sup>3</sup>.

#### Расчет годовых затрат теплоты

В СНиП 2.04.08- 87 «Газоснабжение» указывается определяем среднемесячную температуру. Согласно Сп 131.13330.2017 , определяем

продолжительность отопительного сезона Z, суток, и среднюютемпературу наружного воздуха в отопительный сезон t,  $^0$  C.

Найдем годовые затраты теплоты  $Q_{\text{от.год}}$ , ГДж, по формуле 6.4:

$$Q_{\text{от.год}} = 24 \cdot 3600 \cdot [Q_{\text{ot}}/(t_p - t_{exp})] \cdot \Delta Z_{\text{oc}},$$
 (4.65)

где  $Q_{\text{от}}$  - установочная тепловая мощность системы отопления по укрупненным показателям, Вт:

$$Q_{\text{OT}} = 1.07 \cdot q \cdot V_{\text{KB}} \cdot (t_p - t_{\text{exp}}), \tag{4.66}$$

где  $t_{\rm oc}^{\rm cp}$ , - средняя температура наружного воздуха в отопительный сезон, К;  $\Delta Z_{\rm oc}$  - продолжительность отопительного сезона, сут.

## Разработка мероприятий по энергоресурсосбережению и оценка эффективности в рублях

В этом разделе необходимо разработать и рассчитать мероприятия, обеспечивающие более рациональное использование энергетических ресурсов. Мероприятия могут быть различными в каждом конкретном случае. Вот несколько примеров:

- 1. Снятие с эксплуатации излишнего количества секций радиаторов или замены их на другие, с меньшей площадью поверхности.
- 2. Напыление на поверхность ниши и стен теплоизоляционного покрытия.
  - 3. Использование уплотнителей на стыках стеновых панелей.
- 4. Использование уплотнительных материалов на ограждающих конструкциях, граничащих с внешней средой (наружные стены, полы
  - 5. для первых этажей, потолки для последних этажей).

Условие задачи

Определить необходимые энергетические показатели помещения по месту жительства (составте план квартиры, составте тепловой баланс помещения с определением различных видов потерь, расчетных и действительных). Оцените удельную тепловую характеристику квартиры на основе посчитанных данных. Разработайте мероприятия по энергоресурсосбережению. І, ІІ, ІІІ — номера

помещений, в которых установлены радиаторы. Вход в квартиру выполнен в виде двух дверей с тамбуром между ними. С внешней стороны наружного ограждения помещения I имеется незастекленный балкон. Высота потолков — 2.51 м. Квартира находится на шестом этаже восьмиэтажного дома (см. рисунок 4.13)

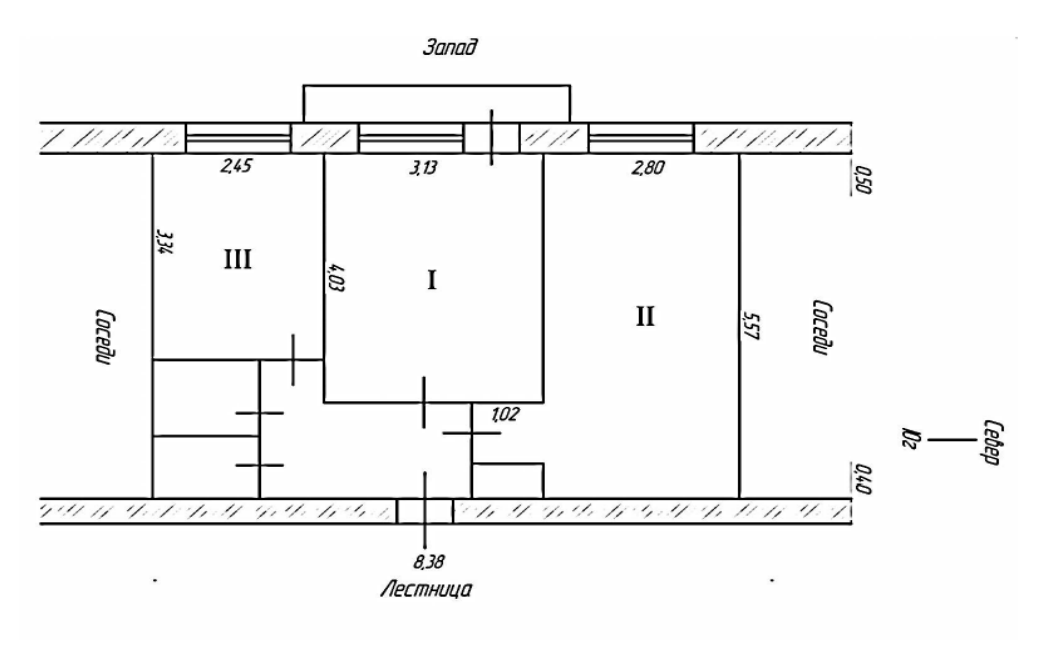


Рис. 4.13. План квартиры (размеры указаны в метрах)

Теплоотдача от некоторых бытовых приборов сведена в таблицу 4.28.

Таблица 4.28. Типы электроприборов, время их работы, теплоотдача

№	Тип прибора	Мощность, Вт	Кол-во	Коэфф. преобраз.	Время работы %	Вт
1	Лампа	60	5	0,85	0,06	15,9
2	Люминисцентная лампа	60	1	0,2	0,04	0,50
3	Светодиодная лампа	17	5	0,2	0,13	2,13
4	Холодильник	100	1	0,65	0,17	10,83
5	Компьютер	750	1	0,7	0,21	109,38
7	Монитор	17	1	0,5	0,02	0,18
8	Плита газовая	8800	1	0,95	0,08	348,33

#### Для расчета теплоотдачи от людей используем данные:

- подвижность воздуха в помещении  $V_{\scriptscriptstyle B} = 0,12$  м/с;
- коэффициент интенсивности физической нагрузки  $\beta_1=1,0;$  коэффициент утепленности одежды  $\beta_2=1,0;$

- количество человек в помещении: 2;
- время пребывания в помещении 12 ч/сут;

**Для оценки удельной тепловой характеристики квартиры и**спользуем данные:

- объем квартиры по внешнему обмеру при площади по внешнему обмеру  $S_{\text{внеш}} = 46,68 \text{ м}^2$ , толщине пола  $\delta_{\text{п}} = 0,3 \text{ м}$ , высоте потолка h=2,51 м.

Варианты ответов

Ответ дан в следующей последовательности теплоотдача от бытовых приборов, теплоотдача отлюдей, теплопотери через наружные ограждения.

- (!) A) 487;90;2872.
- Б) 487;90;2,872.
- B) 487;90;28,72.
- $\Gamma$ ) 48,790;2872.
- Д) 48790;2872.

Полное решение задачи

Теплоотдача от бытовых приборов равна 487 Вт.

Расчет по формуле дает:

$$Q_{\rm H} = 2 \cdot 1 \cdot 1 \cdot (2,16 + 8,77\sqrt{0,1}) \cdot (35 - 20) \cdot 0,5 = 90 \text{ Bt.}$$

- объем квартиры равен:

$$V_{\text{KB}} = 46,68 \cdot (2,51 + 0,3) = 131,16 \text{ m}^3;$$

-теплопотери через наружные ограждения:

$$Q_{KB} = 2415 + 457 = 2872 \text{ BT}.$$

По формуле 6.3 получим:

$$q = 2872 / 131,16 \cdot (20 - (-26)) \approx 0.5 \text{ BT/(M}^3 \cdot \text{K)}.$$

Это значит, что на 1 м3 объема квартиры при перепаде температур на внутренней и наружной поверхностях ограждений в 1°C приходится в среднем 0,5 Вт теплопотерь.

Задание для самостоятельного решения

Используйте данные на основе ваших самостоятельных измерений квартиры, в которой проживаете.

# 4.8. ПРАКТИЧЕСКОЕ ЗАНЯТИЕ № 8: Определение класса энергосбережения здания. Расчет удельного расхода тепловой энергии на отопление здания за отопительный период. Определение класса энергосбережения здания.

Методические указания к решению задач

При выполнении практической работы необходимо определить:

- общую информацию о здании
- расчетные условия функционирования здания
- геометрические показатели здания
- теплотехнические показатели
- вспомогательные показатели
- удельные характеристики здания
- коэффициенты и комплексные показатели
- -определить класс энергоэффективности здания

#### Общая информация о здании

Таблица 4.29

#### Общая информация о здании

Дата заполнения (число, месяц, год)	
Адрес здания	
Разработчик проекта	
Назначение здания, серия	
Этажность	
Конструктивное решение	

Рассмотрим ниже составляющие таблицы 4.29.

Назначение здания, серия: жилое / общественное / производственное / образовательное учреждение / лечебно-профилактическое учреждение. Если здание жилое, то указывается, многоквартирное или одноквартирное или одноквартирное блокированное.

Дом жилой одноквартирный (отдельно стоящий) — дом, предназначенный для постоянного совместного проживания одной семьи и связанных с ней родственными узами или иными близкими отношениями людей.

Дом жилой — здание квартирного типа, состоящее из двух и более квартир, каждая из которых имеет непосредственный выход на приквартирный участок.

Этажность. Указывается количество этажей и тип: малоэтажное (до трех этажей включительно) или многоэтажное.

Конструктивное решение. Указывается конструктивное исполнение здания – кирпичное, из газобетонных панелей, монолитное железобетонное, с утеплителем и т.п.

#### Расчетные условия функционирования здания

В таблице «Расчетные условия» приводятся значения параметров, определяемых по географическому местонахождению обследуемого объекта.

 Таблица 4.30

 Расчетные условия функционирования здания

№ п/п	Наименование расчетных параметров	Обозначение символа	Единицы измерения параметра	Расчетное значение
1	Расчетная температура наружного воздуха для проектирования теплозащиты	$t_{ m H}$	К	
2	Средняя температура наружного воздуха за отопительный период	$t_{ ext{ot}}$	К	
3	Продолжительность отопительного периода	$Z_{\mathrm{OT}}$	сут/год	
4	Градусо-сутки отопительного периода	ГСОП	К•сут/год	
5	Расчетная температура внутреннего воздуха для проектирования теплозащиты		К	

Рассмотрим составляющие таблицы 4.30:

Расчетная температура наружного воздуха для проектирования теплозащиты.

Продолжительность отопительного периода и средняя температура наружного воздуха за отопительный период. Принимается значение продолжительности периода со средней суточной температурой воздуха ≤ 8°C.

Градусо-сутки отопительного периода (ГСОП). Значение определяется по формуле 7.1 [(5.2) в СП 50.13330]:

$$\Gamma \text{CO}\Pi = (t_{\text{B}} - t_{\text{OT}})z_{\text{OT}}, \qquad (4.67)$$

где tв — расчетная температура внутреннего воздуха для проектирования теплозащиты. Допустимая температура воздуха принимается по СП 50.13330.

#### Геометрические показатели здания

Рассмотрим составляющие таблицы 4.30: Отапливаемый объем и площади в том числе:

- о сумма площадей этажей здания;
- о площадь жилых помещений;
- о расчетная площадь (общественных зданий);
- о общая площадь наружных ограждающих конструкций (и ее составляющие).

Таблица 4.31 **Геометрические показатели здания** 

№ п/п 6	Показатель  Сумма площадей этажей здания Площадь жилых помешений	Обозначение символа и единицы измерения показателя $\frac{A_{\text{or}},  \text{м}^2}{A_{\text{ж}},  \text{m}^2}$ $V_{\text{or}},  \text{м}^3$	Расчетное (проектное) значение показателя
8	Отапливаемый объем	Vor. M <sup>3</sup>	
9	Коэффициент остекленности фасада здания	f	
10	Показатель компактности здания	$K_{ ext{kom}}$	
11	Общая площадь наружных ограждающих конструкций здания	$A_{\mathtt{H}}^{\mathtt{cym}},  \mathtt{M}^2$	
12	в том	і числе:	
	фасадов	$A_{ m \phi ac},{ m M}^2$	
	окон и балконных дверей	$A_{ok}$ , $M^2$	
	входных дверей	$A_{\rm дB},{ m M}^2$	
№ π/π	Показатель	Обозначение символа и единицы измерения показателя	Расчетное (проектное) значение показателя
	чердаков	$A_{\mathtt{черд}}$	
13	Окон по сторонам света:		
	C		
	3		
	В		
	Ю		
	ЮВ/Ю3		
	CB/C3		

Должны браться из типового проекта здания, но если получение этих данных сопряжено с трудностями, то эти значения считаются приближенно.

Площадь жилых помещений, к которым относятся спальни, детские, гостиные, кабинеты, библиотеки, столовые, кухни-столовые, м<sup>2</sup>. Отапливаемый объем, ограниченный внутренними поверхностями наружных ограждений здания — стен, покрытий (чердачных перекрытий), перекрытий пола первого этажа или пола подвала при отапливаемом подвале, м3.

Коэффициент остекленности фасада здания — это отношение площадей светопроемов к суммарной площади наружных ограждающих конструкций фасада здания, включая светопроемы [СП 50.13330]. Показатель компактности здания — это отношение общей площади внутренней поверхности наружных ограждающих конструкций здания к заключенному в них отапливаемому объему [СП 50.13330].

#### Теплотехнические показатели

Таблица 4.32 Теплотехнические показатели

№ п/п	Показатель	Обозначение и единицы измерения	Нормируемое значение	Расчетное (проектное) значение
14	Приведенное сопротивление	$R_0^{\text{np}}, \text{ M}^2 \cdot \text{K/BT}$		
	теплопередаче наружных ограждений, в том числе	- /		
	стен окон и балконных дверей	$R^{\Pi p}_{0, \text{ct}} = R^{\Pi p}_{0, \text{ok}}$		
	входных дверей	$R^{ m np}_{0,{\scriptscriptstyle { m BX}}.{\scriptscriptstyle { m JB}}}$		
	перекрытий (совмещенных)	$R^{\mathrm{np}}_{0,\mathrm{nepek}}$		
	чердаков	$R^{\mathrm{np}}_{0,\mathrm{черд}}$		

Рассмотрим значения из таблицы 4.32:

Нормируемые значения приведенных сопротивлений теплопередаче ограждающих конструкций считаются согласно п. 5.3, таблицы 4 в [СП 50.13330] в зависимости от градусо-суток района строительства:

$$R_S = \alpha \cdot D_d + b , \qquad (4.68)$$

где  $D_d$  - градусо-сутки отопительного периода, °C·сут, для конкретного пункта;  $\alpha$ , b - коэффициенты, значения которых следует принимать по данным таблицы 4 [СП 50.13330] для соответствующих групп зданий, за исключением графы 6 для группы зданий в поз. 1, где для интервала до 6000 °C·сут: a = 0,000075, b = 0,15; для интервала 6000 - 8000 °C·сут:  $\alpha = 0,00005$ , b = 0,3; для интервала 8000 °C·сут и более:  $\alpha = 0,000025$ ; b = 0,5 [СП 50.13330].

Расчетные значения рассчитываются согласно формуле (Е.6) в [СП 50.13330]:

$$R_0^{\text{усл}} = \frac{1}{\alpha_{\text{B}}} + \sum_{s} R_s + \frac{1}{\alpha_{\text{H}}},$$
 (4.69)

где  $\propto_{\rm B}$  - коэффициент теплоотдачи внутренней поверхности ограждающей конструкции,  ${\rm BT/(m2\cdot K)}$ , принимаемый по таблице 4 в [СП 50.13330];  $\propto_{\rm H}$  - коэффициент теплоотдачи наружной поверхности ограждающей конструкции,  ${\rm BT/(m2\cdot K)}$ , принимаемый по таблице 6 в [СП 50.13330];  $R_s$  - термическое сопротивление слоя однородной части фрагмента, (м2·К)/Вт, определяемое для материальных слоев по формуле (Е.7) в [СП 50.13330]:

$$R_s = \frac{\delta_s}{\lambda_s},\tag{4.70}$$

где  $\delta_s$  - толщина слоя, м;  $\lambda_s$  - теплопроводность материала слоя,  $\mathrm{Br/(m\cdot K)}.$ 

Теплозащитная оболочка здания должна отвечать следующим требованиям:

- а) приведенное сопротивление теплопередаче отдельных ограждающих конструкций должно быть не меньше нормируемых значений (поэлементные требования);
- б) удельная теплозащитная характеристика здания должна быть не больше нормируемого значения (комплексное требование);
- в) температура на внутренних поверхностях ограждающих конструкций должна быть не ниже минимально допустимых значений (санитарногигиеническое требование).

Требования тепловой защиты здания будут выполнены при одновременном выполнении требований а), б) и в) [СП 50.13330].

#### Вспомогательные показатели

Таблица 4.33

№		Обозначение	Расчетное
$\Pi/\Pi$	Показатель	и единица	проектное значение
11/11		измерения	показателя
15	Общий коэффициент теплопередачи	$K_{\text{общ}}$ ,	
13	здания	$K_{\text{общ}},$ $\text{BT/(M}^2 \cdot \text{K)}$	
	Средняя кратность воздухообмена		
16	здания за отопительный период при	$n_B, \mathbf{q}^{-1}$	
	удельной норме воздухообмена		
17	Удельные бытовые тепловыделения в	$q_{\mathrm{быт}},\mathrm{Br/M}^2$	
1 /	здании	<i>ч</i> <sub>быт</sub> , Б1/м	

Рассмотрим составляющие таблицы 4.33.

Общий коэффициент теплопередачи здания  $Bt/(M2\cdot K)$  определяется по формуле (Ж.2) в [СП 50.13330]:

$$K_{\text{общ}} = \frac{1}{A_{\text{H}}^{\text{сум}}} \cdot \sum_{i} \left( n_{t,i} \cdot \frac{A_{\phi,i}}{R_{o,i}^{\text{пр}}} \right),$$
 (4.71)

где  $R_{o,i}^{\rm пp}$  — расчетное сопротивление теплопередаче і-го фрагмента теплозащитной оболочки здания, (м²·К)/Вт;  $A_{\Phi,i}$  — площадь соответствующего фрагмента теплозащитной оболочки, м²;  $n_{t,i}$  — коэффициент, учитывающий отличие внутренней или наружной температуры у конструкции от принятых в расчете, принимается равным единице;  $A_{\rm H}^{\rm cym}$  — общая площадь наружных ограждающих конструкций здания, м².

Средняя кратность воздухообмена здания за отопительный период  $n_{\text{в}}$ , ч $^{\text{-1}}$  рассчитывается по формуле ( $\Gamma$ .4) в [СП 50.13330]:

$$n_{\rm B} = \frac{\left[\frac{L_{\rm BeHT} \cdot n_{\rm BeHT}}{168} + \frac{G_{\rm инф} \cdot n_{\rm инф}}{168 \cdot \rho_{\rm B}^{\rm BeHT}}\right]}{\beta_{\nu} \cdot V_{\rm OT}},\tag{4.72}$$

где  $L_{\rm вент}$  - количество приточного воздуха в здании при неорганизованном притоке либо нормируемое значение при механической вентиляции, м3/ч, равное для:

- а) жилых зданий, предназначенных гражданам с учетом социальной нормы (с расчетной заселенностью квартиры  $20~{\rm m}^2$  общей площади и менее на человека)  $3{\rm A}_{\rm x}$ ;
- б) других жилых зданий  $0,35\cdot3A_{\rm ж}$ , но не менее 30m; где m расчетное число жителей в здании;

Аж — площадь жилых помещений, к которым относятся спальни, детские, гостиные, кабинеты, библиотеки, столовые, кухни-столовые, м $^2$ ;  $n_{\text{вент}}$  — число часов работы механической вентиляции в течение недели, ч. Принимается равным 168 по числу часов в неделе;  $G_{\rm инф}$  - количество инфильтрующегося воздуха в здание через ограждающие конструкции, кг/ч: для жилых зданий воздуха, поступающего в лестничные клетки в течение суток отопительного периода [СП 50.13330]; для лестнично-лифтовых узлов (ЛЛУ) жилых зданий количество инфильтрующегося воздуха, поступающего через неплотности заполнения проемов; допускается принимать в зависимости от этажности здания: до трех этажей — равным  $0.3\beta vV_{\it ЛЛУ}$ , от четырех до девяти этажей —  $0.45 \beta v V_{JJJV}$ , выше девяти этажей —  $0.6 \beta v V_{JJJV}$ , где  $V_{JJJV}$  — отапливаемый объем лестнично-лифтовых холлов здания. Для ЛЛУ без поэтажных выходов на балконы количество инфильтрующегося воздуха, полученное по упрощенным формулам следует уменьшать в два раза;  $n_{\rm инф}$  - число часов учета инфильтрации в течение недели, ч, равное 168 для зданий с сбалансированной приточновытяжной вентиляцией и (168 – пвент) для зданий, в помещениях которых поддерживается подпор воздуха во время действия приточной механической вентиляции;  $\rho_{\rm B}^{\rm Beht}$  - средняя плотность приточного воздуха за отопительный период,  $\kappa \Gamma / M^3$  [СП 50.13330]:

$$\rho_{\rm B}^{\rm Beht} = \frac{353}{273 + t_{\rm ot}},\tag{4.73}$$

 $\beta_{v}$  - коэффициент снижения объема воздуха в здании, учитывающий наличие внутренних ограждающих конструкций.

При отсутствии данных принимать  $\beta v=0.85$ ;

 $V_{\text{от}}$  - отапливаемый объем здания, равный объему, ограниченному внутренними поверхностями наружных ограждений здания, м<sup>3</sup>.

 $q_{\delta \omega m}$ , Вт/м² — величина бытовых тепловыделений на 1 м² площади жилых помещений (АЖ) , принимаемая для:

- а) жилых зданий с расчетной заселенностью квартир менее 20 м $^2$  общей площади на человека  $q_{\delta \omega m}$ =17 Вт/м $^2$ ;
- б) жилых зданий с расчетной заселенностью квартир 45 м $^2$  общей площади и более на человека  $q_{\it быm}$ =10 Bт/м $^2$ ;
- в) других жилых зданий в зависимости от расчетной заселенности квартир по интерполяции величины  $q_{\it быm}$  между 17 и 10 Вт/м² [СП 50.13330].

#### Удельные характеристики здания

 Таблица 4.34

 Удельные характеристики здания

№ п/п	Показатель	Обозначение показателя и единица измерения	Расчетное проектное значение показателя
18	Удельная теплозащитная характеристика здания	$k_{\text{of}},  \text{Bt/}(\text{m}^3 \cdot \text{K})$	
19	Удельная вентиляционная характеристика здания	$k_{\text{вент}},  \text{Bt/(M}^3 \cdot \text{K)}$	
20	Удельная характеристика бытовых тепловыделений здания	$k_{\text{быт}}, \mathrm{Bt/(m^3\!\cdot\!K)}$	
21	Удельная характеристика теплопоступлений в здание от солнечной радиации	$k_{\mathrm{pag}},\mathrm{Br/(M}^3\cdot\mathrm{K})$	

Рассмотрим значения из таблицы 4.34.

Удельная теплозащитная характеристика здания определяется по формуле (Ж.1) в [СП 50.13330]:

$$k_{\text{об}} = \frac{1}{V_{\text{от}}} \cdot \sum_{i} \left( n_{t,i} \cdot \frac{A_{\phi,i}}{R_{o,i}^{\text{пр}}} \right) = K_{\text{комп}} \cdot K_{\text{общ}},$$
 (4.74)

где  $K_{\text{комп}}$  то же, что и в таблице 4.31;  $K_{\text{общ}}$  то же, что и в таблице 4.33.

Удельная вентиляционная характеристика здания определяется по формуле (Г.2) в [СП 50.13330]:

$$k_{\text{вент}} = 0.28 \cdot c \cdot n_{\text{B}} \cdot \beta_{\nu} \cdot \rho_{\text{вент}} (1 - k_{\text{эф}}), \tag{4.75}$$

где c - удельная теплоемкость воздуха, равная 1кДж/(кг·К);  $\beta_{\nu}$  - коэффициент снижения объема воздуха в здании, учитывающий наличие внутренних ограждающих конструкций. При отсутствии данных принимать  $\beta_{\nu}$ =0,85;  $\rho_{\text{вент}}$  - средняя плотность приточного воздуха за отопительный период, кг/м3 (то же, что и в п.7.5);  $n_{\rm g}$  - средняя кратность воздухообмена здания за отопительный

период (то же что и в таблице 7.5);  $k_{3\phi}$  - коэффициент эффективности рекуператора, кэф, отличен от нуля в том случае, если: средняя воздухопроницаемость квартир жилых и помещений общественных зданий (при закрытых приточно-вытяжных вентиляционных отверстиях) обеспечивает в период испытаний воздухообмен кратностью n50 ч-1, при разности давлений 50 Па наружного и внутреннего воздуха при вентиляции с механическим побуждением n50 $\leq$  2 ч-1; кратность воздухообмена зданий и помещений при разности давлений 50 Па и их среднюю воздухопроницаемость определяют по ГОСТ 31167. Принимаем равным 0,4.

Удельная характеристика бытовых тепловыделений здания рассчитывается по формуле [СП 50.13330]:

$$K_{\text{общ}} = \frac{q_{\text{быт}} \cdot A_{\text{ж}}}{V_{\text{от}} \cdot (t_{\text{B}} - t_{\text{от}})} \tag{4.76}$$

где qбыт - величина тепловых тепловыделений;  $A_{\infty}$  - сумма площадей всех помещений, за исключением коридоров, тамбуров, переходов, лестничных клеток, лифтовых шахт, внутренних открытых лестниц и пандусов, а также помещений, предназначенных для размещения инженерного оборудования и сетей, м²,;  $V_{om}$  - отапливаемый объем;  $t_{\rm g}$  - расчетная средняя температура внутреннего воздуха, °C,;  $t_{om}$  - средняя температура наружного воздуха, °C.

Удельная характеристика теплопоступлений в здание от солнечной радиации определяется по формула Г.7 [СП 50.13330]:

$$k_{\text{рад}} = \frac{11.6 \cdot Q_{\text{рад}}^{\text{год}}}{V_{\text{от}} \cdot \Gamma \text{CO\Pi}},$$
(4.77)

где  $Q_{\rm pag}^{\rm rog}$  - теплопоступления через окна от солнечной радиации в течение отопительного периода, МДж/год, для четырех фасадов зданий, ориентированных по четырем направлениям, определяемые по формуле:

$$Q_{\text{рад}}^{\text{год}} = \tau_{1\text{ок}} \cdot \tau_{2\text{ок}} \cdot (A_{\text{ок1}} \cdot I_1 + A_{\text{ок2}} \cdot I_2 + A_{\text{ок3}} \cdot I_3 + A_{\text{ок4}} \cdot I_4), \tag{4.78}$$

где  $au_{10\mathrm{K}}$  - коэффициент относительного проникания солнечной радиации для светопропускающих заполнений окон, принимается по [СП 23-101-2004] и равен

0,68;  $\tau_{20\mathrm{K}}$  - коэффициент, учитывающий затенение светового проема окон непрозрачными элементами заполнения, принимается по [СП 23-101-2004] и равен 0,8;  $A_{\mathrm{OK}}$  - площадь светопроемов фасадов здания (глухая часть балконных дверей исключается), соответственно ориентированных по четырем направлениям, м2; I - средняя за отопительный период величина солнечной радиации на вертикальные поверхности при действительных условиях облачности, соответственно ориентированная по четырем фасадам здания, МДж/(м2·год), определяется по [СП 23-101-2004] и равна для Санкт-Петербурга: на СВ/СЗ - 455, на С - 394, на Ю - 1009, на ЮВ/ЮЗ - 902, на В/З - 650.

#### Коэффициенты и комплексные показатели

Рассмотрим составляющие таблицы 4.35:

- ζ Коэффициент эффективности авторегулирования подачи теплоты в системах отопления; рекомендуемые значения:
- $\circ$   $\zeta=1,0$  в однотрубной системе с термостатами и с пофасаднымавторегулированием на вводе или поквартирной горизонтальной разводкой;
- $\circ$   $\zeta = 0.95$  в двухтрубной системе отопления с термостатами и с центральным авторегулированием на вводе;
- $\circ$   $\zeta = 0,9$  однотрубной системе с термостатами и с центральным авторегулированием на вводе или в однотрубной системе без термостатов и с пофасадным авторегулированием на вводе, а также в двухтрубной системе отопления с термостатами и без авторегулирования на вводе;
- $\circ$   $\zeta = 0.85$  в однотрубной системе отопления с термостатами и без авторегулирования на вводе;
- $\circ$   $\zeta = 0,7$  в системе без термостатов и с центральным авторегулированием на вводе с коррекцией по температуре внутреннего воздуха;

Таблица 4.35

#### Коэффициенты и комплексные показатели зданий

No	Показатель	Обозначение	Нормативное
$\Pi/\Pi$			значение показателя
22	Коэффициент эффективности	ح	
	авторегулирования отопления	5	
	Коэффициент, учитывающий		
23	снижение теплопотребления жилых	ξ	
23	зданий при наличии поквартирного	5	
	учета тепловой энергии на отопление		
24	Коэффициент эффективности	$k_{ightarrow b}$	
24	рекуператора	<i>п</i> эф	
	Коэффициент, учитывающий		
25	снижение использования	v	
23	теплопоступлений в период		
	превышения их над теплопотерями		
26	Коэффициент учета дополнительных	R.	
26	теплопотерь системы отопления	$eta_h$	

- $\circ$   $\zeta = 0,5$  в системе без термостатов и без авторегулирования на вводе -регулирование центральное в центральном тепловом пункте (ЦТП) или котельной.
- $\xi$  коэффициент, учитывающий снижение теплопотребления жилых зданий при наличии поквартирного учета тепловой энергии на отопление, принимается до получения статистических данных фактического снижения  $\xi$  = 0,1.
  - $k_{\circ \phi}$  Коэффициент эффективности рекуператора.
- v коэффициент снижения теплопоступлений в период превышения их над теплопотерями за счёт тепловой инерции ограждающих конструкций определяется по приложению  $\Gamma$  в [СП 50.13330]:

$$\upsilon = 0.7 + 0.000025(\Gamma \text{CO}\Pi - 1000),$$
 (4.79)

- $\beta_h$  коэффициент учета дополнительных теплопотерь системы отопления, связанное с дискретностью номинального теплового потока номенклатурного ряда отопительных приборов, их дополнительными теплопотерями через зарадиаторные участки ограждений, повышенной температурой воздуха в угловых помещениях, теплопотерями трубопроводов, проходящих через неотапливаемые помещения для:
  - о многосекционных и других протяженных зданий βh=1,13;

- о зданий башенного типа βh=1,11;
- о зданий с отапливаемыми подвалами или чердаками βh=1,07;
- о зданий с отапливаемыми подвалами и чердаками, а также с квартирными генераторами теплоты βh=1,05.

Таблица 4.36

#### Комплексные показатели

№ п/п	Показатель	Обозначение показателя и единица измерения	Значение показателя
27	Удельный расход тепловой энергии на отопление и вентиляцию здания за отопительный период	$q$ , к $B$ т·ч $/(M^3$ ·год)	
28	Расчетная удельная характеристика расхода тепловой энергии на отопление и вентиляцию зданий за отопительный период	$q^{p}_{ \text{or}}  ,  \text{Bt/}(\text{M}^{3} \cdot \text{K})$	
29	Расход тепловой энергии на отопление и вентиляцию здания за отопительный период	$Q^{\text{год}}_{\text{от}}$ , к $B$ т·ч/год	
30	Нормируемая (базовая) удельная характеристика расхода тепловой энергии на отопление и вентиляцию зданий	$q^{\text{TP}}_{\text{ot}}, \text{Bt/}(\text{M}^3 \cdot \text{K})$	
31	Класс энергосбережения		
32	Соответствует ли проект здания нормативному требованию по теплозащите		

Рассмотрим значения показателей из таблицы 4.36.

Удельный расход тепловой энергии на отопление и вентиляцию здания за отопительный период q, кBт·ч/(м3·год) или, кBт·ч/(м2·год) следует определять по формуле:

$$q = 0.024 \cdot \Gamma \text{CO}\Pi \cdot q_{pom}, \qquad (4.80)$$

где  $q_{pom}$  — расчетная удельная характеристика расхода тепловой энергии на отопление и вентиляцию зданий за отопительный период:

$$q_{\text{OT}}^{\text{p}} = [k_{o\delta} + k_{\text{Behm}} - (k_{\delta \text{bim}} + k_{pa\delta}) \cdot \nu \cdot \zeta(1 - \xi) \cdot \beta_h, \quad (4.81)$$

где  $k_{o \bar{o}}$  - удельная теплозащитная характеристика здания, Вт/м3·К;  $k_{gen}$  - удельная вентиляционная характеристика здания, Вт/м3·К;  $k_{\bar{o} \omega m}$  - удельная характеристика

бытовых тепловыделений здания,  $Bт/м3\cdot K$ ;  $k_{pa\partial}$  - удельная характеристика теплопоступлений в здание от солнечной радиации,  $Bт/м3\cdot K$ .

Расход тепловой энергии на отопление и вентиляцию здания за отопительный период  $Q_{\rm ot}^{\rm rod}$ , кВт·ч/год, следует определять по формуле [СП 50.13330]:

$$Q_{\text{от}}^{\text{год}} = 0.024 \cdot \Gamma \text{СО\Pi} \cdot V_{\text{от}} \cdot q_{\text{от}}^{\text{p}}, \tag{4.82}$$

Таблица 4.37

## Нормируемая (базовая) удельная характеристика расхода тепловой энергии на отопление и вентиляцию зданий, $q_{\rm or}^{\rm Tp}$ , ${\rm BT/(m^3 \cdot K)}$ [СП 50.13330]

Тип здания	Этажность здания							
	1	2	3	4, 5	6, 7	8, 9	10, 11	12 и
	1	4	3	7, 3	0, 7	0, 9	10, 11	выше
Жилые								
многоквартирные,	0,455	0,414	0,372	0,359	0,336	0,319	0,301	0,290
гостиницы, общежития								
многоквартирные,								

Примечание - Для регионов, имеющих значение ГСОП=8000 °С·сут и более, нормируемые  $q^{\text{тр}}$  следует снизить на 5%

Класс энергосбережения:

$$(q_{\text{ot}}^{\text{p}} - q_{\text{ot}}^{\text{tp}})/q_{\text{ot}}^{\text{p}} * 100\%,$$
 (4.83)

Классы энергосбережения жилых и общественных зданий, [СП 50.13330] (табл 4.38)

Обозначение класса	Наименование класса	Величина отклонения расчетного (фактического) значения удельной характеристики расхода тепловой энергии на отопление и вентиляцию здания от нормируемого, %	Рекомендуемые мероприятия, разрабатываемые субъектами РФ
При проег	ктировании и экс	плуатации новых и реконстру	ируемых зданий
A++	Очень высокий	Ниже -60	Экономическое стимулирование
A+		От -50 до -60 включительно	
A		От -40 до -50 включительно	
B+	Высокий	От -30 до - 40 включительно	Экономическое стимулирование
В		От -15 до -30 включительно	
C+	Нормальный	От -5 до -15 включительно	Мероприятия не разрабатываются
С		От +5 до -5 включительно	
C-		От +15 до +5 включительно	
	При эксплу	уатации существующих здани	й
D	Пониженный	От +15,1 до +50 включительно	Реконструкция при соответствующем экономическом обосновании
E	Низкий	Более +50	Реконструкция при соответствующем экономическом обосновании, или снос

Условие задачи

Определить класс энергоэффективности здания. Исходные данные приведены в табл.4.39-4.42.

Таблица 4.39

Общая информация о здании

Назначение здания, серия	Жилое
Этажность	15,18-этажное
Конструктивное решение	Стены из монолитного железобетона с заполнением пенобетоном и облицованные кирпичом. Кровля-совмещенная . рулонная с защитным слоем гравия. Окна- металлопластиковые

Расчетные условия функционирования здания

		<i>⊌</i> / <u>1</u> ■.		
№	Наименование расчетных	Обозначение	Единицы	Расчетное
$\Pi/\Pi$	параметров	символа	измерения	значение
1	Расчетная температура наружного воздуха для проектирования теплозащиты	$t_{\mathtt{H}}$	К	-26
2	Средняя температура наружного воздуха за отопительный период	$t_{ m ot}$	К	-1,8
3	Продолжительность отопительного периода	$Z_{ m OT}$	сут/год	220
4	Градусо-сутки отопительного периода	ГСОП	К∙сут/год	4796
5	Расчетная температура внутреннего воздуха для проектирования теплозащиты	$t_{\mathtt{B}}$	К	20

Таблица 4.41 **Геометрические показатели здания** 

	<del>-</del>		
№ п/п	Показатель	Обозначение и единицы измерения	Расчетное (проектное) значение
6	Сумма площадей этажей здания	$A_{or},\mathtt{M}^2$	13184,00
7	Площадь жилых помещений	$A_{\mathbf{x}}, \mathbf{M}^2$	7188,80
8	Отапливаемый объем	$A_{\mathbf{x}}, \mathbf{M}^2$ $V_{\mathbf{or}}, \mathbf{M}^3$	53748,20
9	Коэффициент остеклённости фасада здания	f	0,37
10	Показатель компактности здания	$K_{\text{kom}}$ , $\text{M}^{-1}$	0,21
11	Общая площадь наружных ограждающих конструкций здания		11313,95
12	в том числе:		
	фасадов	$A_{\phi ac}$ , $M^2$	5757,50
	окон и балконных дверей	$A_{ok}$ , $M^2$	3315,00
	входных дверей	$A_{\rm дв},{ m M}^2$	6,25
	покрытий (совмещенных)	$A_{покр}$	1117,60
	чердаков	$A_{\mathtt{черд}}$	1117,60
13	Окон по сторонам света:		
	C		1234
	3		423,5
	В		423,5
	Ю		1234
	ЮВ/Ю3		
	CB/C3		

Для стены  $D_d$ =0,00035, для остекления  $D_d$ =0,000075, для перекрытия  $D_d$ =0,00045, для чердака  $D_d$ =0,0005.

#### Вспомогательные показатели

№ п/п	Показатель	Обозначение и единица измерения	Расчетное проектное значение показателя
15	Общий коэффициент теплопередачи здания	$K_{\text{общ}}, \text{Вт/(м}^2 \cdot \text{K)}$	0,777
16	Средняя кратность воздухообмена здания за отопительный период при удельной норме воздухообмена	$n_B$ , $\operatorname{\Psi}^{-1}$	0,482
17	Удельные бытовые тепловыделения в здании	$q_{\mathtt{быт}},$ $\mathrm{Bt/m}^2$	17

#### Полное решение задачи

Градусо-сутки отопительного периода (ГСОП). Значение определяется по формуле (7.1):

$$\Gamma$$
СОП =  $(20 - (-1.8)) \cdot 220 = 4796$  (К · сут/год).

Вкладом площади входных дверей  $(A_{\rm дв})$  в общий расчет можно пренебречь, поскольку их площадь составляет 0.055% от общей площади ограждающих конструкций.

Коэффициент остеклённости фасада здания:

$$f = 3315/(5757,5+3315)=0,37$$

Показатель компактности здания:

$$K_{\text{комп}} = 11313,95/53748,2 = 0,21 \text{ (M}^{-1}\text{)}.$$

Нормируемые значения  $R_{req}$  приведенных сопротивлений теплопередаче ограждающих конструкций считаются по формулам:

Для наружной стены:  $R_{req}$ =4796\*0,00035+1.4=3,08 м<sup>2</sup>·К/Вт

Для остекления:  $R_{req}$ =4796\*0,000075+0,15=0,51 м<sup>2</sup>·К/Вт

Для перекрытия:  $R_{req}$ =4796\*0,00045+1,9=4,06 м<sup>2</sup>·К/Вт

Для чердаков:  $R_{req}$ =4796\*0,0005+2,2=4,59 м<sup>2</sup>·К/Вт

1. Наружная стена

Состав:

- кирпич по ГОСТ 530-95  $\lambda$ =0,38 (Вт/м2·К),  $\delta$ =0,12 м;
- Rockwool Фасад Баттс  $\lambda$ =0,045 (Вт/м2·К),  $\delta$ =0,12 м;

- железобетон  $\lambda$ =2,04 (Вт/м2·К),  $\delta$ =0,18 м.

Сопротивление теплопередаче  $R_{\text{факт}}$  определяется по формуле:

$$R_{\phi a \kappa \tau} = 1/8,7 + 0,18/2,04 + 0,12/0,045 + 0,120/0,38 + 1/23 = 3,23 \text{ (M}^2 \cdot \text{K)/Bt}$$

Как видно из расчёта  $R_{\phi a \kappa r} > R_{req}$  - следовательно, конструкция стены соответствует требованиям норм.

Окна и балконные двери

Для заполнения проемов применен двухкамерный стеклопакет в одинарном переплете с межстекольным расстоянием 8 мм в ПВХ переплетах с приточным шумозащитным клапаном "Airbox Comfort"  $R_{ok}$ =0,51 (м²-К)/Вт.

#### Перекрытие

Состав: - цементно-песчаный раствор  $\lambda$ =0,93 (Вт/м2·К),  $\delta$ =0,05 м;

- гидроизоляция  $\lambda$ =0,17 (Bт/м2·K),  $\delta$ =0,003 м;
- газобетон 600 кг/м3  $\lambda$ =0,26 (Вт/м2·К),  $\delta$ =0,05 м;
- железобетон  $\lambda$ =2,04 (Вт/м2·К),  $\delta$ =0,22 м.

Сопротивление теплопередаче  $R_{\phi a \kappa \tau}$  определяется по формуле:

$$R_{\phi a \kappa \tau} = 1/8,7 + 0,05/0,93 + 0,003/0,17 + 0,05/0,26 + 0,22/2,04 + 1/23 =$$

$$= 4,18 \text{ (m2 \cdot K)/Bt}$$

Как видно из расчета  $R_{\phi a \kappa \tau} > R_{req}$  - следовательно, конструкция перекрытий соответствует требованиям норм.

4. Чердачные перекрытия:

Состав: - цементно-песчаный раствор  $\lambda$ =0,93 (Вт/м2·К),  $\delta$ =0,05 м;

- гидроизоляция  $\lambda$ =0,17 (Вт/м2·К),  $\delta$ =0,003 м;
- пенополистирол  $\lambda$ =0,032 (Вт/м2·К),  $\delta$ =0,13 м;
- газобетон 600 кг/м3  $\lambda$ =0,26 (Вт/м2·К),  $\delta$ =0,05 м;
- железобетон  $\lambda$ =2,04 (Bт/м2·K),  $\delta$ =0,22 м.

Сопротивление теплопередаче Рфакт определяется по формуле:

$$R_{\phi \text{akt}} = 1/8, 7 + 0,05/0,93 + 0,003/0,17 + 0,13/0,032 + 0,05/0,26 + 0,22/2,04 + 1/23 = 4,5$$
 
$$9 \text{ (M2·K)/Bt}.$$

Как видно из расчета  $R_{\phi \text{акт}} = R_{\text{req}}$  - следовательно, конструкция чердака соответствует требованиям норм.

Общий коэффициент теплопередачи здания  $Bt/(M^2 \cdot K)$  определяется по формуле:

Кобщ =
$$1/11313,95 \cdot (5757,5/3,23+3315/0,51+1117,6/4,18+1117,6/4,59)=0,777$$
 Вт/(м2 · K).

Средняя кратность воздухообмена здания за отопительный период  $n_{\text{в}},$  ч<sup>-1</sup> рассчитывается по формуле:

$$n_{\text{\tiny B}} = [(3.7188.80.168)/168 + (0.6.0.85.1268.5.168)168.1.3]/$$

$$/0.85.53748.20 = 0.482 \text{ y}^{-1}$$

Удельная теплозащитная характеристика здания определяется по формуле:

$$k_{\text{o}6} = 0.21 \cdot 0.777 = 0.163 \text{ BT/(M}^3 \cdot \text{K)}.$$

Удельная вентиляционная характеристика здания определяется по формуле:

$$k_{\text{вент}} = 0.28 \cdot 1 \cdot 0.85 \cdot 1.3 \cdot (1 - 0.4) = 0.18 \text{ BT/(M}^3 \cdot \text{K)}.$$

Удельная характеристика бытовых тепловыделений здания рассчитывается по формуле:

$$k_{\text{быт}} = (17 \cdot 7188, 8)/(53748.2 \cdot (20+1, 8)) = 0,1 \text{ BT/(M}^3 \cdot \text{K)}.$$

Удельная характеристика теплопоступлений в здание от солнечной радиации определяется по формула:

$$k_{\text{рад}} == (11,6 \cdot 1241327,5)/(53748,2 \cdot 4796) = 0,056 \text{ BT/(м3} \cdot \text{K)},$$
 $Q_{\text{рад}}^{\text{год}} = 0,68 \cdot 0,8 \cdot (1234 \cdot 394 + 423,5 \cdot 650 + 423,5 \cdot 650 + 1234 \cdot 1009) =$ 
 $= 1241327,5 \text{ МДж/год}.$ 

где  $Q_{\mathrm{pag}}^{\mathrm{rog}}$  - теплопоступления через окна от солнечной радиации в течение МДж/год, отопительного периода, ДЛЯ четырех фасадов зданий, ориентированных по четырем направлениям, определяемые по формуле (4.63): υ - коэффициент снижения теплопоступлений в период превышения их над теплопотерями тепловой инерции конструкций засчет ограждающих определяется по формуле:

$$\upsilon = 0.7 + 0.000025(4796 - 1000) = 0.8.$$

Удельный расход тепловой энергии на отопление и вентиляцию здания за отопительный период q, кВт·ч/(м3·год) следует определять по формуле:

$$q = 0.024 \cdot 4796 \cdot 0.224 = 25.78 \text{ кВт} \cdot \text{ч/(м}^3 \cdot \text{год)}$$

где  $q_{pot}$  — расчетная удельная характеристика расхода тепловой энергии на отопление и вентиляцию зданий за отопительный период, определяется по формуле:

$$q_{\text{oT}}^{\text{p}} == [0,163 + 0,18 - (0,1 + 0,056) \cdot 0,8 \cdot 0,95] \cdot (1 - 0,1) \cdot 1,11 =$$
  
= 0,224 BT/(M3 · K)

Расход тепловой энергии на отопление и вентиляцию здания за отопительный период  $Q_{\text{от}}^{\text{год}}$ , кВт·ч/год, следует определять по формуле:

$$Q_{\text{от}}^{\text{год}} = 0,024 \cdot 4796 \cdot 53748,20 \cdot 0,224 = 1385805 \text{ (кВт} \cdot \text{ч/год)}$$

Класс энергосбережения определяется по формуле (7.17): -29%.

Согласно таблице 4.38, класс энергоэффективности В.

В результате расчета получены важные характеристики здания, которые позволяют оценить его энергоэффективность. Когда здание обладает высоким классом энергосбережения, это позволяет выделять на него меньшую тепловую нагрузку, и, как следствие, это снизит затраты на отопление. В случае низкой энергоэффективности, тепловая нагрузка должна быть выше, и, как следствие, затраты на отопление будут выше.

Задание для самостоятельного решения

Смотри исходные данные к практическому занятию № 1 и в Приложении 1 к Разделу 4 «Эксплуатация ограждающих конструкций».

#### Приложение 1

#### ВАРИАНТЫ ЗАДАНИЯ

для выполнения практических занятий РАЗДЕЛ 2. ЭКСПЛУАТАЦИЯ ОГРАЖДАЮЩИХ КОНСТРУКЦИЙ

Графическая часть

#### План 1-ого этажа.

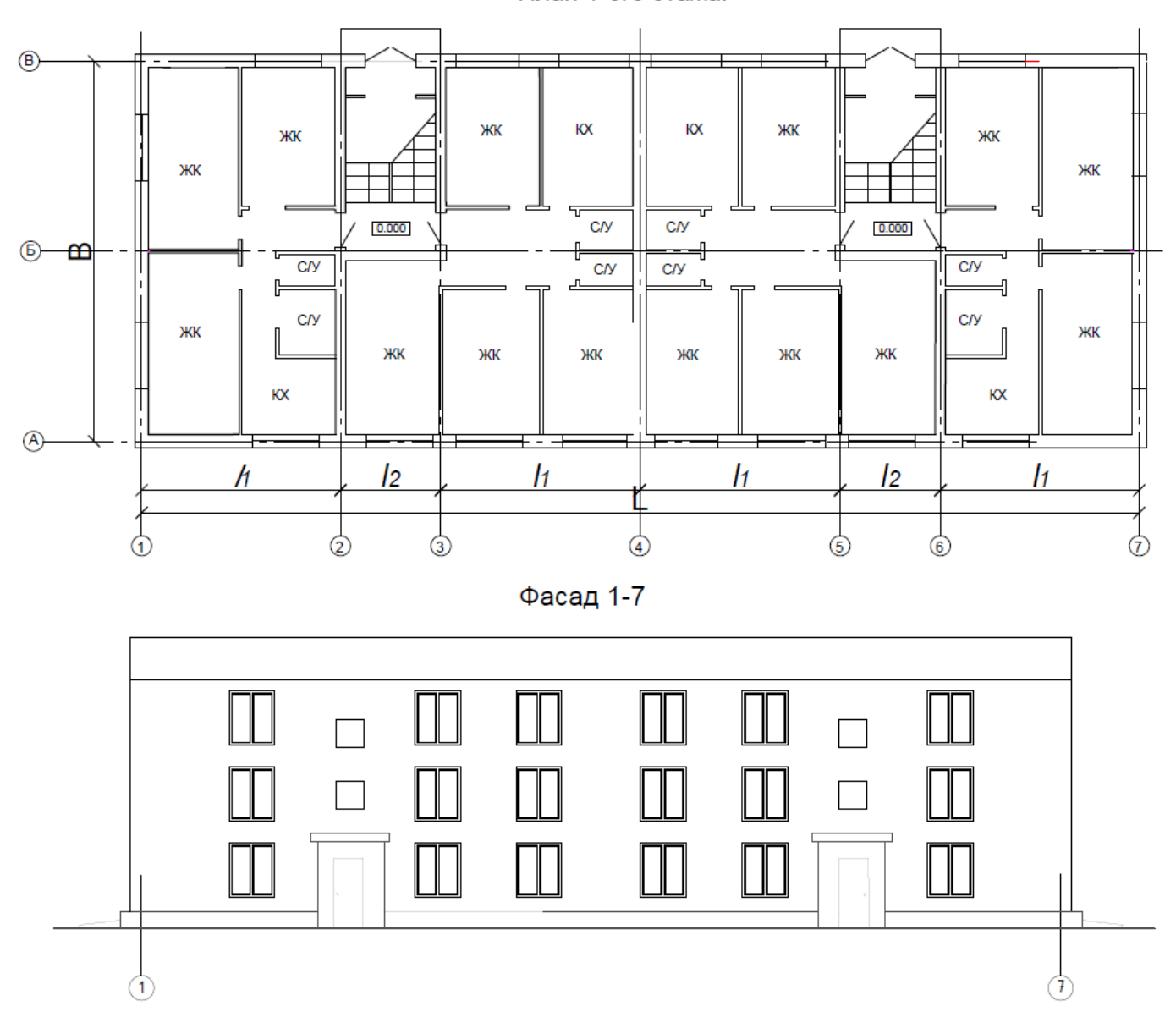


Рис. 1. Вариант 1 (пример варианта фасада).

### План 1-ого этажа. **B**— −**८** <u>A</u>— Фасад 1-9

Рис. 2. Вариант 3 (пример варианта фасада).

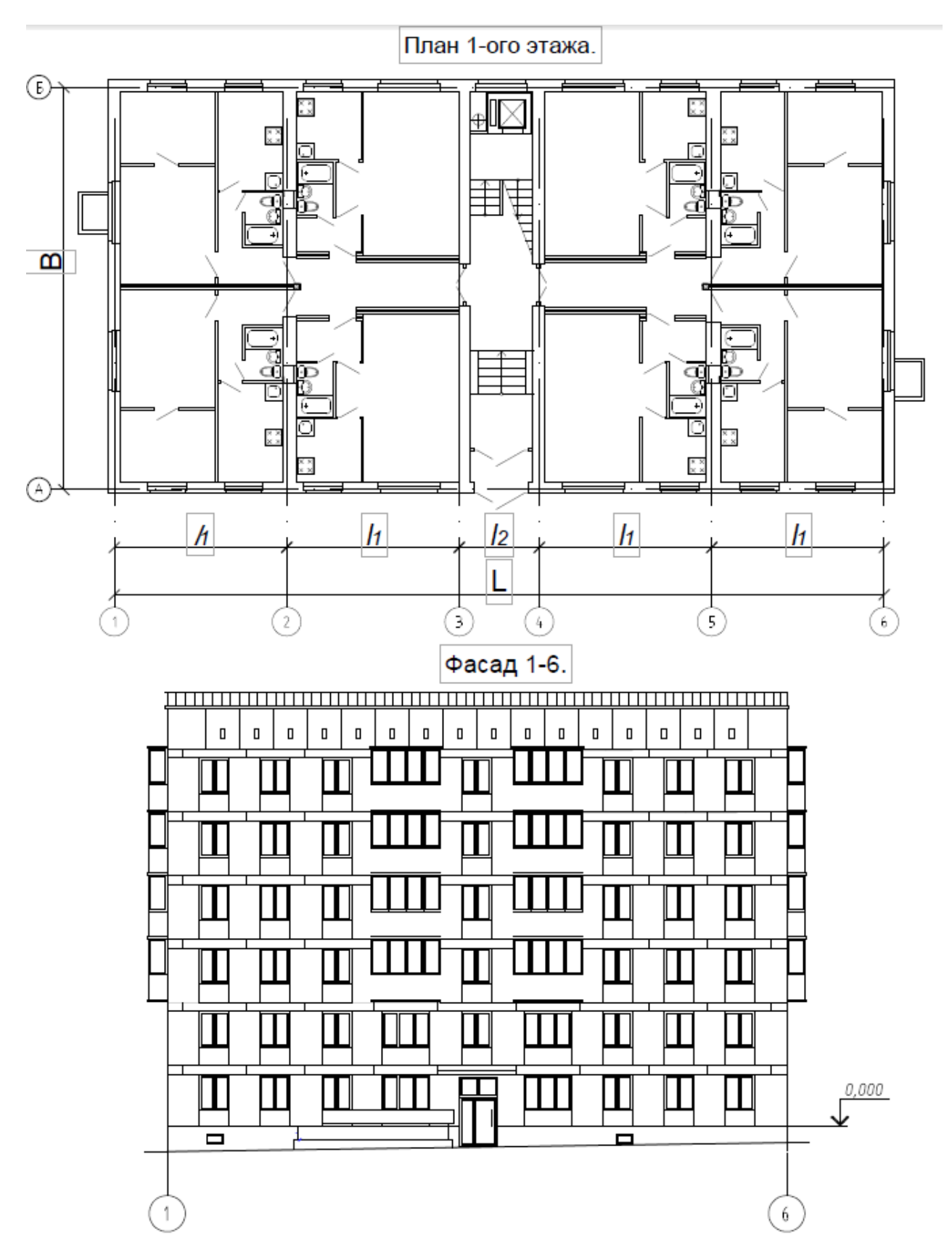


Рис. 3. Вариант 3 (пример варианта фасада).

#### Исходные данные

		<u>P</u>		Выс	сота	L, дл	ина	*  Проемы		МЫ
Вариант	Вариант плана/	Этажность	Кровля	h <sub>3</sub>	h <sub>черд</sub>	11	l <sub>2</sub>	В, ширина*	ОК	ДВ
Вариант 1	1/5		Скатная	2,9	1,8	2,8	6,4	12,0	1,2x2,0	1,5x2,1
Вариант 2	2/4		Скатная	3,0	1,8	3,0	5,8	14,0	1,4x1,8	1,5x2,1
Вариант 3	3/6		Плоская	2,9	1,8	2,4	6,0	16,0	1,25x1,8	1,5x2,1
Вариант 4	1/5		Скатная	3,0	1,8	2,8	6,4	12,0	1,2x2,0	1,5x2,1
Вариант 5	2/4		Скатная	2,9	1,8	3,0	5,8	14,0	1,4x1,8	1,5x2,1
Вариант 6	3/5		Плоская	3,0	1,8	2,4	6,0	16,0	1,25x1,8	1,5x2,1
Вариант 7	1/5		Плоская	2,9	1,8	2,8	6,4	12,0	1,2x2,0	1,5x2,1
Вариант 8	2/4		Скатная	3,0	1,8	3,0	5,8	14,0	1,4x1,8	1,5x2,1
Вариант 9	1/5		Плоская	2,9	1,8	2,4	6,0	16,0	1,25x1,8	1,5x2,1
Вариант 10	2/5		Плоская	3,0	1,8	2,8	6,4	12,0	1,2x2,0	1,5x2,1
Вариант 11	1/5		Скатная	2,9	1,8	3,0	5,8	14,0	1,4x1,8	1,5x2,1
Вариант 12	2/4		Скатная	3,0	1,8	2,4	6,0	16,0	1,25x1,8	1,5x2,1
Вариант 13	3/6		Плоская	2,9	1,8	2,8	6,4	12,0	1,2x2,0	1,5x2,1
Вариант 14	1/5		Скатная	3,0	1,8	3,0	5,8	14,0	1,4x1,8	1,5x2,1
Вариант 15	2/4		Скатная	2,9	1,8	2,4	6,0	16,0	1,25x1,8	1,5x2,1
Вариант 16	3/5		Плоская	3,0	1,8	2,8	6,4	12,0	1,2x2,0	1,5x2,1
Вариант 17	1/5		Плоская	2,9	1,8	3,0	5,8	14,0	1,4x1,8	1,5x2,1
Вариант 18	2/4		Скатная	3,0	1,8	2,4	6,0	16,0	1,25x1,8	1,5x2,1
Вариант 19	1/5		Плоская	2,9	1,8	2,8	6,4	12,0	1,2x2,0	1,5x2,1
Вариант 20	2/5		Плоская	3,0	1,8	3,0	5,8	14,0	1,4x1,8	1,5x2,1
Вариант 21	1/5		Скатная	2,9	1,8	2,4	6,0	16,0	1,25x1,8	1,5x2,1
Вариант 22	2/4		Скатная	3,0	1,8	2,8	6,4	12,0	1,2x2,0	1,5x2,1
Вариант 23	3/6		Плоская	2,9	1,8	3,0	5,8	14,0	1,4x1,8	1,5x2,1
Вариант 24	1/5		Скатная	3,0	1,8	2,4	6,0	16,0	1,25x1,8	1,5x2,1
Вариант 25	2/4		Скатная	2,9	1,8	2,8	6,4	12,0	1,2x2,0	1,5x2,1
Вариант 26	3/5		Плоская	3,0	1,8	3,0	5,8	14,0	1,4x1,8	1,5x2,1
Вариант 27	1/5		Плоская	2,9	1,8	2,4	6,0	16,0	1,25x1,8	1,5x2,1
Вариант 28	2/4		Скатная	3,0	1,8	2,8	6,4	12,0	1,2x2,0	1,5x2,1

Вариант 29	1/5	Плоская	2,9	1,8	3,0	5,8	14,0	1,4x1,8	1,5x2,1
Вариант 30	2/5	Плоская	3,0	1,8	2,4	6,0	16,0	1,25x1,8	1,5x2,1

Вариант 30 | 2/5 | Плоская | 3,0 | 1,8 | 2,4 | 6,0 | 16,0 | 1,25х1,8 | 1,5х2,1 | Прим.:\*-расстояние между горизонтальными осями симметрично, n-число слоёв остекления.

Таблица 2

#### Исходные данные по системе отопления

Bap.	Система отопления	Bap.	Система отопления	Bap.	Система отопления
1	2-х трубная, с	12	2-х трубная, с	22	2-х трубная, с
	верхней разводкой,		верхней разводкой,		верхней разводкой,
	ввод с главного		ввод с главного		ввод с главного
	фасада		фасада		фасада
2	2-х трубная, с	13	2-х трубная, с	23	2-х трубная, с
	нижней разводкой.		нижней разводкой.		нижней разводкой.
	ввод с правой		ввод с правой		ввод с правой
	стороны дома		стороны дома		стороны дома
3	Однотрубная,	14	Однотрубная,	24	Однотрубная,
	верхняя разводка,		верхняя разводка,		верхняя разводка,
	ввод с главного		ввод с главного		ввод с главного
	фасада		фасада		фасада
4	Однотрубная,	15	Однотрубная,	25	Однотрубная,
	нижняя разводка		нижняя разводка		нижняя разводка
	ввод с правой		ввод с правой		ввод с правой
	стороны дома		стороны дома		стороны дома
5	2-х трубная, с	16	2-х трубная, с	26	2-х трубная, с
	верхней разводкой,		верхней разводкой,		верхней разводкой,
	ввод с главного		ввод с главного		ввод с главного
	фасада		фасада		фасада
6	2-х трубная, с	17	2-х трубная, с	27	2-х трубная, с
	нижней разводкой.		нижней разводкой.		нижней разводкой.
	ввод с правой		ввод с правой		ввод с правой
	стороны дома		стороны дома		стороны дома
7	Однотрубная,	18	Однотрубная,		Однотрубная,
	верхняя разводка,		верхняя разводка,		верхняя разводка,
	ввод с главного		ввод с главного		ввод с главного
	фасада		фасада		фасада
8	Однотрубная,	19	Однотрубная,	28	Однотрубная,
	нижняя разводка		нижняя разводка		нижняя разводка
	ввод с правой		ввод с правой		ввод с правой
	стороны дома		стороны дома		стороны дома
9	2-х трубная, с	20	2-х трубная, с	29	2-х трубная, с
	нижней разводкой.		нижней разводкой.		верхней разводкой,
	ввод с правой		ввод с правой		ввод с главного
	стороны дома		стороны дома		фасада
10	Однотрубная,	21	Однотрубная,	30	2-х трубная, с
	верхняя разводка,		верхняя разводка,		нижней разводкой.
	ввод с главного		ввод с главного		ввод с правой
	фасада		фасада		стороны дома

#### Исходные данные по расположению здания

	Разгаламамия		Разгаланания		Разманамачи
	Расположение		Расположение		Расположение
Bap.	жилого дома	Bap.	жилого дома	Bap.	жилого дома
Zup.	относительно	zup.	относительно	July.	относительно
	стороны света		стороны света		стороны света
1	Главный фасад	12	Главный фасад	22	Главный фасад
	направлен на СЗ		направлен на СЗ		направлен на СЗ
2	Главный фасад	13	Главный фасад	23	Главный фасад
	направлен на С		направлен на С		направлен на С
3	Главный фасад	14	Главный фасад	24	Главный фасад
	направлен на ЮЗ		направлен на ЮЗ		направлен на ЮЗ
4	Главный фасад	15	Главный фасад	25	Главный фасад
	направлен на 3		направлен на 3		направлен на 3
5	Главный фасад	16	Главный фасад	26	Главный фасад
	направлен на СВ		направлен на СВ		направлен на СВ
6	Главный фасад	17	Главный фасад	27	Главный фасад
	направлен на ЮЗ		направлен на ЮЗ		направлен на ЮЗ
7	Главный фасад	18	Главный фасад		Главный фасад
	направлен на ЮВ		направлен на ЮВ		направлен на ЮВ
8	Главный фасад	19	Главный фасад	28	Главный фасад
	направлен на Ю		направлен на Ю		направлен на Ю
9	Главный фасад	20	Главный фасад	29	Главный фасад
	направлен на С		направлен на С		направлен на С
10	Главный фасад	21	Главный фасад	30	Главный фасад
	направлен на СЗ		направлен на СЗ		направлен на СЗ